



## ใบรับรองวิทยานิพนธ์ บัณฑิตวิทยาลัย มหาวิทยาลัยเกษตรศาสตร์

วิศวกรรมศาสตรมหาบัณฑิต (วิศวกรรมไฟฟ้า)

ปริญญา

วิศวกรรมไฟฟ้า

สาขาวิชา

วิศวกรรมไฟฟ้า

ภาควิชา

เรื่อง การเพิ่มประสิทธิภาพด้วยควบคุมอัตโนมัติสำหรับเครื่องสกัดน้ำมันในกระบวนการผลิต  
ไบโอดีเซล

Automatic Controller Performance Enhancement for Extractors in Biodiesel Production  
Process

นามผู้วิจัย นายสุรเทพ นิลนันท์  
ได้พิจารณาเห็นชอบโดย  
อาจารย์ที่ปรึกษาวิทยานิพนธ์หลัก

( ผู้ช่วยศาสตราจารย์พิริยะศ แสนโกชนน์, D.Sc. )

อาจารย์ที่ปรึกษาวิทยานิพนธ์ร่วม

( รองศาสตราจารย์วรรรรณ ศรีสวัสดิ์ภานุช, M.S. )

อาจารย์ที่ปรึกษาวิทยานิพนธ์ร่วม

( อาจารย์จันทนี รุ่งเรืองพิทากุล, D.Sc. )

หัวหน้าภาควิชา

( รองศาสตราจารย์มงคล รักษ์พัชรวงศ์, Ph.D. )

บัณฑิตวิทยาลัย มหาวิทยาลัยเกษตรศาสตร์รับรองแล้ว

( รองศาสตราจารย์กัญจนा ชีระกุล, D.Agr. )

คณบดีบัณฑิตวิทยาลัย

วันที่ ..... เดือน ..... พ.ศ. ....

สิงหาคม มหาวิทยาลัยเกษตรศาสตร์

วิทยานิพนธ์

เรื่อง

การเพิ่มประสิทธิภาพตัวควบคุมอัตโนมัติสำหรับเครื่องสกัดน้ำมันในกระบวนการผลิตไบโอดีเซล

Automatic Controller Performance Enhancement for Extractors in Biodiesel Production Process

โดย

นายสุรเทพ นิลอนนท์

เสนอ

บัณฑิตวิทยาลัย มหาวิทยาลัยเกษตรศาสตร์

เพื่อความสมบูรณ์แห่งปริญญาวิศวกรรมศาสตร์มหาบัณฑิต (วิศวกรรมไฟฟ้า)

พ.ศ. 2553

สิงหาคม ๒๕๕๓

สูตรเทพ นิลนันท์ 2553: การเพิ่มประสิทธิภาพตัวควบคุมอัตโนมัติสำหรับเครื่องสกัดน้ำมันในกระบวนการผลิตไบโอดีเซล ปริญญาวิศวกรรมศาสตรมหาบัณฑิต (วิศวกรรมไฟฟ้า) สาขาวิศวกรรมไฟฟ้า ภาควิชาวิศวกรรมไฟฟ้า อาจารย์ที่ปรึกษา วิทยานิพนธ์หลัก: ผู้ช่วยศาสตราจารย์พิริยะ แสนโภชน์, D.Sc. 79 หน้า

งานวิจัยนี้ได้นำเสนอการเพิ่มประสิทธิภาพตัวควบคุมอัตโนมัติสำหรับเครื่องสกัดน้ำมันในกระบวนการผลิตไบโอดีเซล โดยทำการศึกษาหาแบบจำลองพลวัตของถังปฏิกิริย แบบต่อเนื่องในกระบวนการผลิตไบโอดีเซล จากนั้นใช้ทฤษฎีควบคุมเหมาะสมที่สุด (Optimal Control Theory) คำนวณหาพลังงานที่เหมาะสมที่สุดในการป้อนเข้าสู่ระบบ เพื่อทำการควบคุมพลังงานความร้อนในการเร่งปฏิกิริยาในการผลิตไบโอดีเซลให้ได้ความเข้มข้นตามที่ต้องการ โดยใช้เวลาอ้อยที่สุดภายใต้เงื่อนไขพลังงานที่จำกัด และได้ใช้วิธี Particle Swarm Optimization เพื่อเบริยนเทียบประสิทธิภาพของตัวควบคุมต่างๆ นอกจากนั้นในงานวิจัยนี้ยังได้ทำการทดลองการควบคุมผ่าน FieldPoint และออกแบบส่วนต่อประสานคนกับเครื่อง (Human Machine Interface: HMI) สำหรับถังปฏิกิริยแบบต่อเนื่องในกระบวนการผลิตไบโอดีเซลอีกด้วย

ผลการวิจัยพบว่า การออกแบบตัวควบคุมโดยใช้ทฤษฎีควบคุมเหมาะสมที่สุด ที่มี input saturation โดยมีเงื่อนไขทางด้านเวลาและเงื่อนไขที่จุดสุดท้ายคือความเข้มข้นของเอสเตอร์เท่ากับ  $2.104 \text{ mol/l}$  และอุณหภูมิในถังปฏิกิริยเท่ากับ  $333.15^\circ\text{K}$  สามารถลดเวลาและพลังงานในการผลิตได้น้อยและดีที่สุด

Surathep Nilnond 2010: Automatic Controller Performance Enhancement for Extractors in Biodiesel Production Process. Master of Engineering (Electrical Engineering), Major Field: Electrical Engineering, Department of Electrical Engineering. Thesis Advisor: Assistant Professor Peerayot Sanposh, D.Sc. 79 pages.

This research purposed to present about Automatic Controller Performance Enhancement for Extractors in Biodiesel Production Process by studying and finding out the suitable dynamic model of the Continuous Stirred Tank Reactor (CSTR) in Biodiesel production process. After that, we applied the Optimal Control Theory to calculate optimal energy, that was put into the system, for control heat energy which was used to stimulate the reaction in Biodiesel production process. Under the limited energy levels, we expect to use the least time to produce Biodiesel in the assigned concentrations and use Particle Swarm Optimization to compare controller's performance. Moreover, this research also experimented about the control through FieldPoint, and designed Human Machine Interface (HMI) for the Continuous Stirred Tank Reactor (CSTR) in Biodiesel production process.

From the results, Design controller using optimal control theory with input saturation and constraints with time and at final time ester concentration is  $2.104 \text{ mol/l}$  and temperature in biodiesel tank is  $333.15^\circ\text{K}$  can minimized for the lowest time and input power for production process.

---

Student's signature

---

Thesis Advisor's signature

## กิตติกรรมประกาศ

ขอขอบคุณ โครงการทุนสถาบันวิจัยและพัฒนาแห่งมหาวิทยาลัยเกษตรศาสตร์ (Kasetsart University Research and Development: KURDI) ที่ให้การสนับสนุนด้านเงินทุน และ อุปกรณ์ สำหรับการทำวิทยานิพนธ์นี้

ข้าพเจ้าขอกราบขอบพระคุณ ผู้ช่วยศาสตราจารย์ ดร.พีระยศ แสนโภชน์ อาจารย์ที่ปรึกษา วิทยานิพนธ์หลัก ที่ให้ความรู้ คำแนะนำ และตรวจแก้ไขข้อบกพร่องต่าง ๆ พร้อมทั้งให้ความ สนับสนุนด้านอุปกรณ์ สำหรับการทำวิทยานิพนธ์นี้ ให้สำเร็จลุล่วงไปด้วยดี

ขอกราบขอบพระคุณ รองศาสตราจารย์วรวรรณ ศรีนัตรกิมุข และอาจารย์ ดร. จันทนี รุ่งเรืองพิทยาภูด อาจารย์ที่ปรึกษาวิทยานิพนธ์ร่วม ที่ให้ความรู้ และคำแนะนำเกี่ยวกับการทำ วิทยานิพนธ์นี้

ขอกราบขอบพระคุณ รองศาสตราจารย์ ดร. เพ็ญจิตร ศรีนพคุณ รองศาสตราจารย์ ดร. ชงไชย ศรีนพคุณ ที่ให้ความรู้ และคำแนะนำเกี่ยวกับการทำวิทยานิพนธ์นี้

ขอขอบคุณพี่ๆ ชุดการภาควิชาไฟฟ้า ที่ให้ความช่วยเหลือ ทางด้านเอกสารต่างๆ

ขอขอบคุณ พี่ ๆ เพื่อน ๆ และน้อง ๆ ในห้องปฏิบัติการ IMARC ที่ให้ความช่วยเหลือ ให้ คำปรึกษา ให้กำลังใจ ทำให้การทำวิทยานิพนธ์นี้สำเร็จลุล่วงไปด้วยดี

ขอกราบขอบพระคุณ คุณพ่อสุรศักดิ์ คุณแม่วรารณ์ ที่ให้การสนับสนุนด้านการเงิน อุปกรณ์ สำหรับการทำวิทยานิพนธ์ และเป็นกำลังใจขณะที่กำลังศึกษาในระดับปริญญาโทจน ประสบความสำเร็จ

สุดท้ายขอขอบคุณเทพเกษตร วิสุทธารามณ์ ที่เคยเป็นกำลังใจและเป็นแรงใจให้ตลอดการ ทำงานวิจัยนี้

สุรเทพ นิลนันท์  
เมษายน 2553

## สารบัญ

หน้า

สารบัญ	(1)
สารบัญตาราง	(2)
สารบัญภาพ	(3)
คำย่อ	(7)
คำนำ	1
วัตถุประสงค์	3
การตรวจสอบสาร	4
อุปกรณ์และวิธีการ	27
อุปกรณ์	27
วิธีการ	27
ผลและวิจารณ์	43
ผล	43
วิจารณ์	72
สรุปและข้อเสนอแนะ	76
สรุป	76
ข้อเสนอแนะ	76
เอกสารและสิ่งอ้างอิง	77
ประวัติการศึกษา และการทำงาน	79

## สารบัญตาราง

ตารางที่	หน้า
1 ค่าคงที่ของอัตราการเกิดปฏิกิริยา	32
2 ค่าตัวแปรที่ใช้ในแบบจำลองพลวัตของถังปฏิกิริย์แบบต่อเนื่องในกระบวนการผลิตไบโอดีเซล	36
3 ค่าที่อ่านได้จากการทดลองที่ 1.1 ตัวควบคุมแบบพีไอโดยตรง	49
4 ค่าที่อ่านได้จากการทดลองที่ 1.2 ตัวควบคุมแบบพีไอแบบจำกัด และค่าบวก	52
5 ค่าที่อ่านได้จากการทดลองที่ 2.1 ตัวควบคุมแบบพีไอโดยใช้วิธี PSO	55
6 ค่าที่อ่านได้จากการทดลองที่ 2.2 ตัวควบคุมแบบพีไอโดยใช้วิธี PSO แบบจำกัด และค่าบวก	58
7 ค่าที่อ่านได้จากการทดลองที่ 3.1 ตัวควบคุมพีไอโดยใช้วิธี Particle Swarm Optimization (cost function = $tf$ ที่ทำให้ $x(4) = 2.104$ )	61
8 ค่าที่อ่านได้จากการทดลองที่ 3.2 ตัวควบคุมพีไอโดยใช้วิธี Particle Swarm Optimization with Input Saturation (cost function = $tf$ ที่ทำให้ $x(4) = 2.104$ )	64
9 ค่าที่อ่านได้จากการทดลองที่ 4 ตัวควบคุมเหมาะสมที่สุด with Input Saturation (cost function = $tf$ ที่ทำให้ $x(4) = 2.104$ )	66
10 ค่าที่อ่านได้จากการทดลองที่ 5 ตัวควบคุมเหมาะสมที่สุด with Input Saturation (cost function = $tf$ ที่ทำให้ $x(4) = 2.104$ , $x(7) = 333.15$ )	69

## สารบัญภาพ

ภาพที่		หน้า
1	Continuous Process	5
2	Batch และ Semi-Bath Process	7
3	ขั้นตอนการผลิตไบโอดีเซลแบบต่อเนื่อง	10
4	ขั้นตอนการผลิตไบโอดีเซล	11
5	แผนภาพแสดงวิธีการแก้ปัญหาการควบคุมเหมาะสมที่สุด	19
6	Collocation methods บนช่วง state profiles, control profiles และ element length	22
7	แผนภาพลักษณะการทำงานของ PSO	24
8	แผนภาพวิธีการดำเนินการ	28
9	แผนภาพการหาแบบจำลองพลวัตของถังปฏิกรณ์แบบต่อเนื่อง ในกระบวนการผลิตไบโอดีเซล	29
10	ปฏิกริยาทรายเอกสารอธิบายเชิงของ TG กับเมทานอล	30
11	ถังปฏิกรณ์แบบต่อเนื่องในกระบวนการผลิตไบโอดีเซล	33
12	การเลือกจุดทำงานสำหรับถังปฏิกรณ์แบบต่อเนื่องในกระบวนการผลิตไบโอดีเซล	40
13	การควบคุมชนิดพีไอ	44
14	การทดลองที่ 1.1 ตัวควบคุมแบบพีไอโดยตรง	46
15	ความเข้มข้นของสารต่างๆ ในถังปฏิกรณ์ของการทดลองที่ 1.1 ตัวควบคุมแบบพีไอโดยตรง	47
16	ความเข้มข้นของไบโอดีเซล ( $[E]$ ) ในถังปฏิกรณ์ของการทดลองที่ 1.1 ตัวควบคุมแบบพีไอโดยตรง	47
17	อุณหภูมิในถังปฏิกรณ์ของการทดลองที่ 1.1 ตัวควบคุมแบบพีไอโดยตรง	48
18	กำลังงานความร้อนที่ป้อนให้ถังปฏิกรณ์ ( $Q$ ) ของการทดลองที่ 1.1	
19	ตัวควบคุมแบบพีไอโดยตรง	48
20	การทดลองที่ 1.2 ตัวควบคุมแบบพีไอแบบจำกัด $n$ ค่าบวก	49
21	ความเข้มข้นของสารต่างๆ ในถังปฏิกรณ์ของการทดลองที่ 1.2 ตัวควบคุมแบบพีไอแบบ	50

## สารบัญภาพ (ต่อ)

ภาพที่	หน้า
22 ความเข้มข้นของไบโอดีเซล ( $[E]$ ) ในถังปฏิกรณ์ของการทดลองที่ 1.2 ตัวควบคุมแบบพื้นที่แบบจำกัด $n$ ค่าบวก	50
23 อุณหภูมิในถังปฏิกรณ์ของการทดลองที่ 1.2 ตัวควบคุมแบบพื้นที่ แบบจำกัด $n$ ค่าบวก	51
24 กำลังงานความร้อนที่ป้อนให้ถังปฏิกรณ์ ( $Q$ ) ของการทดลองที่ 1.2 ตัวควบคุมแบบพื้นที่แบบจำกัด $n$ ค่าบวก	51
25 ความเข้มข้นของสารต่างๆ ในถังปฏิกรณ์ของการทดลองที่ 2.1 ตัวควบคุมแบบพื้นที่โดยใช้วิธี PSO	53
26 ความเข้มข้นของไบโอดีเซล ( $[E]$ ) ในถังปฏิกรณ์ของการทดลองที่ 2.1 ตัวควบคุมแบบพื้นที่โดยใช้วิธี PSO	53
27 อุณหภูมิในถังปฏิกรณ์ของการทดลองที่ 2.1 ตัวควบคุมแบบพื้นที่โดยใช้วิธี PSO	54
28 กำลังงานความร้อนที่ป้อนให้ถังปฏิกรณ์ของการทดลองที่ 2.1 ตัวควบคุมแบบพื้นที่โดยใช้วิธี PSO	54
29 ความเข้มข้นของสารต่างๆ ในถังปฏิกรณ์ของการทดลองที่ 2.2 ตัวควบคุมแบบพื้นที่โดยใช้วิธี PSO แบบจำกัด $n$ ค่าบวก	56
30 ความเข้มข้นของไบโอดีเซล ( $[E]$ ) ในถังปฏิกรณ์ของการทดลองที่ 2.2 ตัวควบคุมแบบพื้นที่โดยใช้วิธี PSO แบบจำกัด $n$ ค่าบวก	56
31 อุณหภูมิในถังปฏิกรณ์ของการทดลองที่ 2.2	
32 ตัวควบคุมแบบพื้นที่โดยใช้วิธี PSO แบบจำกัด $n$ ค่าบวก	57
33 กำลังงานความร้อนที่ป้อนให้ถังปฏิกรณ์ ( $Q$ ) ของการทดลองที่ 2.2 ตัวควบคุมแบบพื้นที่โดยใช้วิธี PSO แบบจำกัด $n$ ค่าบวก	57
34 ความเข้มข้นของสารต่างๆ ในถังปฏิกรณ์ของการทดลองที่ 3.1 ตัวควบคุมพื้นที่ โดยใช้วิธี Particle Swarm Optimization (cost function = $tf \rightarrow \text{ทำให้ } x(4) = 2.104$ )	59
35 ความเข้มข้นของไบโอดีเซล ( $[E]$ ) ในถังปฏิกรณ์ของการทดลองที่ 3.1 ตัวควบคุมพื้นที่ โดยใช้วิธี Particle Swarm Optimization (cost function = $tf \rightarrow \text{ทำให้ } x(4) = 2.104$ )	59

## สารบัญภาพ (ต่อ)

ภาพที่	หน้า
36 อุณหภูมิในถังปฏิกรณ์ของการทดลองที่ 3.1 ตัวควบคุมพีไอ โดยใช้วิธี Particle Swarm Optimization (cost function = $tf \neq \text{ทำให้ } x(4) = 2.104$ )	59
37 กำลังงานความร้อนที่ป้อนให้ถังปฏิกรณ์ ( $Q$ ) ของการทดลองที่ 3.1 ตัวควบคุมพีไอ โดยใช้วิธี Particle Swarm Optimization (cost function = $tf \neq \text{ทำให้ } x(4) = 2.104$ )	60
38 ความเข้มข้นของสารต่างๆ ในถังปฏิกรณ์ของการทดลองที่ 3.2 ตัวควบคุมพีไอ โดยใช้วิธี Particle Swarm Optimization with Input Saturation (cost function = $tf \neq \text{ทำให้ } x(4) = 2.104$ )	60
39 ความเข้มข้นของไบโอดีเซล ( $[E]$ ) ในถังปฏิกรณ์ของการทดลองที่ 3.2 ตัวควบคุมพีไอ โดยใช้วิธี Particle Swarm Optimization with Input Saturation (cost function = $tf \neq \text{ทำให้ } x(4) = 2.104$ )	62
40 อุณหภูมิในถังปฏิกรณ์ของการทดลองที่ 3.2 ตัวควบคุมพีไอ โดยใช้วิธี Particle Swarm Optimization with Input Saturation (cost function = $tf \neq \text{ทำให้ } x(4) = 2.104$ )	62
41 กำลังงานความร้อนที่ป้อนให้ถังปฏิกรณ์ ( $Q$ ) ของการทดลองที่ 3.2 ตัวควบคุมพีไอ โดยใช้วิธี Particle Swarm Optimization with Input Saturation (cost function = $tf \neq \text{ทำให้ } x(4) = 2.104$ )	63
42 ความเข้มข้นของสารต่างๆ ในถังปฏิกรณ์ของการทดลองที่ 4 ตัวควบคุมเหมาะสมที่สุด with Input Saturation (cost function = $tf \neq \text{ทำให้ } x(4) = 2.104$ )	64
43 ความเข้มข้นของไบโอดีเซล ( $[E]$ ) ในถังปฏิกรณ์ของการทดลองที่ 4 ตัวควบคุมเหมาะสมที่สุด with Input Saturation (cost function = $tf \neq \text{ทำให้ } x(4) = 2.104$ )	65
44 อุณหภูมิในถังปฏิกรณ์ของการทดลองที่ 4 ตัวควบคุมเหมาะสมที่สุด with Input Saturation (cost function = $tf \neq \text{ทำให้ } x(4) = 2.104$ )	65
45 กำลังงานความร้อนที่ป้อนให้ถังปฏิกรณ์ ( $Q$ ) ของการทดลองที่ 4 ตัวควบคุมเหมาะสมที่สุด with Input Saturation (cost function = $tf \neq \text{ทำให้ } x(4) = 2.104$ )	66

## สารบัญภาพ (ต่อ)

ภาพที่	หน้า
46 ความเข้มข้นของสารต่างๆ ในถังปฏิกรณ์ของการทดลองที่ 5 ตัวควบคุมเหมาะสมที่สุด with Input Saturation (cost function = $tf$ ที่ทำให้ $x(4) = 2.104, x(7) = 333.15$ )	67
47 ความเข้มข้นของไบโอดีเซล ( $[E]$ ) ในถังปฏิกรณ์ของการทดลองที่ 5 ตัวควบคุมเหมาะสม ที่สุด with Input Saturation (cost function = $tf$ ที่ทำให้ $x(4) = 2.104, x(7) = 333.15$ )	68
48 อุณหภูมิในถังปฏิกรณ์ของการทดลองที่ 5 ตัวควบคุมเหมาะสมที่สุด with Input Saturation (cost function = $tf$ ที่ทำให้ $x(4) = 2.104, x(7) = 333.15$ )	68
49 กำลังงานความร้อนที่ป้อนให้ถังปฏิกรณ์ ( $Q$ ) ของการทดลองที่ 5 ตัวควบคุมเหมาะสมที่สุด with Input Saturation (cost function = $tf$ ที่ทำให้ $x(4) = 2.104, x(7) = 333.15$ )	69
50 แผนภาพแสดงการทำงานของ HMI	71
51 แผนภาพแสดง Block Diagram	71

### คำอธิบายสัญลักษณ์และคำย่อ

$r$	=	อัตราการเกิดของสาร (rate of reaction)
$k$	=	ค่าคงที่ของอัตราการเกิดปฏิกิริยา (reaction rate constant) $(l/(mol \cdot min))$
$k_0$	=	frequency factor ( $l/(mol \cdot min)$ )
$E$	=	activation energy ( $cal/mol$ )
$R$	=	gas constant ( $cal/(mol \cdot K)$ )
$T$	=	อุณหภูมิ ( $K$ )
$[x]$	=	ความเข้มข้นของสาร $x$ ( $mol/l$ )
$\rho$	=	ความหนาแน่นเชิงมวล (mass density) ( $kg/l$ )
$V$	=	ปริมาตรของของเหลว (liquid volume) ( $l$ )
$q$	=	อัตราการไหลดเชิงปริมาตร ( $l/min$ )
$C_p$	=	ความจุความร้อน ( $cal/(l \cdot K)$ )
$\dot{m}$	=	อัตราการไหลดเชิงมวล ( $kg/min$ )
$Q_{Rx}$	=	กำลังงานความร้อนที่เกิดจากปฏิกิริยา ( $cal/min$ )
$\Delta H_{Rx}$	=	ความร้อนของปฏิกิริยาต่อโมล ( $cal/mol$ )
$Q$	=	กำลังงานความร้อนที่ป้อนสู่ระบบ ( $cal/min$ )
$K_p$	=	อัตราการขยายพิ
$K_I$	=	อัตราการขยายไอ
$K_D$	=	อัตราการขยายดี
$T_i$	=	integral (or reset time) time
$T_d$	=	derivative time

# การเพิ่มประสิทธิภาพตัวควบคุมอัตโนมัติสำหรับเครื่องสกัดน้ำมันในกระบวนการผลิตไบโอดีเซล

## Automatic Controller Performance Enhancement for Extractors in Biodiesel Production Process

### คำนำ

ปัจจุบันปริมาณการใช้น้ำมันปิโตรเลียมมีแนวโน้มสูงขึ้นอย่างต่อเนื่องและมีราคาสูงขึ้นทุกวันซึ่งมีผลกระทบเป็นวงกว้างในภาคการค้าคมนาคมขนส่ง ภาคการขยายตัวของเศรษฐกิจและค่าครองชีพ โดยในแต่ละวันประเทศไทยมีการใช้น้ำมันมากกว่ากำลังการผลิตภายในประเทศ จึงจำเป็นต้องนำเข้าน้ำมันปิโตรเลียมจากต่างประเทศซึ่งแม้ว่าจะได้นำเข้าซึ่งราคาน้ำมันดีเซลในภาคการค้าคมนาคมขนส่งนั้นมีความต้องการที่สูงและไม่แน่ใจว่าจะลดลง ดังนั้นจึงต้องเร่งพัฒนาเพิ่มเติมทักษะด้านการผลิตและการจัดการห่วงโซ่อุปทานที่สามารถตอบสนองต่อความต้องการในการใช้งานได้ ซึ่งพัฒนาห่วงโซ่อุปทานที่สามารถผลิตน้ำมันดีเซลได้ในปริมาณมากก็คือไบโอดีเซล

ไบโอดีเซลคือเชื้อเพลิงทางเลือกที่ผลิตจากทรัพยากรหมุนเวียน เช่น น้ำมันจากพืชหรือไขมันจากสัตว์ กับสารอนุกรรมแอลกอฮอล์และตัวเร่งปฏิกิริยา ในปัจจุบันไบโอดีเซลเป็นที่รู้จักกันอย่างแพร่หลายมากขึ้น มีงานวิจัยต่างๆ เกี่ยวกับสารตั้งต้นในการผลิตและกระบวนการผลิตไบโอดีเซลอย่างมาก งานวิทยานิพนธ์นี้ได้นำเสนอการเพิ่มประสิทธิภาพตัวควบคุมอัตโนมัติสำหรับเครื่องสกัดน้ำมันในกระบวนการผลิตไบโอดีเซลเพื่อเพิ่มกำลังการผลิตไบโอดีเซลโดยใช้เวลาที่ลดลงภายใต้เงื่อนไขการใช้พลังงานที่จำกัด

วิทยานิพนธ์นี้ได้นำเสนอการเพิ่มประสิทธิภาพตัวควบคุมอัตโนมัติสำหรับเครื่องสกัดน้ำมันในกระบวนการผลิตไบโอดีเซล โดยทำการศึกษาแบบจำลองพลวัตของถังปฏิกิริย แบบต่อเนื่องในกระบวนการผลิตไบโอดีเซล และทำการออกแบบตัวควบคุมโดยใช้ทฤษฎีการควบคุมเหมาะสมที่สุด โดยให้ใช้เวลาในการผลิตน้อยที่สุด และใช้พลังงานในการผลิตที่จำกัด ผลลัพธ์ที่ได้จากการควบคุมจะถูกวิเคราะห์ นอกจากนั้นงานวิทยานิพนธ์นี้ยังได้ทำการทดลองควบคุมด้วย

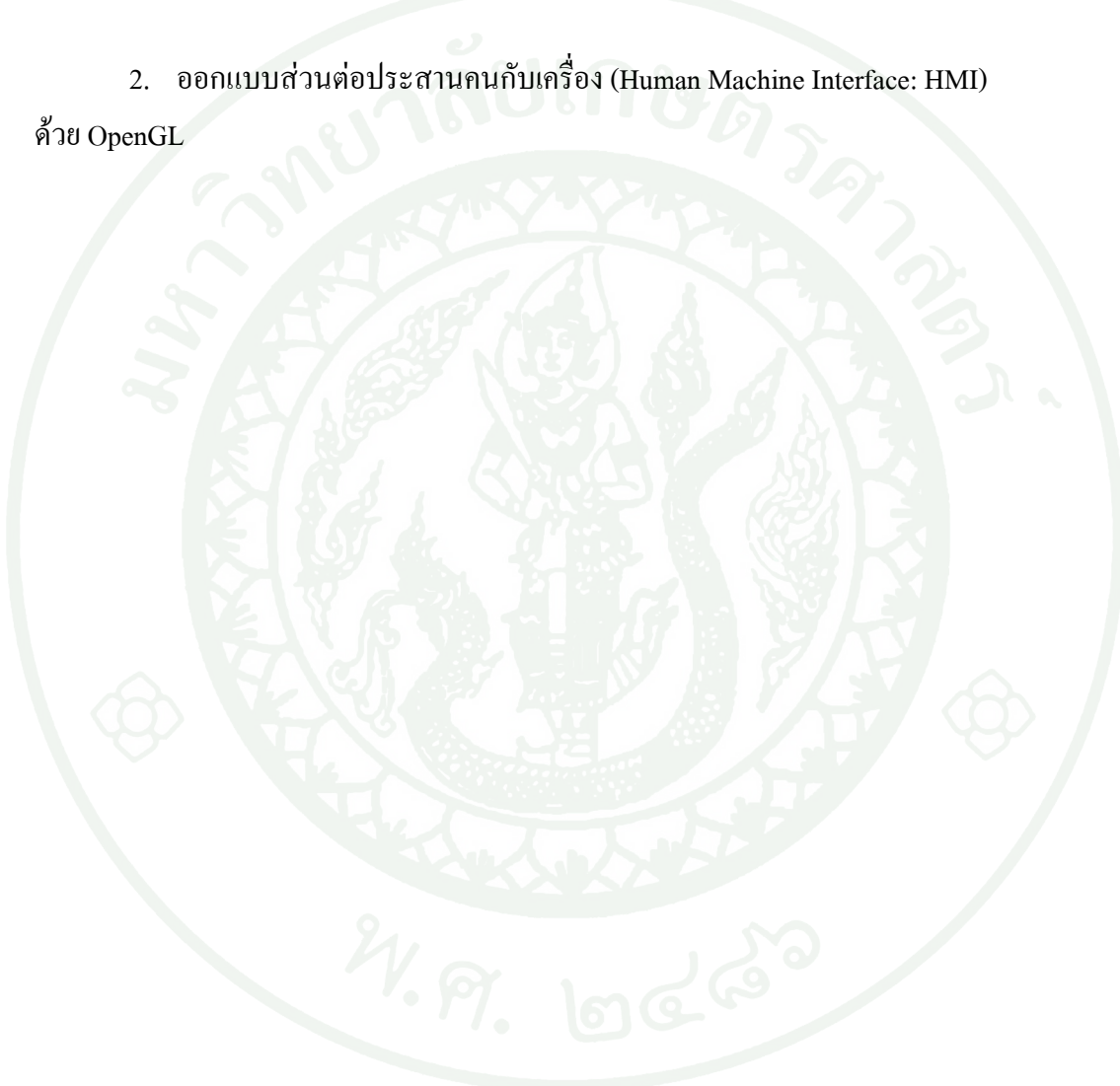
FieldPoint และเปี่ยน HMI ด้วย OpenGL สำหรับถังปฏิกรณ์แบบต่อเนื่องในกระบวนการผลิตไป  
โดยอีเซลอีกด้วย

ในขั้นตอนต่อไปจะนำตัวความคุณที่ออกแบบได้ทดลองความคุณความเข้มข้นของใบอีเซล  
([E]) ในถังปฏิกรณ์แบบต่อเนื่องของจริง



## วัตถุประสงค์

1. ออกรูปแบบตัวควบคุมที่สามารถผลิตไฟฟ้าให้ได้ความเข้มข้นตามที่ต้องการโดยใช้เวลาในการผลิตน้อยที่สุดภายใต้เงื่อนไขการใช้พลังงานที่จำกัด
2. ออกรูปแบบส่วนต่อประสานคนกับเครื่อง (Human Machine Interface: HMI)ด้วย OpenGL



## การตรวจเอกสาร

### พื้นฐานกระบวนการ

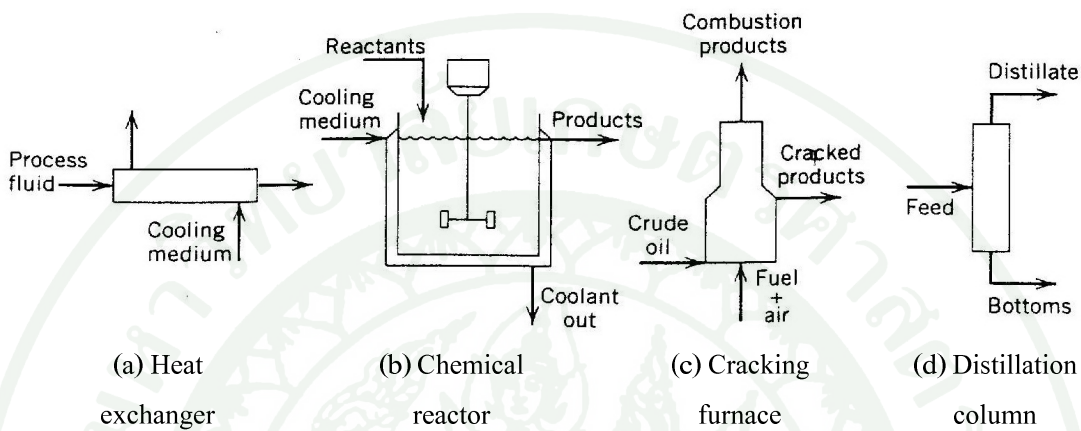
ในปี พ.ศ. 2551 วศิน ลีนันธิกุล, พี่รับ แสตน โภชน์, เพ็ญจิตร ศรีนพคุณและสุนิ ผู้เจริญ ชนาดชัย ได้นำเสนอการออกแบบตัวความคุณสำหรับถังปฏิกรณ์แบบต่อเนื่องในกระบวนการผลิตไวน์โอเดี้ยล โดยเสนอว่ารากฐานของการควบคุมกระบวนการ คือ การเข้าใจกระบวนการ ด้วยเหตุนี้ เราเริ่มต้นส่วนนี้ด้วยคำตามพื้นฐาน อะไรคือกระบวนการ (process) สำหรับวัตถุของเรา คือ สรุปคำนิยามที่เหมาะสม

กระบวนการ (Process) คือ การเปลี่ยนแปลงของวัตถุดิบที่ป้อนเข้าไปเป็นผลิตภัณฑ์ โดยใช้การดำเนินการทางเคมี และฟิสิกส์ ในทางปฏิบัติคำว่ากระบวนการ (process) มีแนวโน้มถูกใช้สำหรับทั้ง processing operation และ processing equipment

คำนิยามนี้ประยุกต์ใช้กับกระบวนการทั่วไป 3 ประเภท continuous batch และ semi-batch ถัดไป เราพิจารณาตัวอย่างกระบวนการ และสรุปสั้นๆ เกี่ยวกับประเด็นหลักของการควบคุม

## 1. Continuous Process

Continuous Process 4 แบบ ถูกแสดงแผนภาพเคาร่างในภาพที่ 1



ภาพที่ 1 Continuous Process

### 1.1 Tubular Heat Exchanger

กระบวนการของไอลบนด้านข้างของท่อถูกหล่อเย็นโดยน้ำหล่อเย็นบนเปลือกด้านข้างตัวอย่าง อุณหภูมิทางออกของกระบวนการของไอลถูกควบคุมโดยการจัดการอัตราการไอลของน้ำ การเปลี่ยนแปลงในอุณหภูมิทางเข้า และอัตราการไอลของกระบวนการของไอลมีผลต่อการดำเนินการการแลกเปลี่ยนความร้อน เพราะฉะนั้น ตัวแปรนี้ถูกพิจารณาเป็น disturbance variable

### 1.2 Continuous stirred-tank reactor (CSTR)

ถังปฏิกรณ์ยาเป็นปฏิกรณ์ยา cavity ความร้อน (exothermic) มากๆ มันจำเป็นที่จะควบคุมอุณหภูมิของถังปฏิกรณ์ โดยการจัดการอัตราการไอลของสารหล่อเย็นในเปลือกหุ้ม (jacket) หรือ คอลล์เย็น (cooling coil) เนื่องจากการป้อนเข้า (องค์ประกอบของอัตราการไอล และ อุณหภูมิ) สามารถเป็น manipulated variable หรือ disturbance variable

### 1.3 Thermal cracking furnace

น้ำมันดิบถูกแยกตามจำนวนของ lighter petroleum fractions โดยการถ่ายเทความร้อนจาก เชื้อเพลิงเผาไหม้/อากาศผสม (burning fuel/air mixture) อุณหภูมิเตาและจำนวนของอากาศที่มากเกินไปในท่อ ก้าชสามารถถูกควบคุมโดยการจัดการอัตราการไหลของเชื้อเพลิง และอัตราส่วนเชื้อเพลิงต่ออากาศ องค์ประกอบของน้ำมันดิบ และลักษณะความร้อนของเชื้อเพลิงเป็น disturbance variable

### 1.4 Multicomponent distillation column

วัตถุประสงค์การควบคุมค่าต่างๆ สามารถถูกกำหนดให้สำหรับ distillation column สำหรับตัวอย่าง องค์ประกอบการกลั่นสามารถถูกควบคุมโดยปรับ reflux flow rate หรือ distillate flow rate ถ้าองค์ประกอบไม่สามารถวัดแบบ on-line อุณหภูมิติดตามใกล้ส่วนบนของ column สามารถถูกควบคุมแทน ถ้า stream ป้อนเข้าถูกให้โดย upstream process เนื่องไปป้อนเข้าจะเป็น disturbance variable

สำหรับแต่ละตัวอย่างทั้ง 4 ตัวอย่างนี้ ปัญหาการควบคุมกระบวนการถูกแสดงถึงลักษณะเฉพาะ โดยการระบุประเภทของ process variable เป็น 3 ประเภทสำคัญๆ

Controlled variables (CVs) คือ process variable ซึ่งถูกควบคุม ค่าที่ต้องการของ controlled variable ถูกเรียกว่า set point

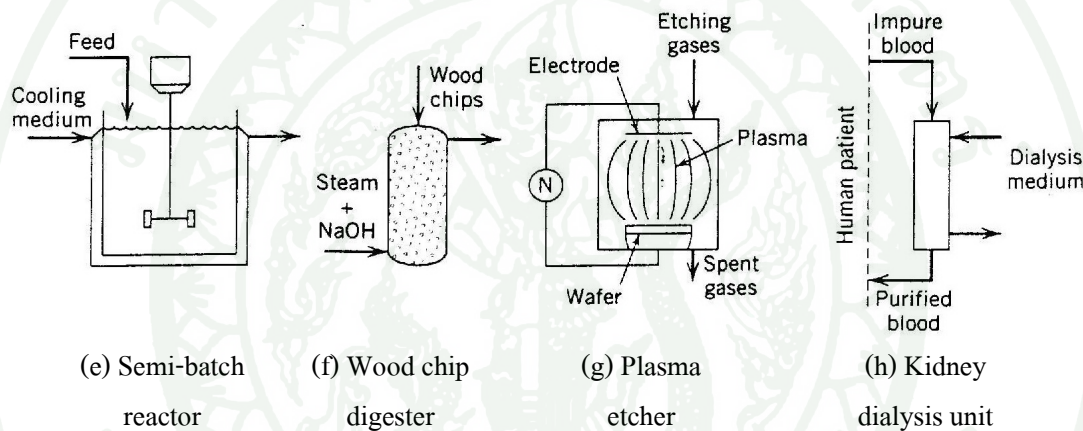
Manipulated variable (MVs) คือ process variable ซึ่งสามารถถูกปรับเพื่อรักษา controlled variable ให้เข้าใกล้ set point ตัวอย่าง เช่น Manipulated variable คือ อัตราการไหล

Disturbance variable (DVs) คือ process variable ซึ่งมีผลต่อ controlled variable แต่ไม่สามารถถูกจัดการได้ โดยทั่วไป disturbance สัมพันธ์กับการเปลี่ยนแปลงสิ่งแวดล้อมของกระบวนการ เช่น เนื่องไปป้อนเข้า หรืออุณหภูมิโดยรอบ disturbance variables บางประเภทสามารถวัดแบบ on-line แต่หลายๆ ประเภทไม่สามารถวัดได้ เช่น crude oil composition ของกระบวนการ thermal cracking furnace

คุณสมบัติของ CVs MVs และ DVs เป็นขั้นตอนวิเคราะห์ในการพัฒนาการควบคุมระบบสิ่งแวดล้อมที่มีอิทธิพลต่อความรู้ในกระบวนการ ประสบการณ์ และ วัตถุประสงค์การควบคุม

## 2. Batch และ Semi-Batch Process

Batch และ Semi-Batch Process ถูกใช้ในหลายอุตสาหกรรม เช่น microelectronics pharmaceutical specialty chemicals, และ fermentation Batch และ Semi-Batch Process มีความสำคัญที่สุดสำหรับ multiproduct plant โดยเฉพาะอย่างยิ่งเมื่อผลิตภัณฑ์เปลี่ยนแปลงความต้องการ ปริมาณน้อยๆ แสดงตัวอย่าง Batch และ Semi-Batch Process 4 ประเภท



ภาพที่ 2 Batch และ Semi-Batch Process

### 2.1 Batch หรือ Semi-Batch reactor

ประจุเริ่มต้นของตัวทำปฏิกิริยานำมาซึ่งเงื่อนไขของปฏิกิริยา และปฏิกิริยาถูกยอมให้ดำเนินการสำหรับความคงเวลาที่กำหนด หรือจนกระทั่งการเปลี่ยนแปลงที่กำหนดได้มา Batch และ Semi-Batch reactor ถูกใช้ทั่วไปใน specialty chemical plant, polymerization plant (ซึ่งผลผลิตอยู่ได้ของปฏิกิริยาถูกกำจัดระหว่างปฏิกิริยา), pharmaceutical และ bioprocessing facility อื่นๆ (ซึ่ง feed stream เช่น glucose ถูกป้อนสู่ reactor ระหว่างส่วนหนึ่งของการป้อน living organism เช่น yeast หรือ protein) เป็นต้น อุณหภูมิ reactor ถูกควบคุมโดยการจัดการอัตราการไอลของสารหล่อเย็น ความเข้มข้นจุดสุดท้ายของ batch สามารถถูกควบคุมโดยการปรับอุณหภูมิที่ต้องการ การไอลของสารตั้งต้น (สำหรับ semi-batch operation) หรือ รอเวลา

## 2.2 Wood chip digester

ทั้ง continuous และ semi-batch digester ถูกใช้ในโรงงานกระดาษ เพื่อย่อยสลายเศษไม้เพื่อสกัด cellulosic fiber จุดสุดท้ายของปฏิกิริยาเคมีถูกแสดงโดย kappa number การวัดของ lignin content มันถูกความคุณค่าที่ต้องการ โดยการปรับ อุณหภูมิ ความดัน และ/หรือ รอบเวลา digester

## 2.3 Plasma etcher in a semiconductor processing

single wafer บรรจุแพ้งวงจรนับร้อยชิ้นถูกความคุณเพื่อสารผสมของ etching gases ภายใต้เงื่อนไขที่เหมาะสม เพื่อสร้าง และรักษา plasma (ความต่างศักย์สูงถูกใช้ที่อุณหภูมิสูง และที่ความดันต่ำมากๆ) วัสดุที่ไม่ต้องการบนชั้นของ microelectronics circuit ถูกเลือกออกไปโดยปฏิกิริยาเคมีอุณหภูมิ ความดัน และ อัตราการไหล ของ etching gases ไปยัง reactor ถูกควบคุมโดยการปรับเครื่องทำความร้อนไฟฟ้า และ วาล์วควบคุม (control valve)

## 2.4 Kidney dialysis unit

อุปกรณ์การแพทย์นี้ถูกใช้กำจัดของเสียจากเลือดของผู้ป่วยซึ่งได้ล้มเหลว อัตราการไหลของเลือดถูกรักษาไว้โดยปั๊ม (Pump) และ เงื่อนไขโดยรอบ เช่น อุณหภูมิใน unit ถูกควบคุมโดยการปรับอัตราการไหล dialysis ถูกทำต่อเนื่องนานพอที่จะลดความเข้มข้นของของเสียให้อยู่ในระดับที่ยอมรับได้

## กระบวนการผลิตไบโอดีเซล

ในปีพ.ศ. 2548 พิสมัย เจนวนิชปัญจกุล ได้นำเสนอว่า ไบโอดีเซลเป็นพลังงานทดแทนน้ำมันดีเซล สามารถผลิตขึ้นได้จากการกระบวนการเคมีระหว่างน้ำมันพืชหรือ ไขมันสัตว์กับสารอนุกรรม แอลกอฮอล์ เช่น เมทานอล และตัวเร่งปฏิกิริยา โดยเทคโนโลยีการผลิตไบโอดีเซล แบ่งออกได้เป็น 3 ประเภท ได้แก่

### 1. กระบวนการทransesterification Process)

เป็นกระบวนการที่ใช้ด่างเป็นตัวเร่งปฏิกิริยาและเมทานอล มีข้อดีคือ เป็นเทคโนโลยีที่มีการลงทุนไม่สูงนักเนื่องจากเป็นกระบวนการที่ใช้อุณหภูมิต่ำ และความดันต่ำกว่า 2 บรรยากาศ ผลได้ของปฏิกิริยาสูงถึง 98 % แต่กระบวนการนี้จะไม่เหมาะสมกับวัตถุคิดที่มีปริมาณกรดไขมันอิสระสูง เนื่องจากจะเกิดสนูป และส่งผลให้ผลได้ของกระบวนการลดลง

#### 1.1 กระบวนการอีสเตอราฟิเคชัน (Esterification Process)

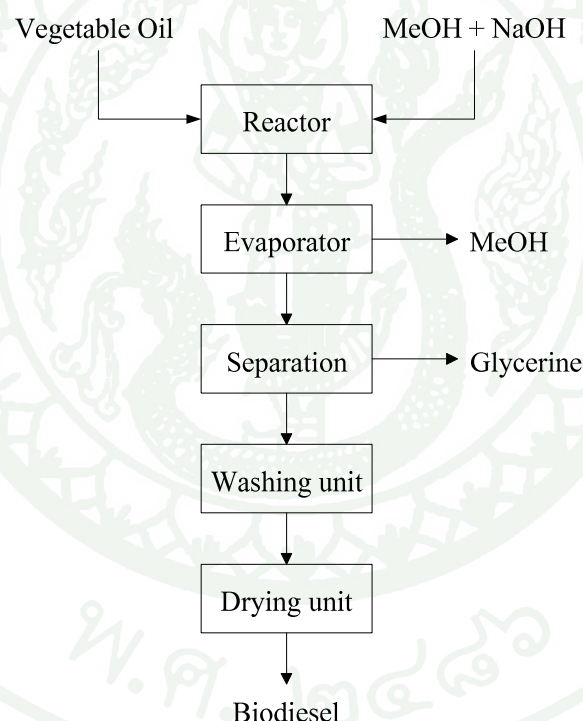
เป็นกระบวนการใช้กรดเป็นตัวเร่งปฏิกิริยาและเมทานอล จะสามารถใช้ได้กับวัตถุคิดทุกชนิด และค่ากรดไขมันอิสระทุกระดับ แต่ข้อด้อย คือ ใช้เวลาในการทำปฏิกิริยานาน และใช้อุณหภูมิในการทำปฏิกิริยาสูงกว่าในปฏิกิริยา ทransesterification Process จึงทำให้ต้นทุนการผลิตต่อหน่วยสูงกว่า

#### 1.2 กระบวนการ 2 ขั้นตอน (Two-stage-Process)

เป็นการแก้ปัญหาจุดด้อยของ 2 กระบวนการข้างต้น กล่าวคือ มีความสามารถใช้ได้กับน้ำมันที่มีค่ากรดไขมันอิสระสูง ในขณะเดียวกันก็มีการใช้พลังงานต่ำ โดยหลักการคือใช้ตัวเร่งปฏิกิริยาชนิดกรด เปลี่ยนกรดไขมันของน้ำมันในขั้นตอนแรก และในขั้นตอนที่สอง ใช้ด่างเป็นตัวเร่งปฏิกิริยา เช่น เดียว กับกระบวนการทransesterification Process ถึงแม้ว่ากระบวนการนี้จะใช้พลังงานต่ำกว่า กระบวนการอีสเตอราฟิเคชันอย่างเดียว แต่หากวัตถุคิดมีค่ากรดสูงมากๆ กระบวนการในขั้นตอนแรกจะใช้เวลามากขึ้น ส่งผลให้ต้นทุนการผลิตต่อหน่วยของไบโอดีเซลสูงขึ้นตามไปด้วย

กระบวนการที่ใช้ในงานวิทยานิพนธ์นี้คือการบวนการกระบวนการทรายเอสเทอร์ฟิเคลชัน ซึ่งประกอบด้วย ขั้นตอนการทำปฏิกิริยา ทรายเอสเทอร์ฟิเคลชันระหว่างน้ำมันพืช และเมทานอล โดยใช้โซเดียมไฮดรอกไซด์เป็นตั้งเร่งปฏิกิริยาในถังปฏิกิริณ์ และขั้นตอนสำหรับกำจัดสารเคมีอื่นๆ ที่หลงเหลือหรือเกิดขึ้นในปฏิกิริยา ซึ่งได้แก่ การกำจัดเมทานอลที่ไม่ได้ใช้ในปฏิกิริยา ด้วยเครื่องระเหย การแยกกลีเซอรินซึ่งเป็นผลิตภัณฑ์ร่วมออกจากไบโอดีเซล การล้างไบโอดีเซล ด้วยน้ำเพื่อกำจัดปริมาณโซเดียมไฮดรอกไซด์ และขั้นตอนสุดท้ายคือการจำกัดปริมาณน้ำล้างที่เหลืออยู่ในผลิตภัณฑ์ตาม

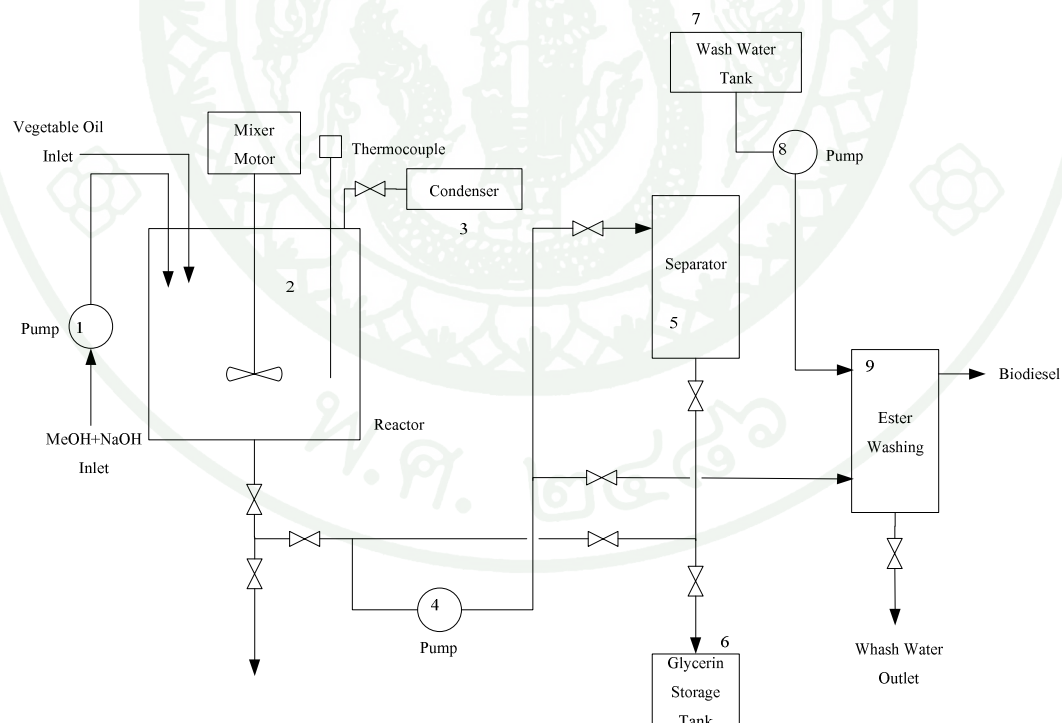
ภาพที่ 3 แผนภาพขั้นตอนการผลิตไบโอดีเซลแบบต่อเนื่อง



ภาพที่ 3 ขั้นตอนการผลิตไบโอดีเซลแบบต่อเนื่อง

แผนภาพขั้นตอนการผลิตไบโอดีเซลดังแสดงไว้ในภาพที่ 4 โดยมีขั้นตอนต่างๆ ดังที่ได้กล่าวมาข้างต้น สำหรับการผลิตไบโอดีเซลดังแสดงในภาพที่ 3 โดยรายละเอียดอยู่ในรูปที่ใช้สำหรับการผลิตไบโอดีเซลระดับ Pilot Scale ประกอบด้วย

1. ปั๊ม (Pump) สำหรับป้อนมีทานอล และโซเดียมไฮดรอกไซด์เข้าสู่ถังปฏิกรณ์ (Reactor)
2. ถังปฏิกรณ์ (Reactor)
3. เครื่องความแน่น (Condenser) สำหรับความแน่นมีทานอล
4. ปั๊ม (Pump) สำหรับป้อนผลิตภัณฑ์เข้าสู่ถังแยก (Separator)
5. ถังแยก (Separator) เพื่อแยกกลีเซอรินออกจากผลิตภัณฑ์
6. ถังเก็บกลีเซอริน (Glycerin Storage Tank)
7. ถังเก็บน้ำล้าง (Wash Water Tank)
8. ปั๊ม (Pump) สำหรับป้อนน้ำล้างเข้าสู่ห้องล้างเอสเทอโร่ (Ester Washing)
9. ห้องล้างเอสเทอโร่ (Ester Washing Unit)



ภาพที่ 4 ขั้นตอนการผลิตไบโอดีเซล

งานวิทยานิพนธ์นี้จะทำการทดลองและศึกษาในส่วนของถังปฏิกิริย (Reactor) เท่านั้น โดยสัดส่วนของน้ำมันต่อออกซอล์จากการศึกษาพบว่าค่าคงที่เหมาะสมสมออยู่ที่ 1:6 โดยโนมล (หรือ 1:0.2382 โดยน้ำหนัก) และอุณหภูมิที่เหมาะสม คือ  $60^{\circ}\text{C}$  ( $333.15^{\circ}\text{K}$ ) โดยความเข้มข้นของเอสเตอร์ (E) ของกรดไขมัน หรือไบโอดีเซลเท่ากับ  $2.104 \text{ mol/l}$

### ทฤษฎีการควบคุมเหมาะสมที่สุด

ในปี ก.ศ. 1999 Arthur E. Bryson, Jr ได้นำเสนอประเภทของการควบคุมเหมาะสมที่สุด ทฤษฎีการควบคุมเหมาะสมที่สุด (Optimal Control Theories) เป็นทฤษฎีที่กล่าวถึงการควบคุมเหมาะสมที่สุดในแต่ละระบบ โดยใช้อินพุตและเงื่อนไขที่จำกัด แบ่งเป็น 2 หัวข้อดังนี้

#### 1. ประเภทปัญหาการควบคุมเหมาะสมที่สุด

ประเภทปัญหาการควบคุมเหมาะสมที่สุดแบ่งได้ 3 ประเภท

1.1 การควบคุมเหมาะสมที่สุดโดยไม่คำนึงถึงเงื่อนไขบังคับ (Optimal Control with No Terminal Constraints)

คือการควบคุมเหมาะสมที่สุดโดยไม่คำนึงถึงเงื่อนไขบังคับ (Constraint) สามารถแบ่งได้เป็น 2 ระบบคือ

##### 1. ระบบไม่ต่อเนื่อง (Discrete System )

เป็นระบบที่เราทำการ สุ่มค่า (Sampling) ตัวแปรสate  $x(k)$  ณ เวลาที่  $k$  โดยเราจะกำหนดปัญหา สเตต (State problems) ได้โดย เลือกค่าอินพุต  $u(k)$  โดยที่  $k = 0, \dots, N - 1$  ซึ่งทำให้ระบบมีค่าน้อยที่สุดหรือเรียกว่า มินิマイซ์ (Minimize) ดังสมการที่ (1)-(5)

$$\begin{aligned} J &= \phi[x(N)] + \sum_{k=0}^{N-1} L[x(k), u(k), k] \\ x(k+1) &= f[x(k), u(k), k] \\ x(0) &= x_0 \end{aligned} \tag{1}$$

เมื่อ  $J$  คือ Cost function,  $x(k+1)$  คือตัวแปรสเตท ณ เวลาที่  $k+1$ ,  $x(0)$  คือตัวแปรสเตท ณ เวลาเริ่มต้นและ  $N$  คือเวลาสุดท้ายที่ถูกควบคุมดังสมการที่ (2)

โดยเราจะมีเงื่อนไขจำเป็น (Necessary condition) คือ

$$H(k) \triangleq L[x(k), u(k), k] + \lambda^T(k+1)f[x(k), u(k), k] \quad (2)$$

ซึ่งเราสามารถพิจารณาจากสมการ Discrete Euler-Lagrange

$$\begin{aligned} x(k+1) &= f[x(k), u(k), k] \\ \lambda(k) &= H_x^T(k) \equiv L_x^T(k) + f_x^T(k)\lambda(k+1) \\ \lambda(N) &= \phi_x^T \end{aligned} \quad (3)$$

โดยที่  $u(k)$  พิจารณาจาก

$$H_u(k) = 0, k = 0, \dots, N-1 \quad (4)$$

ดังนั้นเราสามารถเขียนได้อีกรูปแบบหนึ่งคือ

$$H_u(k) \equiv L_u(k) + \lambda^T(k+1)f_u(k) = 0 \quad (5)$$

โดยที่  $\lambda$  จะมีค่าที่ทำให้ระบบมีค่าน้อยที่สุด

## 2. ระบบต่อเนื่อง (Continuous System)

เป็นระบบแบบต่อเนื่อง โดยเราจะกำหนดปัญหาสเตท (State problems) ได้โดยเลือกค่าอินพุท  $u(t)$  โดยที่  $t_0 \leq t \leq_f t_f$  ซึ่งทำให้ระบบมีค่าน้อยที่สุดหรือเรียกว่ามินิไมซ์ (Minimize) ดังสมการที่ (6)-(9)

$$\begin{aligned} J &= \phi[x(t_f)] + \int_{t_0}^{t_f} L[x(t), u(t), t] dt \\ \dot{x} &= f[x(t), u(t), t] \\ x(t_0) &= x_0 \end{aligned} \quad (6)$$

เมื่อ  $J$  คือ Cost function,  $\dot{x}$  คืออัตราการเปลี่ยนแปลงตัวแปรสเตทเทียบกับเวลาและ  $t_0, t_f$  คือเวลาเริ่มต้นและสุดท้ายที่กำหนดตามลำดับดังสมการที่ (7) โดยมีเงื่อนไขที่จำเป็น (Necessary condition) คือ

$$H(t) \triangleq L[x(t), u(t), t] + \lambda^T(t)f[x(t), u(t), t] \quad (7)$$

ซึ่งความสามารถพิจารณาจาก Differential Equations

$$\begin{aligned} \dot{x} &= f[x(t), u(t), t] \\ \dot{\lambda} &= -H_x^T(t) \equiv -L_x^T(t) - f_x^T(t)\lambda(t) \\ \lambda(t_f) &= \phi_x^T \end{aligned} \quad (8)$$

โดยที่  $u(t)$  พิจารณาจาก

$$H_u(t) \equiv L_u(t) + \lambda^T(t)f_u(t) = 0 \quad (9)$$

โดยที่  $\lambda$  จะมีค่าที่ทำให้ระบบมีค่าน้อยที่สุด

## 1.2 การควบคุมเหมาะสมที่สุด โดยคำนึงถึงเงื่อนไขบังคับ (Optimal Control with Terminal Constraints)

คือการควบคุมเหมาะสมที่สุด โดยคำนึงถึงเงื่อนไขบังคับ(Constraint) สามารถแบ่งได้เป็น 2 ระบบคือ

### 1 ระบบไม่ต่อเนื่อง(Discrete System)

เป็นระบบที่เราทำการ สุ่มค่า (Sampling) ตัวแปรสเตท  $x(k)$  ณ เวลาที่  $k$  โดยเราจะกำหนดปัญหาสเตท (State problems) ได้โดย เลือกค่าอินพุท  $u(k)$  โดยที่  $k = 0, \dots, N - 1$  ซึ่งทำให้ระบบมีค่าน้อยที่สุดหรือเรียกว่า มินิマイซ์ (Minimize) ดังสมการที่ (10),(11)

$$\begin{aligned}
 J &= \phi[x(N)] + \sum_{k=0}^{N-1} L[x(k), u(k), k] \\
 x(k+1) &= f[x(k), u(k), k] \\
 x(0) &= x_0 \\
 \psi[x(N)] &= 0
 \end{aligned} \tag{10}$$

เมื่อ  $J$  คือ Cost function,  $x(k+1)$  คือตัวแปรสเตท ณ เวลาที่  $k+1$ ,  $x(0)$  คือตัวแปรสเตท ณ เวลาเริ่มต้น,  $N$  คือเวลาสุดท้ายที่ถูกควบคุมและ  $\psi$  คือขอบเขตที่กำหนด โดยเราจะมีเงื่อนไขจำเป็น (Necessary condition) คือ

$$\begin{aligned}
 H(k) &\triangleq L[x(k), u(k), k] + \lambda^T(k+1)f[x(k), u(k), k] \\
 \Phi &\triangleq \phi[x(N)] + \nu^T\psi[x(N)] \\
 x(k+1) &= f[x(k), u(k), k] \\
 \lambda(k) &= H_x^T(k) \equiv L_x^T(k) + f_x^T(k)\lambda(k+1) \\
 \lambda^T(N) &= \Phi_x \equiv \phi_x + \nu^T\psi_x
 \end{aligned} \tag{11}$$

โดยที่  $u(k)$  พิจารณาจาก

$$H_u(k) \equiv L_u(k) + \lambda^T(k+1)f_u(k) = 0$$

จะได้  $x(k)$  และ  $\lambda(k)$ , ทำให้เราสามารถหาค่า  $\nu$  ซึ่งเป็นไปตามเงื่อนไข  $\psi = 0$

## 2 ระบบต่อเนื่อง (Continuous System)

เป็นระบบแบบต่อเนื่อง โดยเราจะกำหนดปัญหาสเตท (State problems) ได้โดยเลือกค่าอินพุต  $u(t)$  โดยที่  $t_0 \leq t \leq_f$  ซึ่งทำให้ระบบมีค่าน้อยที่สุดหรือเรียกว่ามินิไมซ์ (Minimize) ดังสมการที่ (12)-(14)

$$\begin{aligned}
 J &= \phi[x(t_f)] + \int_{t_0}^{t_f} L[x(t), u(t), t] dt \\
 \dot{x} &= f[x(t), u(t), t] \\
 x(t_0) &= x_0 \\
 \psi[x(t_f)] &= 0
 \end{aligned} \tag{12}$$

เมื่อ  $J$  คือ Cost function,  $x$  คืออัตราการเปลี่ยนแปลงตัวแปรstate เทียบกับเวลา,  $t_0, t_f$  คือเวลาเริ่มต้นและสุดท้ายที่กำหนดตามลำดับและ  $\psi$  คือขอบเขตที่กำหนดโดยมีเงื่อนไขที่จำเป็น (Necessary condition) คือ

$$H(t) \triangleq L[x(t), u(t), t] + \lambda^T(t)f[x(t), u(t), t], \Phi \triangleq \phi[x(t_f)] + \nu^T\psi[x(t_f)] \quad (13)$$

ซึ่งความสามารถพิจารณาจาก Differential Equations

$$\begin{aligned} \dot{x} &= f[x(t), u(t), t], \\ \dot{\lambda} &= -H_x^T(k) \equiv -L_x^T(k) - f_x^T(t)\lambda(t), \lambda^T(t_f) = \Phi_x \equiv \phi_x + \nu^T\psi_x \end{aligned} \quad (14)$$

โดยที่  $u(t)$  พิจารณาจาก

$$H_u(t) \equiv L_u(t) + \lambda^T(t)f_u(t) = 0$$

จะได้  $x(k)$  และ  $\lambda(k)$ , ทำให้เราสามารถหาค่า  $\nu$  ซึ่งเป็นไปตามเงื่อนไข  $\psi = 0$

### 1.3 การควบคุมเหมาะสมที่สุด โดยใช้เวลาน้อยที่สุด (Optimal Control with Open Final Time)

คือการควบคุมเหมาะสมสมที่สุด โดยคำนึงถึงเงื่อนไขบังคับ (Constraint) ทางด้านเวลา โดยจะใช้เวลาที่น้อยที่สุด สามารถแบ่งได้เป็น 2 ระบบคือ

#### 1. ระบบไม่ต่อเนื่อง (Discrete System)

เป็นระบบที่เราทำการ สุ่มค่า (Sampling) ตัวแปรstate  $x(k)$  ณ เวลาที่  $k$  โดยเราจะกำหนดปัญหา state (State problems) ในรูปของ Mayer form ได้โดย เลือกค่าอินพุต  $u(k)$  โดยที่  $k = 0, \dots, N - 1$  และช่วงเวลา  $\Delta t$  ซึ่งทำให้ระบบมีค่าน้อยที่สุดหรือเรียกว่า มินิไมเซอร์ (Minimize) ดังสมการที่ (15)-(19)

$$\begin{aligned}
 J &= \phi[x(N), t_f], t_f = N\Delta \\
 x(k+1) &= f[x(k), u(k), k\Delta] \\
 x(0) &= x_0 \\
 \psi[x(N), t_f] &= 0
 \end{aligned} \tag{15}$$

เมื่อ  $J$  คือ Cost function,  $x(k+1)$  คือตัวแปรสเตท ณ เวลาที่  $k+1$ ,  $x(0)$  คือตัวแปรสเตท ณ เวลาเริ่มต้น,  $N$  คือเวลาสุดท้ายที่ถูกควบคุมและ  $\psi$  คือขอบเขตที่กำหนดโดยเราจะมีเงื่อนไขจำเป็น (Necessary condition) คือ

$$H(k) \triangleq \lambda^T(k+1)f[x(k), u(k), k, \Delta], \Phi \triangleq \phi + \nu^T\psi \tag{16}$$

ซึ่งเราสามารถพิจารณาจากสมการ Discrete Euler-Lagrange

$$\begin{aligned}
 x(k+1) &= f[x(k), u(k), k, \Delta] \\
 x(0) &= x_0 \\
 \lambda(k) &= H_x^T(k) \\
 \lambda(N) &= \Phi_x^T
 \end{aligned} \tag{17}$$

เมื่อ  $u(k)$  พิจารณาจาก

$$H_u(k) = 0 \tag{18}$$

และ  $\Delta$  พิจารณาจาก Transversality condition

$$\Omega \triangleq \Phi_\Delta + \sum_{k=0}^{N-1} H_\Delta(k) = 0 \tag{19}$$

จะได้  $x(k)$  และ  $\lambda(k)$ , ทำให้เราสามารถหาค่า  $\nu$  ซึ่งเป็นไปตามเงื่อนไข  $\psi = 0$  และ  $\Omega = 0$

## 2. ระบบต่อเนื่อง (Continuous System)

เป็นระบบแบบต่อเนื่อง โดยเราจะกำหนดปัญหาสแตก (State problems) ในรูปของ Mayer form ได้โดยเลือกค่าอินพุท  $u(t)$  โดยที่  $t_0 \leq t \leq f$  และช่วงเวลา  $\Delta t$  ซึ่งทำให้ระบบมีค่าน้อยที่สุดหรือเรียกว่ามินิไมซ์ (Minimize)

$$\begin{aligned} J &= \phi[x(t_f)] \\ \dot{x} &= f[x(t), u(t), t] \\ x(t_0) &= x_0 \\ \psi[x(t_f), t_f] &= 0 \end{aligned} \tag{20}$$

เมื่อ  $J$  คือ Cost function,  $x$  คืออัตราการเปลี่ยนแปลงตัวแปรสแตกเทียบกับเวลา,  $t_0, t_f$  คือเวลาเริ่มต้นและสุดท้ายที่กำหนดตามลำดับและ  $\psi$  คือขอบเขตที่กำหนด โดยมีเงื่อนไขที่จำเป็น (Necessary condition) คือ

$$H \triangleq \lambda^T f, \Phi \triangleq \phi + \nu^T \psi \tag{21}$$

ซึ่งเราสามารถพิจารณาจาก Differential Equations

$$\begin{aligned} \dot{x} &= f[x(t), u(t), t], x(t_0) = x_0 \\ \dot{\lambda} &= -H_x, \lambda^T(t_f) = \Phi_x \end{aligned} \tag{22}$$

เมื่อ  $u(k)$  พิจารณาจาก

$$H_u(t) = 0$$

$t_f$  พิจารณาจาก Transversality condition

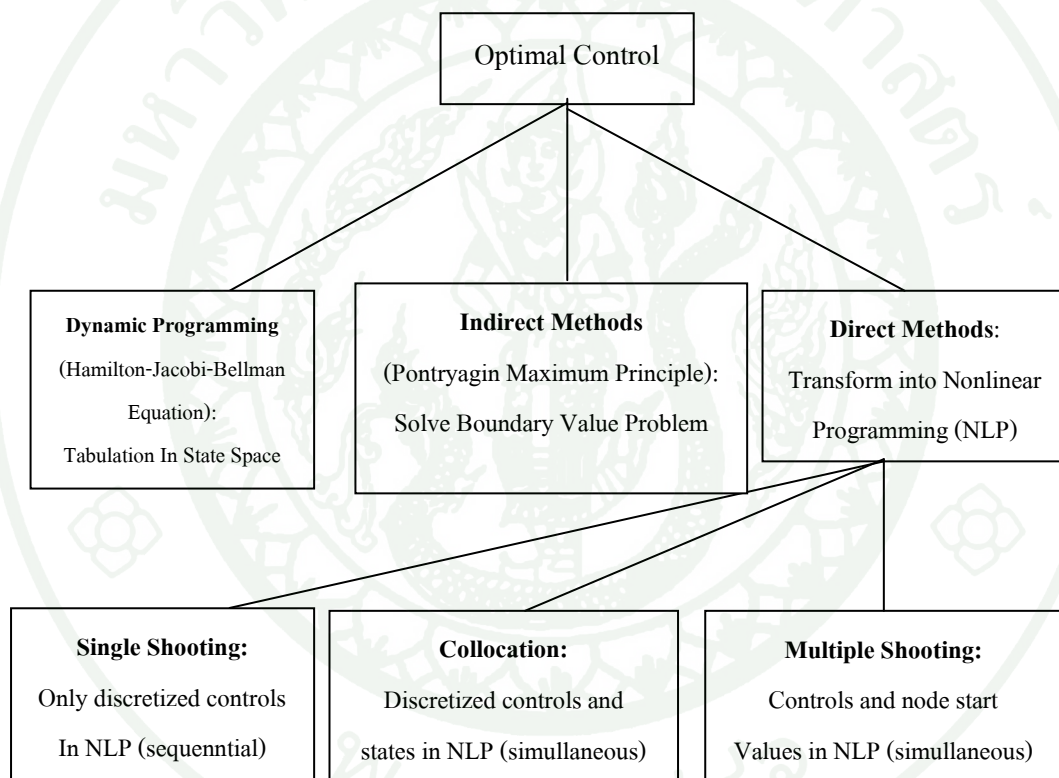
$$\Omega \triangleq \Phi_t + H(t_f) = 0$$

จะได้  $x(k)$  และ  $\lambda(k)$ , ทำให้เราสามารถหาค่า  $\nu$  ซึ่งเป็นไปตามเงื่อนไข  $\psi = 0$  และ  $\Omega = 0$

## 2. วิธีการแก้ปัญหาการควบคุมเหมาะสมที่สุด

ในปี ค.ศ. 2006 M. Diehl, H.G. Bock, H. Diedam, P.-B. Wieber ได้นำเสนอวิธีการแก้ปัญหาการควบคุมเหมาะสมที่สุด

ในการแก้ปัญหาการควบคุมเหมาะสมที่สุดสามารถแบ่งวิธีการแก้ปัญหាអอกเป็น 3 วิธี ดังภาพที่ 5 คือ



ภาพที่ 5 แผนภาพแสดงวิธีการแก้ปัญหาการควบคุมเหมาะสมที่สุด

## 2.1 Direct Method

เป็นวิธีที่แปลงจากระบบ infinite optimal control problem เป็น finite dimensional nonlinear programming problem (NLP) โดยเราใช้วิธี variants of state-of-the-art numerical optimization ข้อดีของวิธีนี้คือ เราสามารถแก้ปัญหา inequality constraints และ active set changes ได้

## 2.2 Indirect Method

เป็นวิธีที่ใช้เงื่อนไขที่จำเป็นที่เหมาะสมที่สุดของระบบที่เป็น infinite ซึ่งเราจะประมาณจาก boundary value problem (BVP) ใน ordinary differential equations (ODE) เราจะแก้ปัญหาขั้นตอนแรกโดยใช้ BVP จากนั้นจึงทำการ discretize วิธีการของ indirect method ที่รู้จักกันคือวิธี calculus of variations , วิธี Euler –Lagrange differential equations และวิธี Pontryagin Maximum Principle วิธี BVP นั้นส่วนใหญ่จะใช้ วิธี shooting techniques และ collocations ซึ่ง วิธีนี้จะมีข้อเสียคือ สมการ differential บางครั้งไม่สามารถหาคำตอบได้เนื่องจากมีความไม่เชิงเส้นและความไม่เสถียร สูงซึ่งอาจทำให้เกิดการเปลี่ยน โครงสร้างควบคุม

## 2.3 Dynamic Programming

เป็นวิธีการที่ใช้การคำนวณช่วงซึ่งอยู่ในทุกๆช่วงเวลา  $t$  และ ทุกๆค่า  $x_0$  สำหรับกรณีของ continuous time เราจะใช้วิธี Hamilton-Jacobi-Bellman (HJB) และใช้อนุพันธ์บางส่วน (partial differential equation - PDE) สำหรับระบบสมการสแตก ซึ่งวิธีนี้จะเป็นการคำนวณหาค่าประมาณ ข้อเสียของวิธีนี้คืออาจจะเกิด “curse of dimensionality” และสามารถใช้วิธีนี้กับระบบที่เป็น small state dimensions.

วัตถุประสงค์หลักของการใช้ทฤษฎีนี้คือ การควบคุมให้ Plant Biodiesel สามารถผลิตเชื้อเพลิงได้ตามที่ต้องการ โดยใช้พลังงาน (Power) ที่จำกัดและใช้เวลา最少 (minimum time) ทฤษฎีที่ใช้คือ Collocation Method

### Collocation Method

ในปี ค.ศ. 2009 M.Cizniar, M. Flkar, M.A. Latifi ได้นำเสนอวิธีการแก้ปัญหาการควบคุมเหมาะสมที่สุดด้วยวิธี Collocation โดยวิธีนี้จะเป็น การ discretizing ทั้ง controls และ states จาก Optimization Problem Statement สามารถเขียนรูปแบบการแก้ปัญหาได้ 3 แบบ

1. Bolza form

$$J(u(t), p) = G(x(t_f), p, t_f) + \int_{t_0}^{t_f} F(x(t), u(t), p, t) dt$$

2. Lagrange form

$$J(u(t), p) = \int_{t_0}^{t_f} F(x(t), u(t), p, t) dt$$

3. Mayer form

$$J(u(t), p) = G(x(t_f), p, t_f)$$

โดยที่

$J(\cdot)$	— optimization criterion
$G(\cdot)$	— component of objective function evaluated at final conditions
$\int_{t_0}^{t_f} F(\cdot) dt$	— component of objective function evaluated over a period of time
$x(t)$	— vector of state variables
$u(t)$	— vector of control variables
$p$	— vector of time independent parameters

พิจารณาจาก

$$\min_{u(t), p} J(x(t_f), p, t_f)$$

โดยที่มีเงื่อนไข initial conditions

$$\begin{aligned}\dot{x}(t) &= f(x(t), u(t), p, t) ; t \in [t_0, t_f] \\ x(t_0) &= x_0(p)\end{aligned}$$

สามารถกำหนดขอบเขตได้ดังนี้

$$h(x(t), u(t), p, t) = 0$$

$$g(x(t), u(t), p, t) \leq 0$$

$$x(t)^L \leq x(t) \leq x(t)^U$$

$$u(t)^L \leq u(t) \leq u(t)^U$$

$$p^L \leq p \leq p^U$$

โดยที่

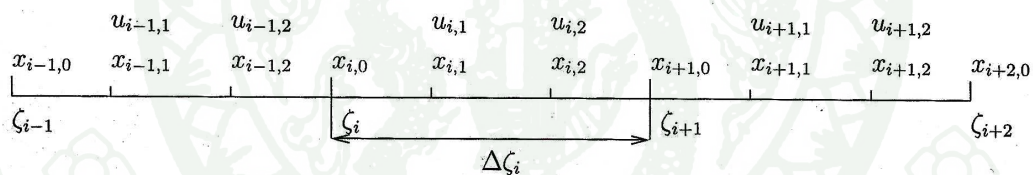
$h(\cdot)$  – equality design constraint vector

$g(\cdot)$  – inequality design constraint vector

$x(t)^L, x(t)^U$  – state profile bounds

$u(t)^L, u(t)^U$  – control profile bounds

$p^L, p^U$  – parameter bounds



ภาพที่ 6 Collocation methods บนช่วง state profiles, control profiles และ element length

เราสามารถประมาณค่าต่อบนได้จาก Lagrange polynomials ตำแหน่งที่  $i$ ,  $\zeta_i \leq t \leq \zeta_{i+1}$  ดังสมการที่ (23),(24)

$$x_{K_x}^i(t) = \sum_{j=0}^{K_x} x_{ij} \phi_j(t); \quad \phi_j(t) = \prod_{k=0,j}^{K_x} \frac{(t - t_{ik})}{(t_{ij} - t_{ik})} \quad (23)$$

$$\begin{aligned} i &= 1, \dots, NE \\ u_{K_u}^i(t) &= \sum_{j=0}^{K_u} u_{ij} \phi_j(t); \quad \phi_j(t) = \prod_{k=0,j}^{K_u} \frac{(t - t_{ik})}{(t_{ij} - t_{ik})} \end{aligned} \quad (24)$$

$$i = 1, \dots, NE$$

เมื่อ  $k = 0, j$  หมายความว่า  $k$  เริ่มจาก 0 และ  $k \neq j$ , NE คือ จำนวนของ elements

$x_{K_x}(t)$  คือจำนวน  $(K_x + 1)th$  degree piecewise polynomial

$u_{K_u}(t)$  คือจำนวน  $(K_u + 1)th$  degree piecewise polynomial

เมื่อให้  $K = K_x = K_u$  จุดที่ทำการ collocation ในช่วงดังภาพที่ 6 และจาก basis function เราสามารถ normalized ในแต่ละช่วง element  $\Delta\zeta_i(\tau \in [0, 1])$  โดยสามารถเขียนได้อีกแบบคือ

$$\begin{aligned} \Delta\zeta_i r(t_{ik}) &= M \sum_{j=0}^{K_x} x_{ij} \dot{\phi}_j(\tau_k) - \Delta\zeta_i f(t_{ik}, x_{ik}, u_{ik}, p) \\ i &= 1, \dots, NE \quad j = 0, \dots, K_x, \quad k = 1, \dots, K_x \end{aligned}$$

เมื่อ  $\dot{\phi}_j(\tau_k) = dt\phi_j/dt\tau$  โดยที่ทั้ง  $\phi(\tau)$  และ  $\theta_j(\tau)$  จะอยู่ในรูปแบบ basis functions ได้ถูกคำนวณไว้ก่อนแล้วซึ่งขึ้นอยู่กับ Legendre root location สังเกตได้ว่า  $t_{ik} = \zeta_i + \Delta\zeta_i\tau_k$  ในรูปแบบนี้สามารถใช้ได่ง่ายเมื่อทราบถึงความยาวของ element ซึ่งจะถูกใช้คำนวณหาจุดที่เป็นไปได้ที่จะไม่ต่อเนื่อง

$$\begin{aligned} x_{K_x}^i(\zeta_i) &= x_{K_x}^{i-1}(\zeta_i) \\ i &= 2, \dots, NE \\ x_{i0} &= \sum_{j=0}^{K_x} x_{i-1,j} \phi_j(\tau = 1) \end{aligned}$$

### Particle Swarm Optimization (PSO)

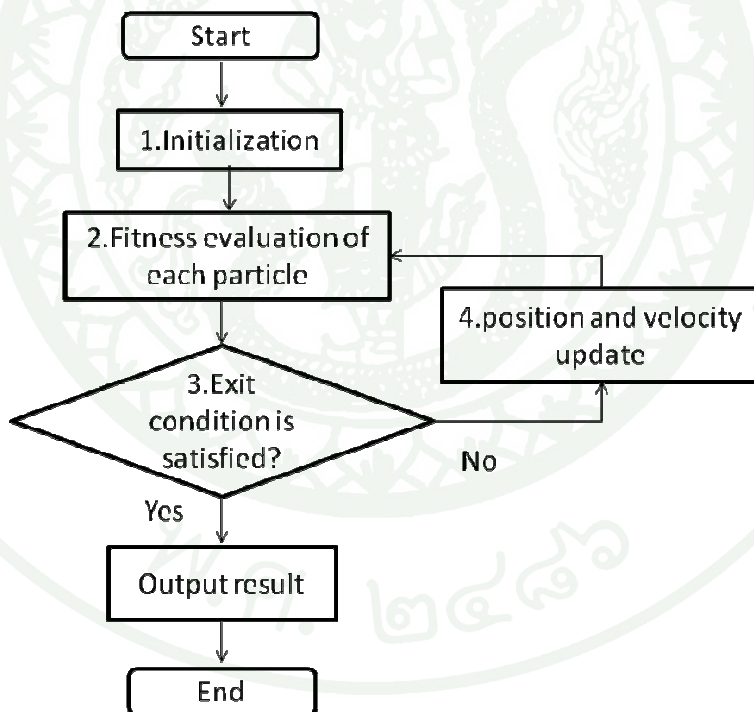
ในปีค.ศ.1995 J. Kennedy และ R. Elberhart ได้นำเสนอวิธีการแก้ปัญหาทางคอมพิวเตอร์โดยเลียนแบบพฤติกรรมการเคลื่อนที่และการสื่อสารที่ของสัตว์ที่อยู่เป็นกลุ่ม เช่นนก ปลา ซึ่งสัตว์เหล่านี้แต่ละตัวสมมุติเรียกว่าเป็นอนุภาค (particle) จะสื่อสารกันเป็นกลุ่มใหญ่ๆ (เรียกว่า swarm) วิธีนี้จะช่วยให้กลุ่มสัตว์สามารถตัดสินใจเดือดการแก้ปัญหาได้เร็ว สามารถเดือดเส้นทางการหาอาหารได้ดีกว่าการตัดสินใจเพียงตัวเดียว โดยมีสมการดังนี้

$$\begin{aligned} v_i^{k+1} &= wv_i^k + c_1\gamma_1 \times (p_{best_i} - x_i^k) + c_2\gamma_2 \times (g_{best_i} - x_i^k) \\ x_i^{k+1} &= x_i^k + v_i^{k+1} \end{aligned} \tag{25}$$

โดย

- $c_1, c_2$  กีอ สัมประสิทธิ์ค่าคงที่
- $w$  กีอค่า Weight factor
- $\gamma_1, \gamma_2$  กีอค่าที่สูงในช่วง  $[0, 1]$
- $x_i, v_i$  กีอ ตำแหน่งและความเร็วของอนุภาค
- $p_{best_i}$  กีอ ตำแหน่งที่ดีที่สุดของอนุภาค
- $g_{best_i}$  กีอ ตำแหน่งที่ดีที่สุดของทั้งกลุ่ม
- $k = 1, 2, \dots$  กีอจำนวนรอบการคำนวณ(iteration)

ลักษณะการทำงานของ PSO นั้นสามารถแสดงได้ดังภาพที่ 7 โดยมีขั้นตอนการทำงานดังนี้



ภาพที่ 7 แผนภาพลักษณะการทำงานของ PSO

### 1. Initialization

ในขั้นตอนนี้ ค่าตัวแปรต่างๆจะถูกกำหนดขึ้น ตำแหน่งและความเร็วจะถูกสุ่มขึ้นมา  $p_{best_i}$  และ  $g_{best_i}$  จะตั้งให้มีค่าสูงที่สุด

### 2. Fitness evaluation of each particle

ทุกๆรอบการคำนวณ ( $k = 1, 2, \dots$ ) ค่า fitness หรือ performance แต่ละอนุภาคจะถูกคำนวณ ถ้า ค่าใหม่ที่คำนวณได้ดีกว่าค่า  $p_{best_i}$  ปัจจุบัน ระบบจะทำการปรับค่า  $p_{best_i}$  ให้เป็นค่าที่คำนวณใหม่ ถ้าค่าของ  $p_{best_i}$  ดีกว่าค่าของ  $g_{best_i}$  ปัจจุบัน ระบบจะทำการปรับค่า  $g_{best_i}$  ให้มีค่าเท่ากับค่า  $p_{best_i}$

### 3. Exit condition

เมื่อค่า  $g_{best_i}$  เป็นไปตามเงื่อนไขหรือจำนวนรอบการคำนวณถึงค่าสูงสุดหรือค่า  $p_{best_i}$  น้อยกว่าค่าความผิดพลาด (error criterion) ก็จะไปขั้นตอนที่ 5 ถ้าไม่เป็นไปตามเงื่อนไขก็จะไปขั้นตอนที่ 4

### 4. Position and Velocity update

ค่าตำแหน่งและค่าความเร็วของอนุภาคจะถูกปรับค่าตามสมการที่ (25) ถ้าค่าตำแหน่งและค่าความเร็วของอนุภาคจะถูกปรับค่าให้อยู่นอกตำแหน่งที่ค้นหา (search space) ค่าที่ปรับตั้งให้อยู่ในขอบเขตที่กำหนดเป็นค่าที่ใช้

### 5. Output result

คำตอบที่ดีที่สุดของระบบการแก้ปัญหาคือค่า  $g_{best_i}$

## ส่วนต่อประสานคนกับเครื่อง Human Machine Interface (HMI)

สิ่งประดิษฐ์ที่มนุษย์สร้างขึ้นเพื่ออำนวยความสะดวกให้กับการใช้ชีวิตประจำวันหรือการทำงานนั้น มีหลักปฏิบัติในการออกแบบคือจะต้องใช้งานง่ายและปลอดภัย โดยคำนึงถึงความพึงพอใจของผู้ใช้เป็นหลัก เทคโนโลยีที่เรียกว่า Human-Machine Interface (HMI) จึงเป็นระบบที่สร้างขึ้นเพื่อเป็นสื่อกลางในการรับ-ส่ง ข้อมูลระหว่างผู้ใช้กับระบบอัตโนมัติหรือหุ่นยนต์ที่รองรับคำสั่ง เพื่อทำการประมวลผลและทำงานตามที่โปรแกรมไว้ การประยุกต์ใช้ HMI เช่นการสร้างภาพเสมือนจริงเกี่ยวกับกระบวนการในการทำงานในโรงงานอุตสาหกรรมและนำไปใช้ฟิกัด

พนักงานเพื่อเป็นการลดต้นทุนในการฝึกสอนและเพิ่มประสิทธิภาพในการทำงานเนื่องจากไม่จำเป็นต้องใช้ชิ้นส่วนจริงในการฝึกสอนซึ่งทำให้ไม่ต้องเสียค่าใช้จ่ายของชิ้นส่วนที่อาจเกิดความเสียหายจากการฝึกสอนอีกทั้งระบบยังสามารถจัดการเคลื่อนไหวของผู้ที่มีทักษะในการประกอบชิ้นส่วนเพื่อใช้ฝึกสอนทำให้สามารถถ่ายทอดทักษะได้อย่างมีประสิทธิภาพได้เป็นต้น



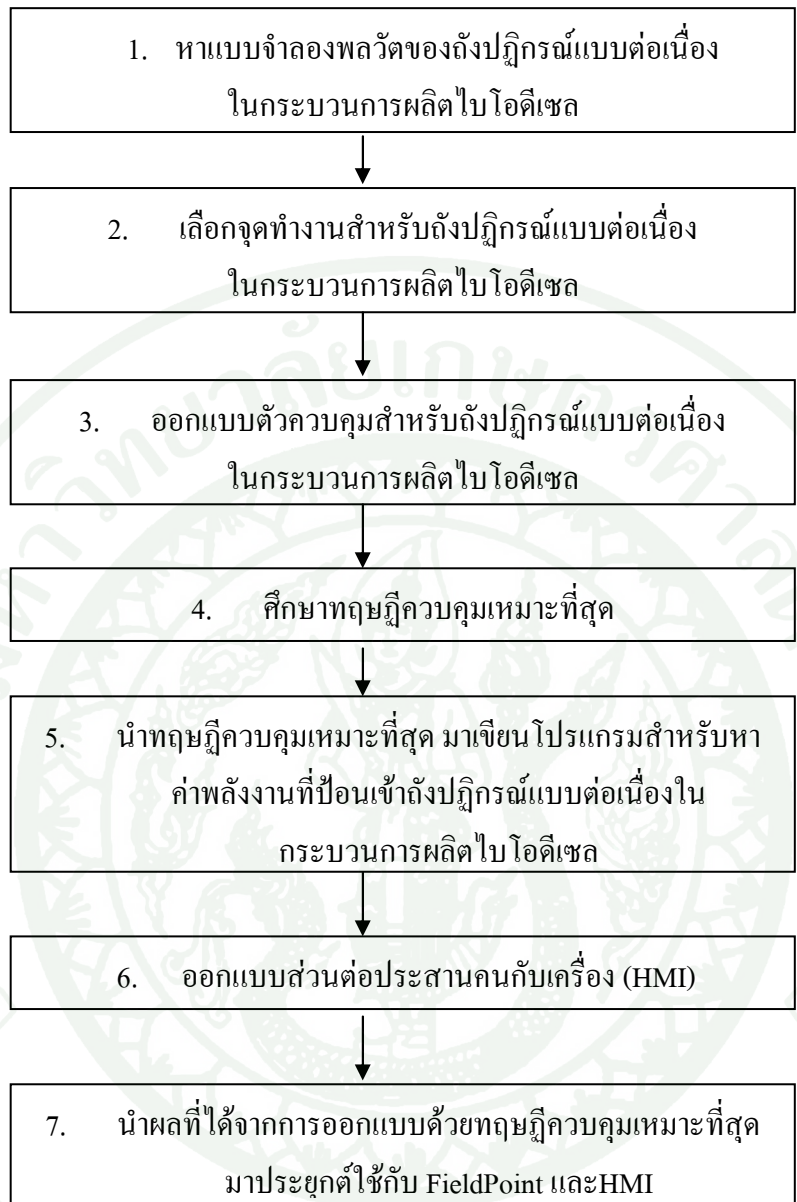
## อุปกรณ์และวิธีการ

### อุปกรณ์

1. คอมพิวเตอร์ 2 ชุด
2. โปรแกรม MATLAB/SIMULINK
3. โปรแกรม LabVIEW
4. FieldPoint ยี่ห้อ National Instrument รุ่น FP-2000
5. DAQ card ยี่ห้อ National Instrument รุ่น PCI-6251

### วิธีการ

งานวิทยานิพนธ์นี้เริ่มต้นจากการหาแบบจำลองพลวัตของถังปฏิกรณ์แบบต่อเนื่องในกระบวนการผลิตใบໂອดีเซล เลือกจุดทำงานสำหรับถังปฏิกรณ์แบบต่อเนื่องในกระบวนการผลิตใบໂອดีเซล และออกแบบตัวควบคุมสำหรับถังปฏิกรณ์แบบต่อเนื่องในกระบวนการผลิตใบໂອดีเซล โดยการจำลองบนคอมพิวเตอร์ ด้วยโปรแกรม MATLAB และ โปรแกรม SIMULINK ในการทดลองสุดท้ายได้ประยุกต์ใช้ FieldPoint เป็นตัวควบคุม และทำการออกแบบ HMI แบบOpenGL เพื่อให้ง่ายต่อการใช้งานและแสดงผล โดยมีขั้นตอนดังนี้



### ภาพที่ 8 แผนภาพวิธีการดำเนินการ

#### 1. หาแบบจำลองพลวัตของถังปฏิกรณ์แบบต่อเนื่องในกระบวนการผลิตใบโซดีเซล

ขั้นตอนนี้อธิบายวิธีการหาแบบจำลองพลวัตของถังปฏิกรณ์แบบต่อเนื่องในกระบวนการผลิตใบโซดีเซลดังภาพที่ 8 โดยเริ่มต้นศึกษาพื้นฐานต่างๆ ที่เกี่ยวข้องกับการทำแบบจำลองพลวัตของถังปฏิกรณ์แบบต่อเนื่อง และหาแบบจำลองพลวัตของถังปฏิกรณ์แบบต่อเนื่องในกระบวนการผลิตใบโซดีเซล โดยมีขั้นตอนดังภาพที่ 9



## ภาพที่ 9 แผนภาพการหาแบบจำลองพลวัตของถังปฏิกิริณแบบต่อเนื่องในกระบวนการผลิต ใบโอดีเซล

### 1.1 กฎหมายอนุรักษ์ (Conservation Law)

ทฤษฎีบทซึ่งเกี่ยวข้องกับแบบจำลองของกระบวนการทางเคมีอยู่บนพื้นฐานของกฎหมายอนุรักษ์ (conservation law) เช่น กฎหมายอนุรักษ์ของมวล (conservation of mass) และ กฎหมายอนุรักษ์ของพลังงาน (conservation of energy) ตามลำดับ ขณะนี้เราพิจารณากฎหมายอนุรักษ์ที่สำคัญและใช้มันพัฒนาแบบจำลองพลวัต (dynamic model) สำหรับเป็นตัวแทนของกระบวนการ

#### 1.1.1 กฎหมายอนุรักษ์ของมวล (Conservation of Mass)

$$\{\text{rate of mass accumulation}\} = \{\text{rate of mass in}\} - \{\text{rate of mass out}\} \quad (26)$$

#### 1.1.2 กฎหมายอนุรักษ์ของสารประกอบ i (Conservation of Component i)

$$\left\{ \begin{array}{c} \text{rate of component } i \\ \text{accumulation} \end{array} \right\} = \left\{ \begin{array}{c} \text{rate of component } i \\ \text{in} \end{array} \right\} - \left\{ \begin{array}{c} \text{rate of component } i \\ \text{out} \end{array} \right\} + \left\{ \begin{array}{c} \text{rate of component } i \\ \text{produce} \end{array} \right\} \quad (27)$$

สมการที่ (27) พจน์สุดท้ายทางความมือของ แทนอัตราของการเกิด (หรือ การหายไป) ของสารประกอบ i ซึ่งเป็นผลของปฏิกิริยาเคมี สมการการอนุรักษ์สามารถถูกเขียนในพจน์ของปริมาณความเข้มข้น ชนิดอะตอม และชนิดโมเลกุล (Felder and Rousseau, 2000)

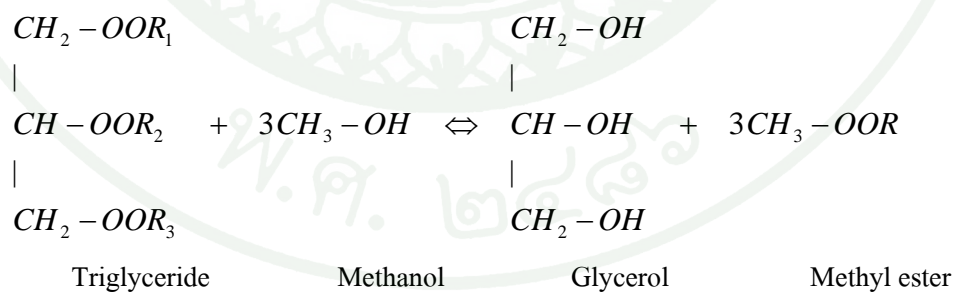
### 1.1.3 กฎการอนุรักษ์ของพลังงาน (Conservation of Energy)

โดยทั่วไปกฎการอนุรักษ์ของพลังงานถูกเรียกว่า กฎข้อที่หนึ่งของ thermodynamics (Sandler, 1999) เป็นไปตามสมการที่ (28)

$$\left\{ \begin{array}{l} \text{rate of energy} \\ \text{accumulation} \end{array} \right\} = \left\{ \begin{array}{l} \text{rate of energy in} \\ \text{by convection} \end{array} \right\} - \left\{ \begin{array}{l} \text{rate of energy out} \\ \text{by convection} \end{array} \right\} + \left\{ \begin{array}{l} \text{net rate of heat addition} \\ \text{to the system from} \\ \text{the surroundings} \end{array} \right\} + \left\{ \begin{array}{l} \text{net rate of work} \\ \text{performed on the system} \\ \text{by the surroundings} \end{array} \right\} \quad (28)$$

## 1.2 Kinetics ของปฏิกิริยาในกระบวนการผลิตไปโอดีเซล

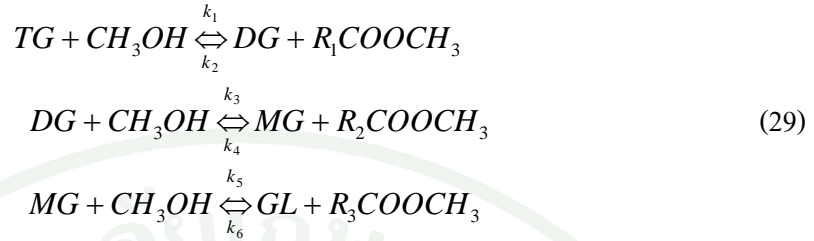
ปัจจุบันปฏิกิริยาที่นิยมใช้ในกระบวนการผลิตไปโอดีเซล คือปฏิกิริยาtransesterification ฟิเคลชัน (Transesterification Reaction) ซึ่งเป็นปฏิกิริยาที่เกิดขึ้นระหว่างน้ำมันพืชซึ่งเป็นสารอินทรีย์ประเภทไตรกลีเซอไรด์ (TG) และเมทานอล (A) โดยใช้ด่างเป็นตัวเร่งปฏิกิริยา เช่น โซเดียมไฮดรอกไซด์



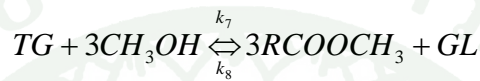
ภาพที่ 10 ปฏิกิริยาtransesterification ของ TG กับเมทานอล

ปฏิกิริยาtransesterification ของ TG กับเมทานอล โดยการเข้าร่วมของตัวเร่งปฏิกิริยาประเภทด่าง จะได้อีสเตอร์ (E) ของกรดไขมัน หรือไปโอดีเซล และกลีเซอเรน (GL) โดยมีโอมโนกลี

เชอไร์ด (MG) และ ไดกเลิเซอไร์ด (DG) เป็นสารตัวกลางดังสมการที่ โดย  $k$  เป็นอัตราค่าคงที่ (rate constants)



ปฏิกิริยารวม



รูปแบบทั่วไปของสมการเชิงอนุพันธ์ที่แสดงลักษณะเฉพาะเป็นลำดับขั้นของปฏิกิริยาที่ ran เอสเทอริฟิเคชันของ TG เป็นไปตามสมการที่ (29) (Noureddini, H. และ D. Zhu, 1997)

$$\begin{aligned} r_{TG} &= -k_1[TG][A] + k_2[DG][E] \\ r_{DG} &= k_1[TG][A] - k_2[DG][E] - k_3[DG][A] + k_4[MG][E] \\ r_{MG} &= k_3[DG][A] - k_4[MG][E] + k_5[MG][A] + k_6[GL][E] \\ r_E &= k_1[TG][A] - k_2[DG][E] + k_3[DG][A] - k_4[MG][E] + k_5[MG][A] \\ &\quad - k_6[GL][E] \\ r_A &= -r_E \\ r_{GL} &= k_5[MG][A] - k_6[GL][E] \end{aligned} \quad (30)$$

เมื่อ  $[x]$  คือความเข้มข้นของสาร  $x$

$k_i$  คือ ค่าคงที่ของอัตราการเกิดปฏิกิริยา (reaction rate constant) คุณประมาณโดยนิพจน์ที่ เห็นได้กับ Arrhenius equation

$$k_i = k_{0i}e^{-E_i/RT} \quad (31)$$

เมื่อ  $k_{0i}$  คือ frequency factor  $E_i$  คือ activation energy และ  $R$  คือ gas constant สมการที่ (31) มาจาก transition state theory และว่าอุณหภูมิที่นี้กับค่าคงที่ของอัตราการเกิดปฏิกิริยา (reaction rate constant)

ตารางที่ 1 ค่าคงที่ของอัตราการเกิดปฏิกิริยา

ตัวแปร	ค่า	หน่วย
$k_1$	0.05 (50 °C)	$l/(mol \cdot min)$
$k_2$	0.11 (50 °C)	$l/(mol \cdot min)$
$k_3$	0.215 (50 °C)	$l/(mol \cdot min)$
$k_4$	1.228 (50 °C)	$l/(mol \cdot min)$
$k_5$	0.242 (50 °C)	$l/(mol \cdot min)$
$k_6$	0.007 (50 °C)	$l/(mol \cdot min)$
$k_{01}$	3.8888e+007	$dm^3 / mol \cdot min$
$k_{02}$	5.7421e+005	$dm^3 / mol \cdot min$
$k_{03}$	5.8221e+012	$dm^3 / mol \cdot min$
$k_{04}$	9.7844e+009	$dm^3 / mol \cdot min$
$k_{05}$	5.3305e+003	$dm^3 / mol \cdot min$
$k_{06}$	2.1385e+004	$dm^3 / mol \cdot min$
$E_1$	13145	$cal / mol$
$E_2$	9932	$cal / mol$
$E_3$	19860	$cal / mol$
$E_4$	14639	$cal / mol$
$E_5$	6421	$cal / mol$
$E_6$	9588	$cal / mol$

ค่า  $k_{0i}$  ใช้ Arrhenius equation ในการคำนวณ โดยใช้  $k_i$  และ  $E_i$  ใน Noureddini, H. และ D. Zhu, 1997 ซึ่งกำหนดค่า  $k_i$  ที่อุณหภูมิ 50 °C

ตัวอย่างการคำนวณค่า  $k_{0i}$  เช่น  $k_{01}$  จาก Arrhenius equation สมการที่ (31) จัดรูปสมการใหม่เป็น

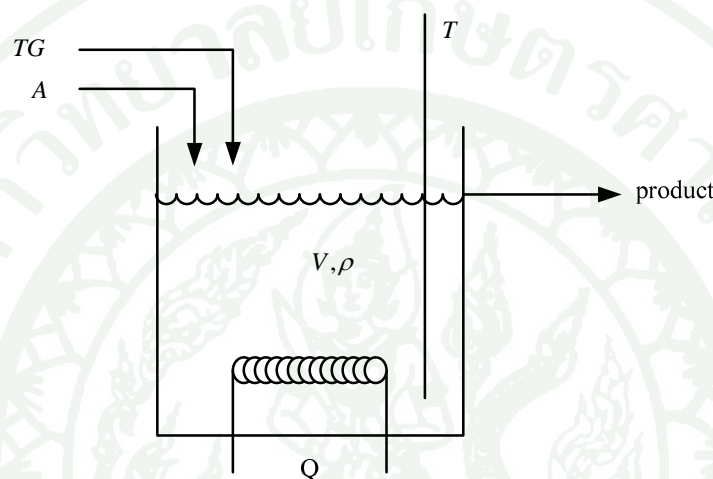
$$k_{01} = k_1 / e^{-E_1/RT} \quad (32)$$

แทนค่า  $k_1=0.05$   $E_1=13145$   $R=1.987$  และ  $T=323.15$  (50 °C) จะได้

$$k_{01} = 3.8888 \times 10^7 \quad (33)$$

เราสามารถคำนวณค่า  $k_{0i}$  ค่าอื่น โดยวิธีเดียวกัน

## 2. แบบจำลองพลวัตของถังปฏิกิริยาแบบต่อเนื่องในกระบวนการผลิตไบโอดีเซล



ภาพที่ 11 ถังปฏิกิริยาแบบต่อเนื่องในกระบวนการผลิตไบโอดีเซล

จากภาพที่ 11 เราเริ่มต้นการหาแบบจำลองพลวัตของถังปฏิกิริยาขึ้นกับสมมติฐานดังนี้

1. ถังปฏิกิริยา (CSTR) ทำปฏิกิริยากันอย่างสมบูรณ์
2. ความหนาแน่นเชิงมวล (mass density,  $\rho$ ) ของสารตั้งต้นที่ไหลเข้า และผลิตภัณฑ์ที่ไหลออกเท่ากัน และคงที่
3. ปริมาตรของเหลว (liquid volume,  $V$ ) ในถังปฏิกิริยาอนุรักษากำลังที่โดย overflow line

สำหรับสมมติฐานนี้ และกฎการอนุรักษ์ของมวล (Conservation of Mass) จะได้การดูดมวล (unsteady-state mass balance) สำหรับถังปฏิกิริยาคือ

$$\frac{d(\rho V)}{dt} = \rho q_{TG_i} + \rho q_{Ai} - \rho q_o \quad (34)$$

เมื่อ  $q_{TG_i}$  และ  $q_{Ai}$  คือ อัตราการไหลเข้าเชิงปริมาตรของ TG และ A ตามลำดับ  $q_o$  คือ อัตราการไหลออกเชิงปริมาตร เพราะว่า  $V$  และ  $\rho$  คงที่ สมการที่(34) ลดรูปเหลือ

$$q_o = q_{TG_i} + q_{Ai} \quad (35)$$

ดังนั้น แม้ว่าอัตราการไหลเข้า และอัตราการไหลออกอาจเปลี่ยนแปลง เนื่องจากเงื่อนไขของ upstream หรือ downstream แต่สมการที่(35) ต้องเป็นจริงตลอดเวลา

สำหรับสมมติฐานนี้ และกฎการอนุรักษ์ของสารประกอบ i (Conservation of Component i) การดูดส่วนประกอบของสารต่างๆ (unsteady-state component balances) สำหรับสาร TG, DG, MG, E, A และ GL (ในหน่วย molar) คือ

$$\begin{aligned} V \frac{d[TG]}{dt} &= q_{TG_i}[TG]_i - q_o[TG] + Vr_{TG} \\ V \frac{d[DG]}{dt} &= -q_o[DG] + Vr_{DG} \\ V \frac{d[MG]}{dt} &= -q_o[MG] + Vr_{MG} \\ V \frac{d[E]}{dt} &= -q_o[E] + Vr_E \\ V \frac{d[A]}{dt} &= q_{Ai}[A]_i - q_o[A] + Vr_A \\ V \frac{d,GL}{dt} &= -q_o[GL] + Vr_{GL} \end{aligned} \quad (36)$$

การดูดสมการนี้เป็นไปตามการดูดส่วนประกอบของสารต่างๆ เมื่อ  $[x_i]$  คือความเข้มข้นของสาร ขาเข้า,  $[x]$  คือความเข้มข้นของสาร  $x$  ในถัง และ  $r_x$  คือ อัตราการเกิดของสาร  $x$  (rate of reaction of x) ซึ่งเป็นฟังก์ชันของอัตราค่าคงที่และความเข้มข้นของสารตามสมการที่ (36)

ดัดไป เรายังสามารถดูดพลังงาน (unsteady-state energy balance) สำหรับถังปฏิกิริยา และสร้างสมมติฐานเพิ่มเติม

4. การเปลี่ยนแปลงเอนทอลปี (enthalpy) ที่เกี่ยวกับการผสมของสารไหลเข้ากับของเหลวในถังมีค่าน้อยเมื่อเทียบกับการเปลี่ยนแปลงเอนทอลปีสำหรับการเปลี่ยนแปลงปฏิกิริยาเคมี หรือความร้อนของการผสมมีค่าน้อยเมื่อเทียบกับความร้อนของปฏิกิริยาเคมี

5. งานอื่นๆ (shaft work) และการสูญเสียความร้อน (heat losses) สูญเสียความร้อนของเครื่องจักรที่ไม่ต้องการ

ตามรูปแบบของกฎการอนุรักษ์ของพลังงาน (Conservation of Energy) และสมมติฐาน  
1 ถึง 5 จะได้

$$V\rho C_p \frac{dT}{dt} = \dot{m}_{TG_i} C_{pTG} (T_{TG_i} - T) + \dot{m}_{Ai} C_{pA} (T_{Ai} - T) - \dot{m}_o C_{po} (T - T_o) + Q_{Rx} + Q \quad (37)$$

เมื่อ  $C_p$ ,  $C_{pTG}$ ,  $C_{pA}$  และ  $C_{po}$  คือ ความจุความร้อนของสารในถังปฏิกิริย TG, A และ สารขาออกตามลำดับ  $\dot{m}_{TG_i}$  และ  $\dot{m}_{Ai}$  คือ อัตราการไหลเข้าเชิงมวลของ TG, A ตามลำดับ  $\dot{m}_o$  คือ อัตราการไหลออกเชิงมวล  $T$  คือ อุณหภูมิในถังปฏิกิริย TG<sub>i</sub> คือ อุณหภูมิของ TG ขาเข้า  $T_{Ai}$  คือ อุณหภูมิของ A ขาเข้า  $T_o$  คือ อุณหภูมิของขาออก  $Q_{Rx}$  คือ กำลังงานความร้อนที่เกิดจากปฏิกิริยา และ  $Q$  คือ กำลังงานความร้อนที่ป้อนสู่ระบบ

จากสมการที่ (35)- (37) เราสามารถจัดแบบจำลองพลวัตของถังปฏิกิริยแบบต่อเนื่องในกระบวนการผลิตไปโดยใช้ให้อยู่ในรูปของสมการสถานะ (state equation) ได้ดังนี้

$$\begin{aligned} \dot{x}_1 &= (q_{TG_i}x_1 - q_o x_1 + Vr_{TG})/V \\ \dot{x}_2 &= (-q_o x_2 + Vr_{DG})/V \\ \dot{x}_3 &= (-q_o x_3 + Vr_{MG})/V \\ \dot{x}_4 &= (-q_o x_4 + Vr_E)/V \\ \dot{x}_5 &= (q_{Ai}x_5 - q_o x_1 + Vr_A)/V \\ \dot{x}_6 &= (-q_o x_6 + Vr_{GL})/V \\ \dot{x}_7 &= (\dot{m}_{TG_i}C_{pTG}(T_{TG_i} - x_7) + \dot{m}_{Ai}C_{pA}(T_{Ai} - x_7) \\ &\quad - \dot{m}_o C_{po}(x_7 - T_o) + Q_{Rx} + u)/V\rho C_p \end{aligned} \quad (38)$$

โดยค่าตัวแปรต่างๆ ถูกแสดงไว้ในตารางที่ 2

ตารางที่ 2 ค่าตัวแปรที่ใช้ในแบบจำลองพลวัตของถังปฏิกรณ์แบบต่อเนื่องในกระบวนการผลิต  
ไบโอดีเซล (J.M.N van Kasteren and A.P. Nisworo, 2006)

ตัวแปร	ค่า	หน่วย
$\rho$	0.878	kg / l
$V$	200	l
$q_{TG_i}$	5	l / min
$q_{Ai}$	5	l / min
$q_o$	10	l / min
$\dot{m}_{TG_i}$	4.39	kg / min
$\dot{m}_{Ai}$	4.39	kg / min
$\dot{m}_o$	8.78	kg / min
$\Delta H_{Rx}$	0.3585	cal / mol
$Q_{Rx}$	202.194	cal / min
$T_{TG_i}$	303.15	K
$T_{Ai}$	303.15	K
$T_o$	303.15	K
$C_p$	113.3983	cal / (l · K)
$C_{pTG}$	397.935	cal / (l · K)
$C_{pA}$	19.0005	cal / (l · K)
$C_{po}$	113.3983	cal / (l · K)
$R$	1.987	cal / (mol · K)

Heat of reaction (slightly endothermic),  $Q_{Rx}$ , มีค่าเท่ากับ  $0.032 \text{ kJ / s}$  สำหรับปริมาตร  $0.4555 \text{ m}^3$  (J.M.N van Kasteren and A.P. Nisworo, 2006) สำหรับระบบที่เราออกแบบมีปริมาตรเท่ากับ  $0.2 \text{ m}^3$  ( $200 \text{ l}$ ) ทำการเทียบสัดส่วนจะได้  $Q_{Rx}$  มีค่าเท่ากับ  $0.0141 \text{ kJ / s}$  ต่อมาแปลงหน่วยเพื่อใช้กับระบบที่เราออกแบบมีค่าเท่ากับ  $202.194 \text{ cal / min}$

การคำนวณค่า  $\Delta H_{Rx}$  เราทราบค่าความจุการออกแบบเท่ากับ 80000 tonnes / year (J.M.N van Kasteren and A.P. Nisworo, 2006) Molecular weight ของไบโอดีเซลมีค่าเท่ากับ 270.45 g / mol แปลงหน่วยค่าความจุการออกแบบ

$$\frac{80000 \text{ tonnes}}{1 \text{ year}} = \frac{80000 \times 10^6 \text{ g}}{365 \times 24 \times 60 \times 60 \text{ s}} = \frac{(80000 \times 10^6) / 270.45 \text{ mol}}{365 \times 24 \times 60 \times 60 \text{ s}} = 9.3799 \frac{\text{mol}}{\text{s}}$$

จาก  $Q_{Rx}$  มีค่าเท่ากับ 0.032 kJ / s เราสามารถหา

$$\Delta H_{Rx} = 0.032 \frac{\text{kJ}}{\text{s}} \cdot \frac{1}{9.3799 \text{ mol}} \frac{\text{s}}{\text{mol}} = 0.0034 \frac{\text{kJ}}{\text{mol}}$$

ต่อมาแปลงหน่วยเพื่อใช้กับระบบที่เรารอกรูปแบบมีค่าเท่ากับ 0.3585 cal / mol

### 3. ศึกษา ปัญหาที่ศึกษา

จากระบบไม่เชิงเส้น (Nonlinear System)

$$\dot{x} = f(x, u)$$

$$y = h(x, u)$$

กำหนดตัวแปรสเตต ตัวแปรอินพุต และตัวแปรเอาท์พุต คือ

$$x = ([TG], [DG], [MG], [E], [A], [GL], T)$$

$$u = Q$$

$$y = [E]$$

แบบจำลองพลวัตของถังปฏิกรณ์แบบต่อเนื่องในกระบวนการผลิตใบโซเดียมอลูมิเนียมในรูปของสมการสถานะ (state equation) ได้ดังนี้

$$\begin{aligned}\dot{x}_1 &= (q_{TG}x_1 - q_o x_1 + Vr_{TG})/V \\ \dot{x}_2 &= (-q_o x_2 + Vr_{DG})/V \\ \dot{x}_3 &= (-q_o x_3 + Vr_{MG})/V \\ \dot{x}_4 &= (-q_o x_4 + Vr_E)/V \\ \dot{x}_5 &= (q_{Ai}x_5 - q_o x_1 + Vr_A)/V \\ \dot{x}_6 &= (-q_o x_6 + Vr_{GL})/V \\ \dot{x}_7 &= (\dot{m}_{TG}C_{pTG}(T_{TG} - x_7) + \dot{m}_{Ai}C_{pA}(T_{Ai} - x_7) \\ &\quad - \dot{m}_o C_{po}(x_7 - T_o) + Q_{Rx} + u)/V\rho C_p\end{aligned}$$

โดยกำหนด Initial conditions คือ

$$x_1(0) = 2 \text{ mol/l} ; [TG]$$

$$x_2(0) = 0 \text{ mol/l} ; [DG]$$

$$x_3(0) = 0 \text{ mol/l} ; [MG]$$

$$x_4(0) = 0 \text{ mol/l} ; [E]$$

$$x_5(0) = 12 \text{ mol/l} ; [A]$$

$$x_6(0) = 0 \text{ mol/l} ; [GL]$$

$$x_7(0) = 303.15 \text{ K} ; T$$

$$u = Q \text{ cal/min}$$

$$y = x_4 \text{ mol/l}$$

ปัญหาที่ศึกษาคือ

$$\min J = t_f$$

โดยมีเงื่อนไขดังนี้:

$$x_4(t_f) = 2.29 \text{ mol/l}$$

$$x_7(t_f) = 333.15 \text{ K}$$

$$0 \leq u(t) \leq 128976.7841 \text{ cal/min (9000W)}$$

นั้นก็คือเราต้องการลดเวลาที่จุดสุดท้ายหรือเวลาที่ความเข้มข้นเข้าสู่สภาวะคงตัว โดยมีเงื่อนไขตามที่กำหนด

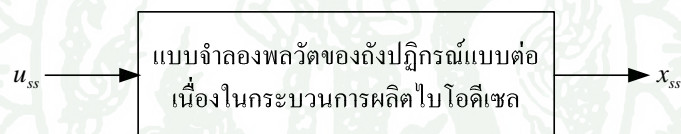
#### 4. เลือกจุดทำงานสำหรับถังปฏิกิริณ์แบบต่อเนื่องในกระบวนการผลิตไบโอดีเซล

ขั้นตอนนี้จะอธิบายถึงการเลือกจุดทำงานสำหรับถังปฏิกิริณ์แบบต่อเนื่องในกระบวนการผลิตไบโอดีเซล โดยมีรายละเอียดดังนี้

พิจารณาแบบจำลองพลวัตของถังปฏิกิริณ์แบบต่อเนื่องในกระบวนการผลิตไบโอดีเซลตามสมการที่ (38) ให้อยู่ในรูปของ

$$\begin{aligned}\dot{x} &= f(x, u) \\ y &= h(x, u)\end{aligned}$$

ทดลองป้อนค่า  $u$  เพื่อให้ได้อุณหภูมิที่  $333.15 K$  ( $60^{\circ}C$ ) ซึ่งเป็นอุณหภูมิที่เหมาะสมในการเกิดปฏิกิริยา (Darnoko, D., Munir Cheryan. 2000.) ตามภาพที่ 12



ภาพที่ 12 การเลือกจุดทำงานสำหรับถังปฏิกิริณ์แบบต่อเนื่องในกระบวนการผลิตไบโอดีเซล

ซึ่งค่า  $u$  ที่  $84985 \text{ cal/min}$  ( $5.9303 \text{ KW}$ ) จะให้ค่า  $x$ , ( $T$ ) เพื่อกับ  $333.15 K$  ( $60^{\circ}C$ ) ด้วยเหตุนี้ เราจึงเลือกจุดทำงานที่

$$u_{ss} = 84985$$

$$x_{ss} = \begin{bmatrix} 0.2162 \\ 0.1051 \\ 0.03682 \\ 2.104 \\ 3.896 \\ 0.6419 \\ 333.15 \end{bmatrix}$$

ซึ่งเป็นไปตามเงื่อนไข

$$0 = \dot{x}_{ss} = f(x_{ss}, u_{ss})$$

$$0 = \dot{y}_{ss} = h(x_{ss})$$

## 5. Linearization ของแบบจำลองไม่เชิงเส้น (nonlinear model)

Linearization คือ การประมาณแบบจำลองไม่เชิงเส้น (nonlinear model) ให้เป็นแบบจำลองเชิงเส้น (linear model) ที่จุดทำงานจุดหนึ่ง เพื่อวิเคราะห์แบบจำลองไม่เชิงเส้น (nonlinear model) เป็นแบบจำลองเชิงเส้น (linear model) ณ จุดทำงานนั้นได้ สมมติว่าแบบจำลองพลวัตไม่เชิงเส้นเป็น

$$\dot{x} = f(x, u)$$

เมื่อ  $x$  เป็นสถานะ (state) และ  $u$  เป็น input การประมาณเชิงเส้นของสมการนี้สามารถถูกได้มาโดยการใช้ taylor series expansion และการตัดพจน์หลังพจน์อันดับแรก (first-order term) ออก จุดอ้างอิงสำหรับ linearization คือ จุดทำงาน steady-state ปกติ ( $x_{ss}, u_{ss}$ )

$$f(x, u) \approx f(x_{ss}, u_{ss}) + \frac{\partial f}{\partial x}\Big|_{x_{ss}, u_{ss}} (x - x_{ss}) + \frac{\partial f}{\partial u}\Big|_{x_{ss}, u_{ss}} (u - u_{ss})$$

โดยการนิยาม เส้นใน steady-state  $f(x_{ss}, u_{ss}) = 0$  นอกจากนี้ตัวแปรเบี่ยงเบน (deviation variable) (จาก steady state) เป็นผลจากธรรมชาติของ taylor series expansion กล่าวคือ  $\delta x = x - x_{ss}$  และ  $\delta u = u - u_{ss}$  ดังนั้น linearized differential equation ในพจน์ของ  $\delta x$  และ  $\delta u$  คือ (หลังจากแทนค่า  $\dot{x}_{\delta} = \dot{x}$ )

$$\ddot{\delta x} = \frac{\partial f}{\partial x}\Big|_{x_{ss}, u_{ss}} \delta x + \frac{\partial f}{\partial u}\Big|_{x_{ss}, u_{ss}} \delta u$$

$$\ddot{\delta x} = A \delta x + B \delta u$$

$$\text{เมื่อ } A = \frac{\partial f}{\partial x}\Big|_{x_{ss}, u_{ss}} \text{ และ } B = \frac{\partial f}{\partial u}\Big|_{x_{ss}, u_{ss}}$$

ทำนองเดียวกัน

$$\delta \dot{y} = \frac{\partial h}{\partial x} \Big|_{x_{ss}, u_{ss}} \delta x + \frac{\partial h}{\partial u} \Big|_{x_{ss}, u_{ss}} \delta u$$

$$\delta \dot{y} = C \delta x + D \delta u$$

เมื่อ  $C = \frac{\partial h}{\partial x} \Big|_{x_{ss}, u_{ss}}$ ,  $D = \frac{\partial h}{\partial u} \Big|_{x_{ss}, u_{ss}}$  และ  $\delta y = y - y_{ss}$

**Linearization** สำหรับถังปฏิกรณ์แบบต่อเนื่องในกระบวนการผลิตในโอดีเซล

เราสามารถทำการ Linearization ได้ดังนี้

$$\delta \dot{x} = A \delta x + B \delta u$$

$$\delta \dot{y} = C \delta x + D \delta u$$

เมื่อ

$$A = \begin{bmatrix} -0.4101 & 0.3682 & 0 & 0.0184 & -0.0200 & 0 & -0.0029 \\ 0.3601 & -2.5378 & 5.1221 & 0.0712 & -0.0372 & 0 & -0.0046 \\ 0 & 2.1196 & -6.4450 & -0.0826 & 0.0451 & 0.0231 & 0.0068 \\ 0.3601 & 1.7514 & -3.8492 & -0.1651 & 0.0892 & -0.0231 & 0.0112 \\ -0.3601 & -1.7514 & 3.8492 & 0.1151 & -0.1392 & 0.0231 & -0.0112 \\ 0 & 0 & 1.2729 & -0.0070 & 0.0120 & -0.0731 & 0.0007 \\ 0 & 0 & 0 & 0 & 0 & 0 & -0.1419 \end{bmatrix}$$

$$B = \begin{bmatrix} 0 \\ 0 \\ 0 \\ 0 \\ 0 \\ 0 \\ 5.0219 \times 10^5 \end{bmatrix}$$

$$C = [0 \ 0 \ 0 \ 0 \ 0 \ 0 \ 1]$$

$$D = [0]$$

## ผลและวิจารณ์

### ผล

งานวิทยานิพนธ์นี้ออกแบบการทดลองเป็น 5 การทดลองหลัก ดังนี้

#### **การทดลองโดยการจำลอง (Simulation)**

1. ตัวควบคุมพีไอโดยใช้วิธี Pole placement
  - 1.1. ตัวควบคุมพีไอโดยใช้วิธี Pole placement
  - 1.2. ตัวควบคุมพีไอโดยใช้วิธี Pole placement with Input Saturation
2. ตัวควบคุมพีไอโดยใช้วิธี Particle Swarm Optimization (cost function = IAE)
  - 2.1. ตัวควบคุมพีไอโดยใช้วิธี Particle Swarm Optimization
  - 2.2. ตัวควบคุมพีไอโดยใช้วิธี Particle Swarm Optimization with Input Saturation
3. ตัวควบคุมพีไอโดยใช้วิธี Particle Swarm Optimization  
(cost function =  $tf \rightarrow \text{ทำให้ } x(4) = 2.104$ )
  - 3.1. ตัวควบคุมพีไอโดยใช้วิธี Particle Swarm Optimization
  - 3.2. ตัวควบคุมพีไอโดยใช้วิธี Particle Swarm Optimization with Input Saturation
4. ตัวควบคุมเหมาะสมที่สุด with Input Saturation (cost function =  $tf \rightarrow \text{ทำให้ } x(4) = 2.104$ )
5. ตัวควบคุมเหมาะสมที่สุด with Input Saturation (cost function =  $tf \rightarrow \text{ทำให้ } x(4) = 2.104, x(7) = 333.15$ )

#### **การทดลองโดยการประยุกต์ใช้ (Implementation)**

- 1 FieldPoint and HMI โดยใช้การทดลองที่ 5

โดยมีรายละเอียดต่างๆดังนี้

## การทดลองที่ 1 ตัวควบคุมพีไอโดยใช้วิธี Pole placement

การทดลองที่ 1 ใช้ตัวควบคุมแบบพีไอที่ออกแบบโดยใช้วิธี Pole placement ควบคุมความเข้มข้นของไบโอดีเซล ( $[E]$ ) ในถังปฏิกิริยแบบต่อเนื่องให้ได้ที่  $2.104 \text{ mol/l}$  ที่อุณหภูมิ  $333.15 \text{ K}$  โดยแบ่งเป็นขั้นตอน ดังนี้

### 1.1. ตัวควบคุมพีไอโดยใช้วิธี Pole placement

พิจารณาระบบ

$$\dot{x} = f(x, u)$$

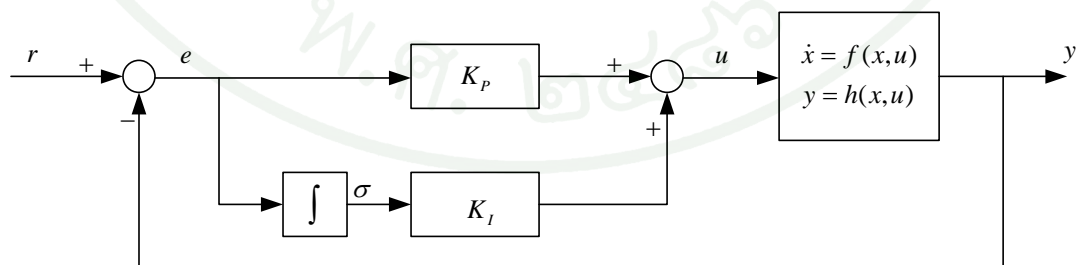
$$y = h(x, u)$$

เมื่อ  $x \in R^n$  คือ สถานะ (state),  $u \in R^p$  คือ control input,  $y \in R^p$  คือ controlled output, ฟังก์ชัน  $f$ ,  $h$  หากันพันธ์ได้อย่างต่อเนื่องใน  $(x, u)$  ในโดเมน  $D_x \times D_u \subset R^n \times R^p$  ให้  $r \in D_r \subset R^p$  เป็นค่าอ้างอิงคงที่

เราต้องการออกแบบตัวควบคุมแบบป้อนกลับซึ่ง

$$y(t) \rightarrow r \quad \text{as} \quad t \rightarrow \infty$$

กำหนดให้  $e = r - y$



ภาพที่ 13 การควบคุมชนิดพีไอ

จากภาพที่ 13 การควบคุมชนิดพีไอ กำหนดให้

$$u = K_p(r - y) + K_I \sigma$$

โดย  $K_p, K_I$  คือ อัตราการขยายพี และ อัตราการขยายไอ ตามลำดับ จากนั้นกำหนดให้

$$\xi = \begin{pmatrix} x \\ \sigma \end{pmatrix}$$

ซึ่งสามารถเขียนในรูปของระบบบ่วงปิด

$$\dot{\xi} = \begin{pmatrix} \dot{x} \\ \dot{\sigma} \end{pmatrix} = \begin{pmatrix} f(x, K_p(r - y) + K_I \sigma) \\ r - y \end{pmatrix} \equiv \bar{f}(\xi, r)$$

$$y = h(x, K_p(r - y)) \equiv \bar{h}(\xi, r)$$

ทำ linearization ของระบบบ่วงปิดจะได้

$$\delta \dot{\xi} = \frac{\partial \bar{f}(\xi, r)}{\partial \xi} \Bigg|_{\xi=\xi_{ss}, r=r_{ss}} \delta \xi + \frac{\partial \bar{f}(\xi, r)}{\partial r} \Bigg|_{\xi=\xi_{ss}, r=r_{ss}} \delta r$$

เมื่อ

$$\delta \xi = \xi - \xi_{ss}, \quad \bar{A} = \frac{\partial \bar{f}(\xi, r)}{\partial \xi} \Bigg|_{\xi=\xi_{ss}, r=r_{ss}}, \quad \bar{B} = \frac{\partial \bar{f}(\xi, r)}{\partial r} \Bigg|_{\xi=\xi_{ss}, r=r_{ss}}$$

จากนั้นหาค่า  $K_p, K_I$  ที่ทำให้  $\bar{A}$  มีเสถียรภาพ

ตามขั้นตอนจะได้ค่า  $K_P$ ,  $K_I$  ที่ทำให้  $\bar{A}$  มีเสถียรภาพ คือ

$$K_P = 1.0623 \times 10^5$$

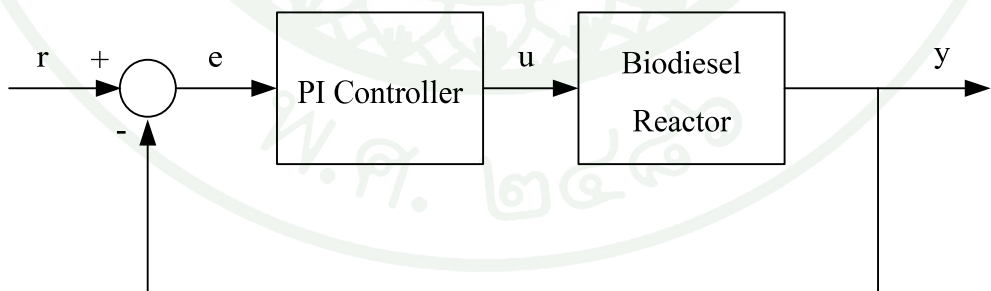
$$K_I = 2.1246 \times 10^4$$

โดยค่าลักษณะเฉพาะ (eigenvalue) ของระบบวงปิด ( $\bar{A}$ ) มีค่าดังนี้

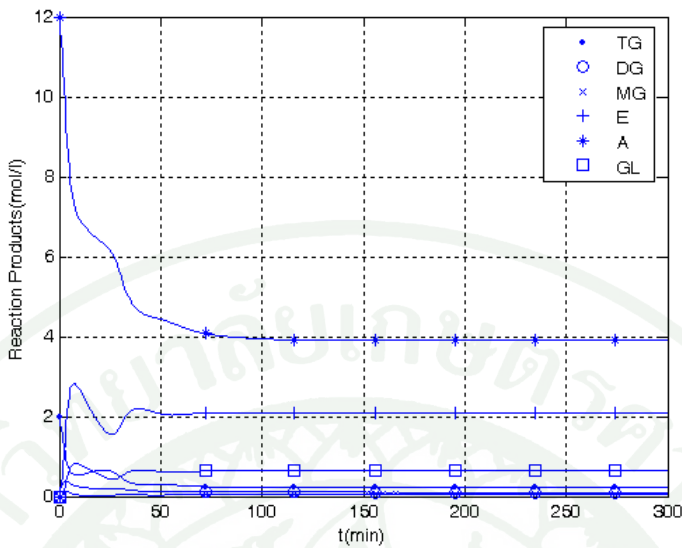
$$eig(\bar{A}) = \begin{bmatrix} 0 \\ -8.4118 \\ -0.8802 \\ -0.3283 \\ -0.0500 \\ -0.0500 \\ -0.0500 \\ -0.1419 \end{bmatrix}$$

ซึ่งอยู่ในรูปแบบเปิดซ้ายมือ (open left-half plane) ทั้งหมด

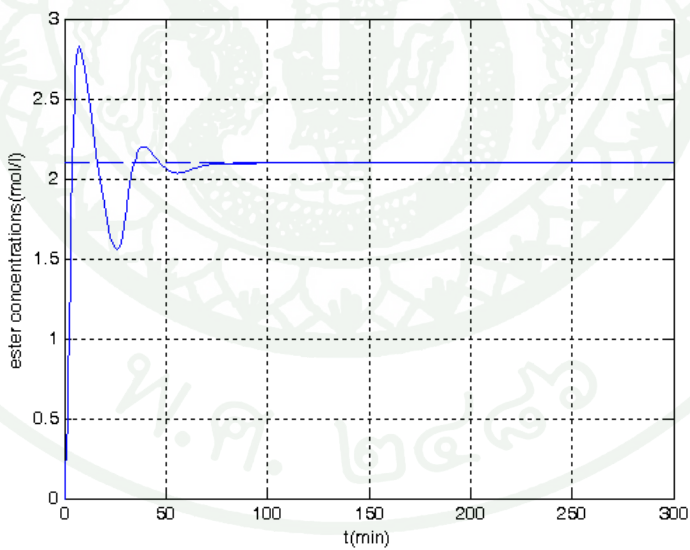
จากขั้นตอนทั้งหมดที่กล่าวมาสามารถควบคุมความเข้มข้นของไบโอดiesel ([E]) ในถังปฏิกิริย์แบบต่อเนื่องให้ได้ที่  $2.104 \text{ mol/l}$  ตามภาพที่ 14 โดยค่า  $K_P = 1.0623 \times 10^5$  และ  $K_I = 2.1246 \times 10^4$  ได้ผลการทดลองตามภาพ และตารางด้านล่าง



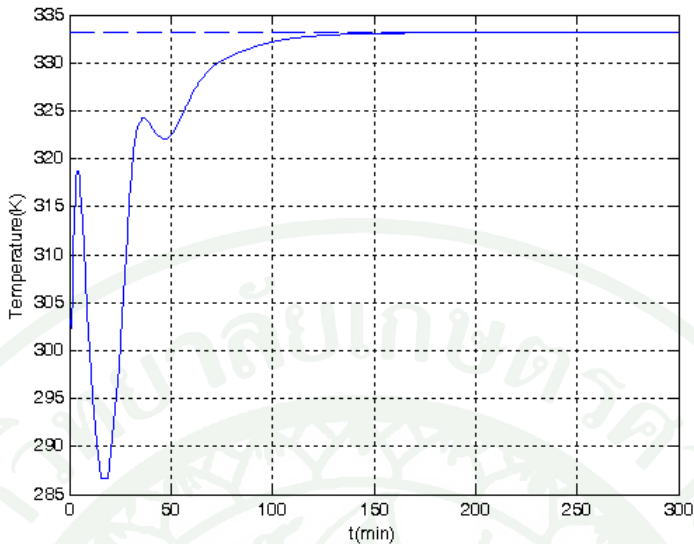
ภาพที่ 14 การทดลองที่ 1.1 ตัวควบคุมแบบพิโอดิตรัง



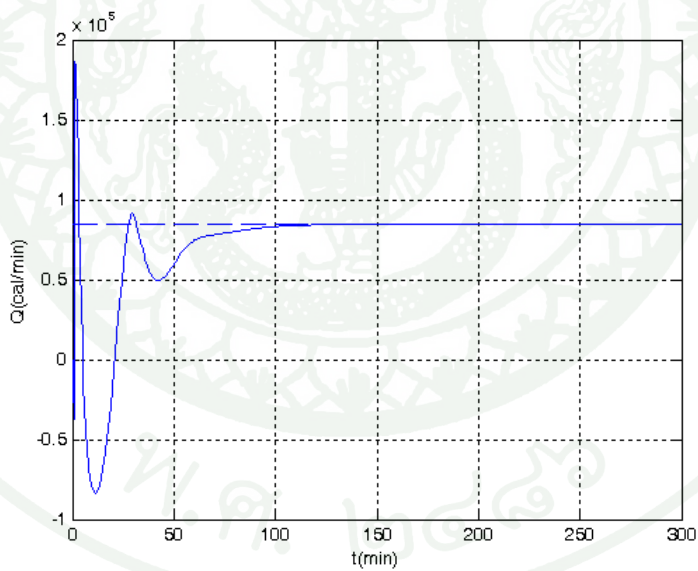
ภาพที่ 15 ความเข้มข้นของสารต่างๆ ในถังปฏิกรณ์ของการทดลองที่ 1.1 ตัวควบคุมแบบพีไอโอดิกตรง



ภาพที่ 16 ความเข้มข้นของไบโอดีเซล ( $[E]$ ) ในถังปฏิกรณ์ของการทดลองที่ 1.1 ตัวควบคุมแบบพีไอโอดิกตรง



ภาพที่ 17 อุณหภูมิในถังปฏิกิริย์ของการทดลองที่ 1.1 ตัวควบคุมแบบพีไอโดยตรง



ภาพที่ 18 กำลังงานความร้อนที่ป้อนให้ถังปฏิกิริย์ ( $Q$ ) ของการทดลองที่ 1.1 ตัวควบคุมแบบพีไอโดยตรง

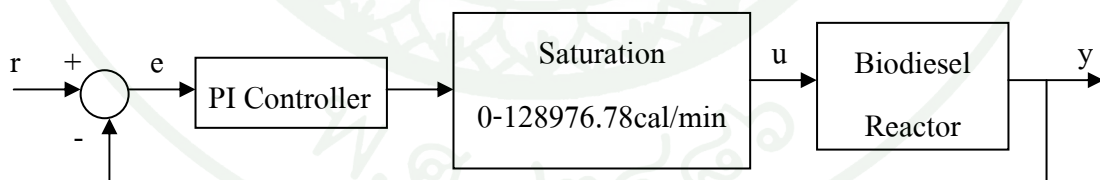
ตารางที่ 3 ค่าที่อ่านได้จากการทดลองที่ 1.1 ตัวควบคุมแบบพีไอโดยตรง

	Peak time (min)	ค่าที่ Peak time	Settling time (min)	ค่าที่ Settling time
$[E] \text{ (mol/l)}$	7.254	2.825	46.51	2.107
$T \text{ (K)}$	149.1	333.2	49.84	322.4
$Q \text{ (cal/min)}$	1	$1.865 \times 10^5$	56.2	$7.609 \times 10^4$

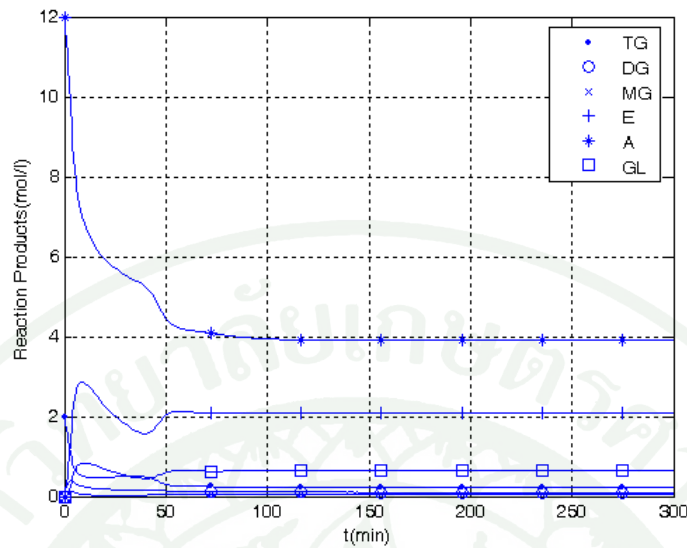
เนื่องจาก การทดลองที่ 1.1 เกิดปัญหาการป้อนกำลังงานความร้อน ( $Q$ ) ซึ่งมีค่าลบให้กับถังปฏิกรณ์ จึงเกิด การทดลองที่ 1.2 โดย

### 1.2 ตัวควบคุมพีไอโดยใช้วิธี Pole placement with Input Saturation

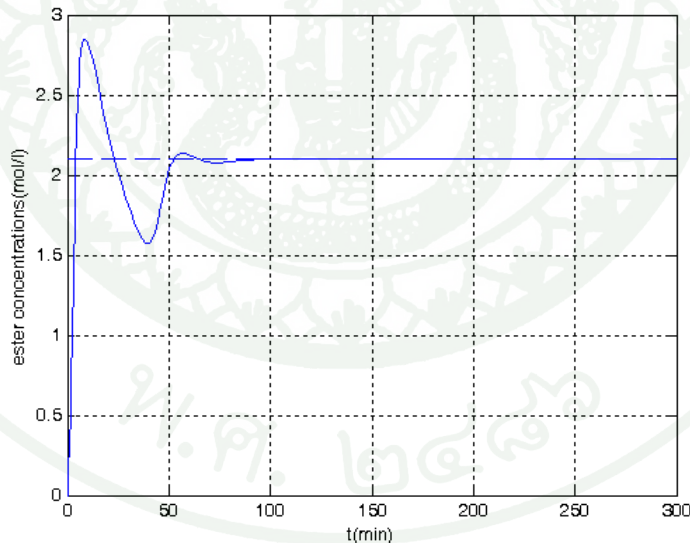
การทดลองที่ 1.2. ใช้ตัวควบคุมแบบพีไอที่ออกแบบได้ควบคุมความเร็วขั้นของไบโอดiesel ([E]) ในถังปฏิกรณ์แบบต่อเนื่องให้ได้ที่  $2.104 \text{ mol/l}$  เพิ่ม saturation block มีค่าตั้งแต่ 0 ถึง  $128976.7841 \text{ cal/min}$  (water heater 220V 9000W, บ.แสงชัยมิเตอร์) เพื่อป้องกันการป้อนค่ากำลังงานความร้อน ( $Q$ ) ซึ่งมีค่าลบให้กับถังปฏิกรณ์ตามภาพที่ 19 โดยค่า  $K_P = 1.0623 \times 10^5$  และ  $K_I = 2.1246 \times 10^4$  ได้ผลการทดลองตามภาพ และตารางด้านล่าง



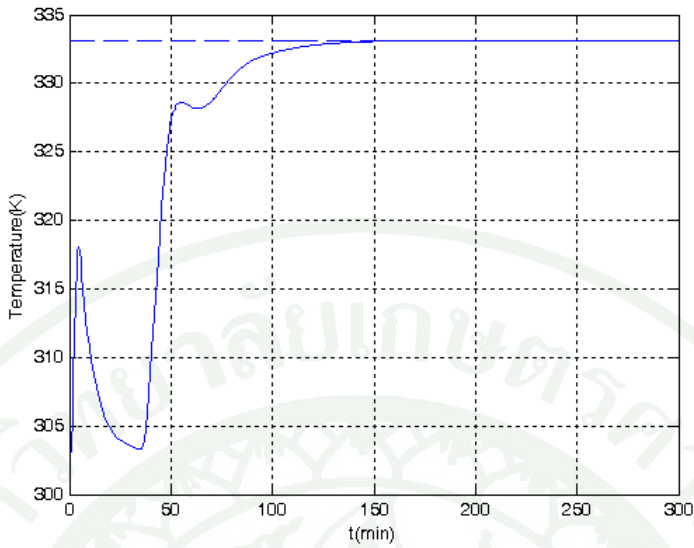
ภาพที่ 19 การทดลองที่ 1.2 ตัวควบคุมแบบพีไอแบบจำกัด  $u$  ค่าบวก



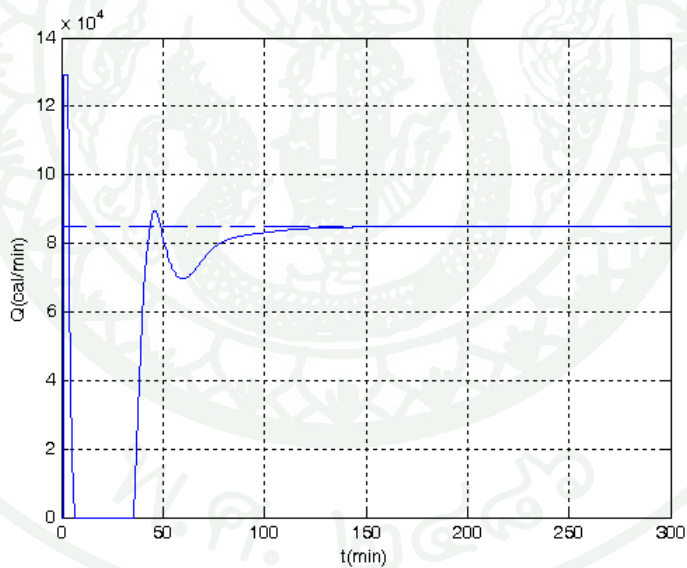
ภาพที่ 20 ความเข้มข้นของสารต่างๆ ในถังปฏิกรณ์ของการทดลองที่ 1.2 ตัวควบคุมแบบพีไอ แบบจำกัด  $n$  ค่าบวก



ภาพที่ 21 ความเข้มข้นของไบโอดีเซล ( $[E]$ ) ในถังปฏิกรณ์ของการทดลองที่ 1.2 ตัวควบคุม พีไอแบบจำกัด  $n$  ค่าบวก



ภาพที่ 22 อุณหภูมิในถังปฏิกิริยานของการทดลองที่ 1.2 ตัวควบคุมแบบพีไอแบบจำกัด  $n$  ค่าบวก



ภาพที่ 23 กำลังงานความร้อนที่ป้อนให้ถังปฏิกิริย (Q) ของการทดลองที่ 1.2 ตัวควบคุมแบบพีไอ แบบจำกัด  $n$  ค่าบวก

ตารางที่ 4 ค่าที่อ่านได้จากภาพการทดลองที่ 1.2 ตัวควบคุมแบบพีไอแบบจำกัด  $n$  ค่าบวก

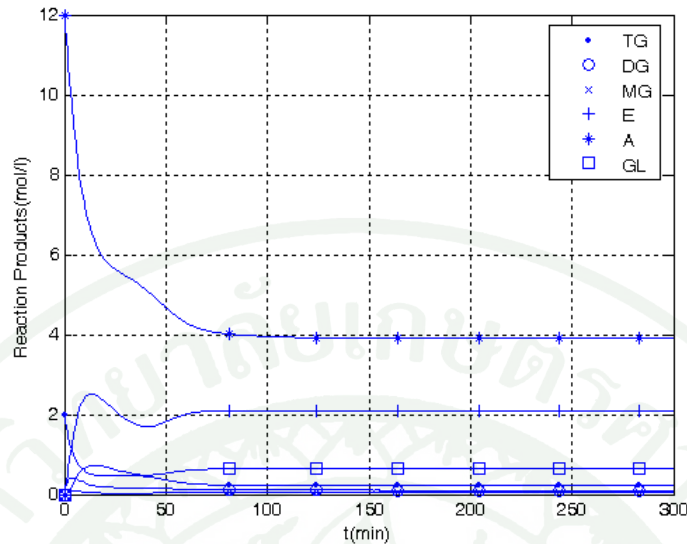
	Peak time (min)	ค่าที่ Peak time	Settling time (min)	ค่าที่ Settling time
$[E] \text{ (mol/l)}$	8.105	2.843	50.99	2.061
$T \text{ (K)}$	149	333.1	67.96	328.4
$Q \text{ (cal/min)}$	1	$1.289 \times 10^5$	111.7	$8.392 \times 10^4$

#### การทดลองที่ 2 ตัวควบคุมพีไอโดยใช้วิธี Particle Swarm Optimization (cost function = IAE)

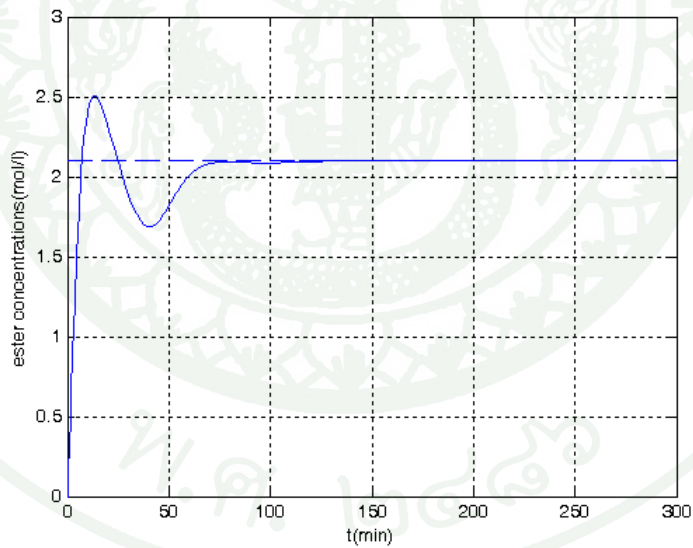
การทดลองที่ 2 ใช้ตัวควบคุมแบบพีไอที่ออกแบบโดยใช้วิธี Particle Swarm Optimization หาค่า  $K_P$  และค่า  $K_I$  ที่ดีที่สุดเพื่อควบคุมความเข้มข้นของไบโอดีเซล ( $[E]$ ) ในถังปฏิกรณ์แบบต่อเนื่องให้ได้ที่  $2.104 \text{ mol/l}$  โดยแบ่งเป็นขั้นตอน ดังนี้

#### 6. ตัวควบคุมพีไอโดยใช้วิธี Particle Swarm Optimization (PSO)

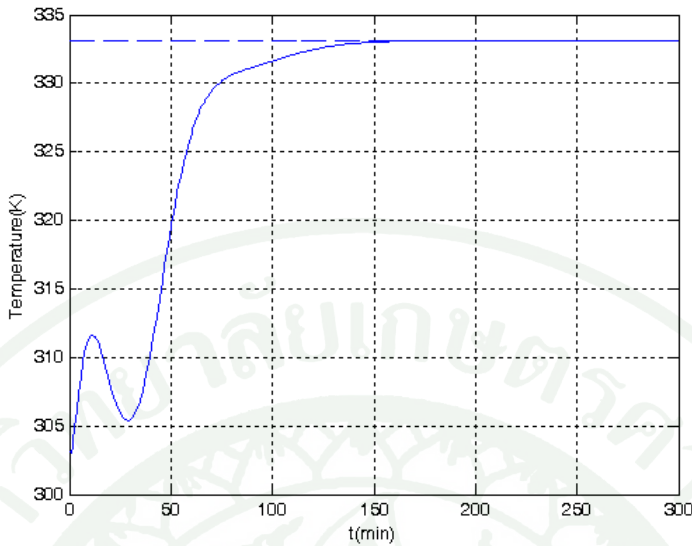
วิธี PSO จะเป็นวิธีที่สามารถหาค่า  $K_P$  และค่า  $K_I$  คิที่สุด ณ local optimization โดยจะได้ค่า  $K_P = 23492.1221$  และค่า  $K_I = 7168.1883$  ได้ผลการทดลองตามภาพ และตารางด้านล่าง



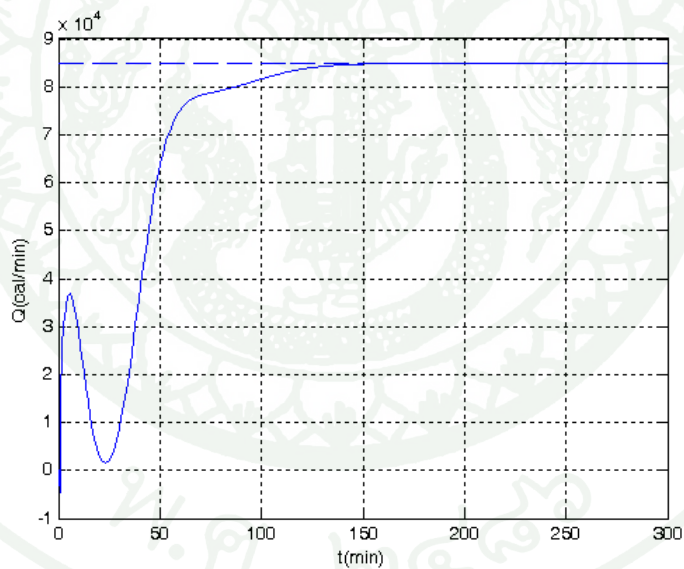
ภาพที่ 24 ความเข้มข้นของสารต่างๆ ในถังปฏิกรณ์ของการทดลองที่ 2.1 ตัวควบคุมแบบพีไอโดยใช้วิธี PSO



ภาพที่ 25 ความเข้มข้นของไบโอดีเซล ( $[E]$ ) ในถังปฏิกรณ์ของการทดลองที่ 2.1 ตัวควบคุมแบบพีไอโดยใช้วิธี PSO



ภาพที่ 26 อุณหภูมิในถังปฏิกรณ์ของการทดลองที่ 2.1 ตัวควบคุมแบบพีไอโดยใช้วิธี PSO



ภาพที่ 27 กำลังงานความร้อนที่ป้อนให้ถังปฏิกรณ์ของการทดลองที่ 2.1 ตัวควบคุมแบบพีไอโดยใช้วิธี PSO

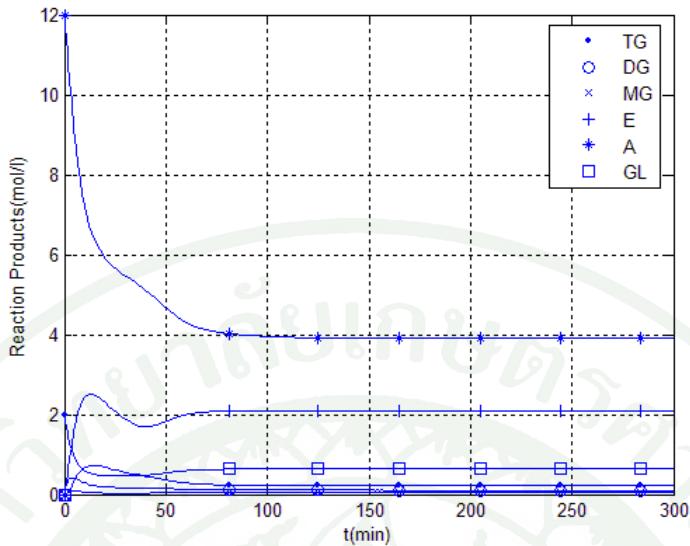
ตารางที่ 5 ค่าที่อ่านได้จากการทดลองที่ 2.1 ตัวควบคุมแบบพีไอโดยใช้วิธี PSO

	Peak time (min)	ค่าที่ Peak time	Settling time (min)	ค่าที่ Settling time
[E] (mol/l)	8.105	2.843	50.99	2.061
T (K)	149	333.1	67.96	328.4
Q (cal/min)	1	1.289 x 10 <sup>5</sup>	111.7	8.392 x 10 <sup>4</sup>

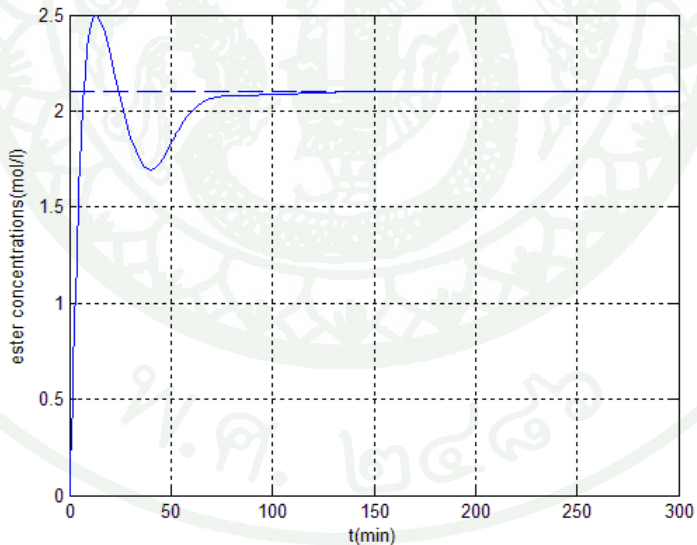
เนื่องจาก การทดลองที่ 2.1 เกิดปัญหาการป้อนกำลังงานความร้อน ( $Q$ ) ซึ่งมีค่าลบอยู่แล้วน้อยจึงเกิด การทดลองที่ 2.2 โดย

#### 6. ตัวควบคุมพีไอโดยใช้วิธี Particle Swarm Optimization with Input Saturation

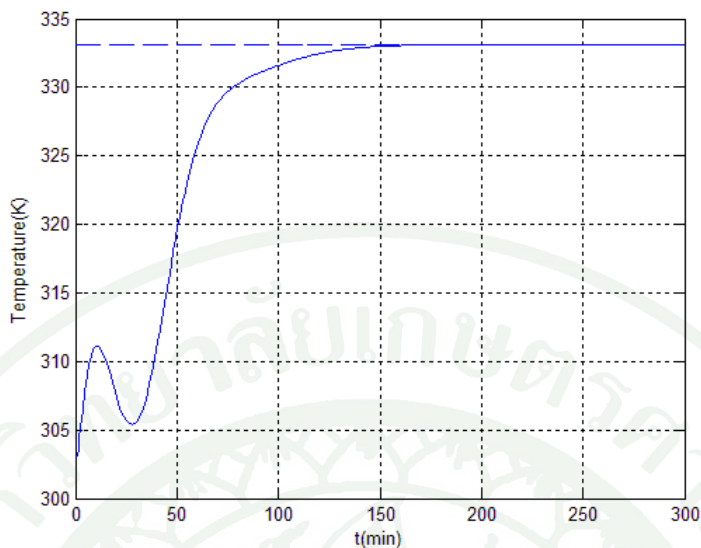
การทดลองที่ 2.2.ใช้ตัวควบคุมแบบพีไอโดยใช้วิธี PSO เพื่อควบคุมความเข้มข้นของไบโอดีเซล ([E]) ในถังปฏิกรณ์แบบต่อเนื่องให้ได้ที่ 2.104 mol/l โดยเพิ่ม saturation block มีค่าตั้งแต่ 0 ถึง 128976.7841 cal/min (water heater 220V 9000W, บ.แสงชัยมิเตอร์) เพื่อป้องกันการป้อนค่า กำลังงานความร้อน ( $Q$ ) ซึ่งมีค่าลบให้กับถังปฏิกรณ์ตามภาพที่ 19 โดยค่า KP =13492.1221 และ KI =7168.1883 ได้ผลการทดลองตามภาพ และตารางด้านล่าง



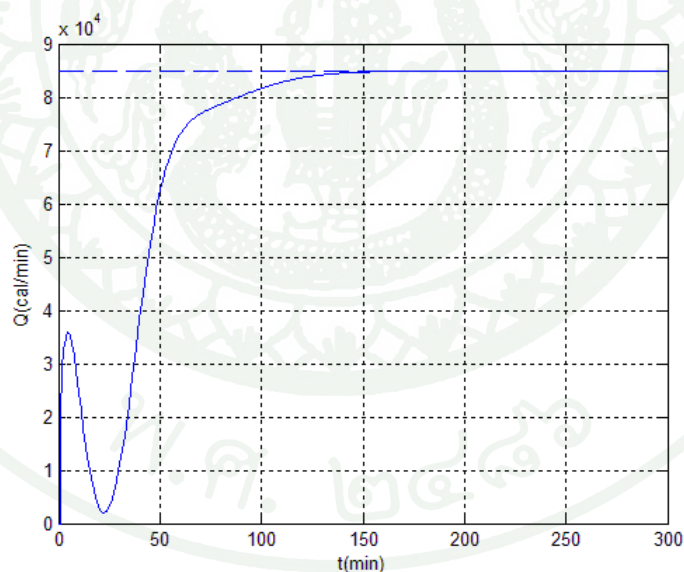
ภาพที่ 28 ความเข้มข้นของสารต่างๆ ในถังปฏิกรณ์ของการทดลองที่ 2.2 ตัวควบคุมแบบพีไอโด้โดยใช้วิธี PSO แบบจำกัด  $n$  ค่าบวก



ภาพที่ 29 ความเข้มข้นของไบโอดีเซล ( $[E]$ ) ในถังปฏิกรณ์ของการทดลองที่ 2.2 ตัวควบคุมแบบพีไอโด้โดยใช้วิธี PSO แบบจำกัด  $n$  ค่าบวก



ภาพที่ 30 อุณหภูมิในถังปฏิกรัณของการทดลองที่ 2.2 ตัวควบคุมแบบพีไอໂอดຍใช้ชีวี PSO  
แบบจำกัด  $n$  ค่าบวก



ภาพที่ 31 กำลังงานความร้อนที่ป้อนให้ถังปฏิกรัณ ( $Q$ ) ของการทดลองที่ 2.2 ตัวควบคุม  
แบบพีไอໂอดຍใช้ชีวี PSO แบบจำกัด  $n$  ค่าบวก

ตารางที่ 6 ค่าที่อ่านได้จากการทดลองที่ 2.2 ตัวควบคุมแบบพื้นโดยใช้วิธี PSO  
แบบจำกัด  $n$  ค่าบวก

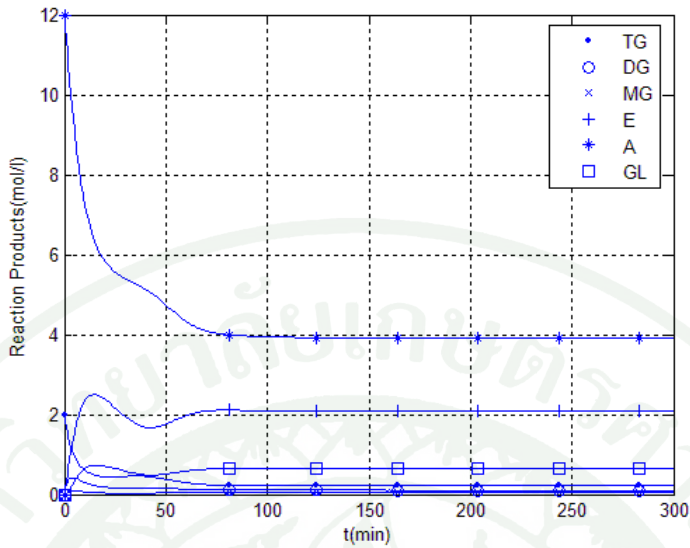
	Peak time (min)	ค่าที่ Peak time	Settling time (min)	ค่าที่ Settling time
[E] (mol/l)	12.43	2.494	65.3	2.044
T (K)	164.2	333.1	64.66	327.5
Q (cal/min)	180.9	8.489 x 10 <sup>4</sup>	61.04	7.367 x 10 <sup>4</sup>

การทดลองที่ 3 ตัวควบคุมพื้นโดยใช้วิธี Particle Swarm Optimization (cost function = tf ที่ทำให้  $x(4) = 2.104$ )

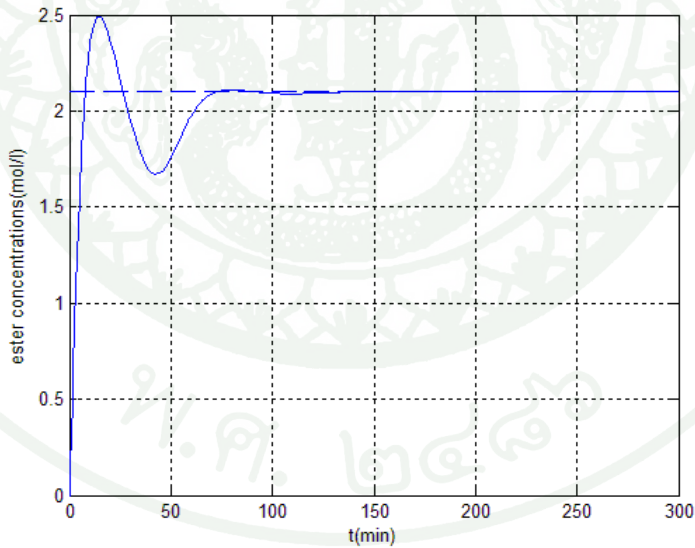
3.1 ตัวควบคุมพื้นโดยใช้วิธี Particle Swarm Optimization (cost function = tf ที่ทำให้  $x(4) = 2.104$ )

การทดลองที่ 3.1 ใช้ตัวควบคุมแบบพื้นโดยที่ออกแบบโดยใช้วิธี Particle Swarm Optimization หากค่า  $K_P$  และค่า  $K_I$  ที่ดีที่สุดเพื่อควบคุมความเข้มข้นของไบโอดีเซล ([E]) ในถังปฏิกิริยานี้แบบต่อเนื่องให้ได้ที่ 2.104 mol/l และใช้เวลาในการผลิตน้อยที่สุด

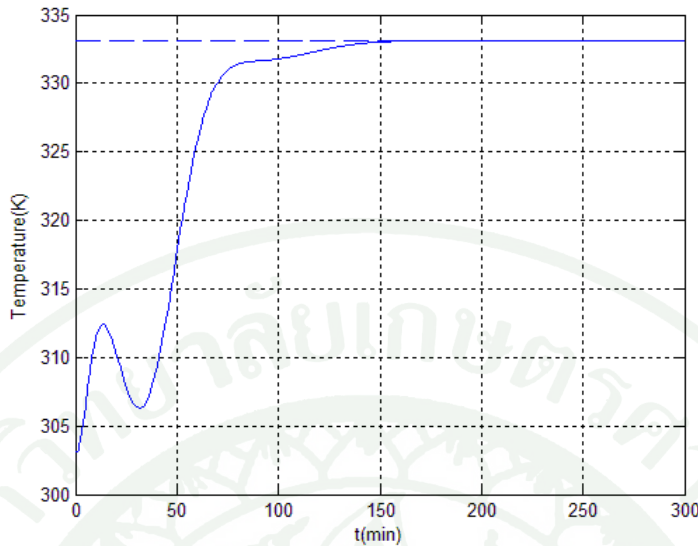
วิธี PSO จะเป็นวิธีที่สามารถหาค่า  $K_P$  และค่า  $K_I$  ดีที่สุด ณ local optimization โดยจะได้ค่า  $K_P = 1453.0657$  และค่า  $K_I = 7304.5471$  ได้ผลการทดลองตามภาพ และตารางด้านล่าง



ภาพที่ 32 ความเข้มข้นของสารต่างๆ ในถังปฏิกรณ์ของการทดลองที่ 3.1 ด้วยคุณค่าพิทีโอโดยใช้วิธี Particle Swarm Optimization (cost function =  $tf$  ที่ทำให้  $x(4) = 2.104$ )

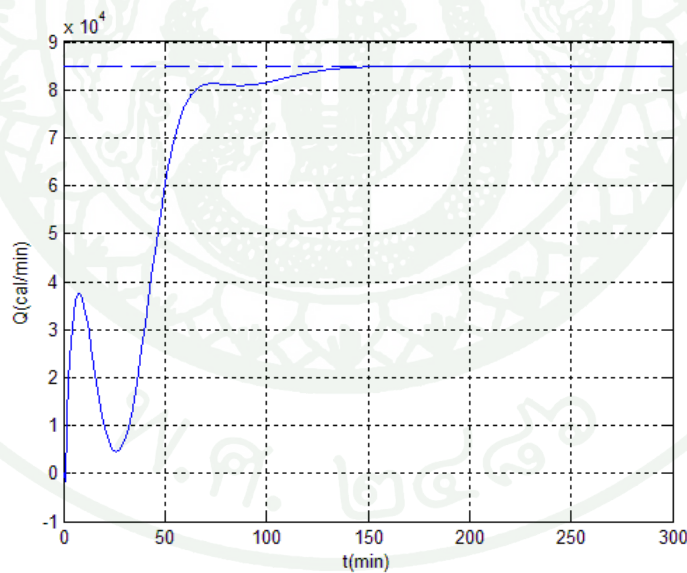


ภาพที่ 33 ความเข้มข้นของไบโอดีเซล ( $[E]$ ) ในถังปฏิกรณ์ของการทดลองที่ 3.1 ด้วยคุณค่าพิทีโอโดยใช้วิธี Particle Swarm Optimization (cost function =  $tf$  ที่ทำให้  $x(4) = 2.104$ )



ภาพที่ 34 อุณหภูมิในถังปฏิกรณ์ของการทดลองที่ 3.1 ตัวควบคุมพีไอ

โดยใช้ชีวีซี Particle Swarm Optimization (cost function =  $tf$  ที่ทำให้  $x(4) = 2.104$ )



ภาพที่ 35 กำลังงานความร้อนที่ป้อนให้ถังปฏิกรณ์ ( $Q$ ) ของการทดลองที่ 3.1 ตัวควบคุมพีไอ

โดยใช้ชีวีซี Particle Swarm Optimization (cost function =  $tf$  ที่ทำให้  $x(4) = 2.104$ )

ตารางที่ 7 ค่าที่อ่านได้จากการทดลองที่ 3.1 ตัวควบคุมพีไอโดยใช้วิธี Particle Swarm Optimization (cost function = tf ที่ทำให้  $x(4) = 2.104$ )

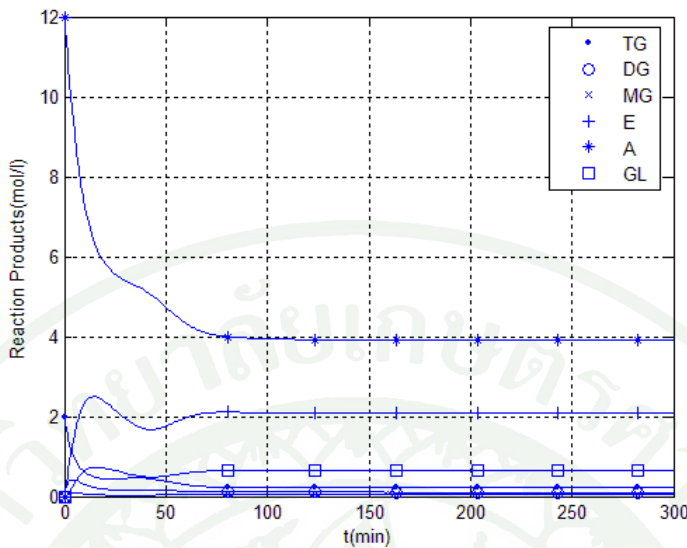
	Peak time (min)	ค่าที่ Peak time	Settling time (min)	ค่าที่ Settling time
$[E] \text{ (mol/l)}$	15	2.492	49.64	1.747
$T \text{ (K)}$	155.5	333.1	52.71	320.1
$Q \text{ (cal/min)}$	166.3	$8.489 \times 10^4$	42.07	$3.643 \times 10^4$

เนื่องจาก การทดลองที่ 3.1 เกิดปัญหาการป้อนกำลังงานความร้อน ( $Q$ ) ซึ่งมีค่าลบอยู่เล็กน้อยจึง เกิด การทดลองที่ 3.2 โดย

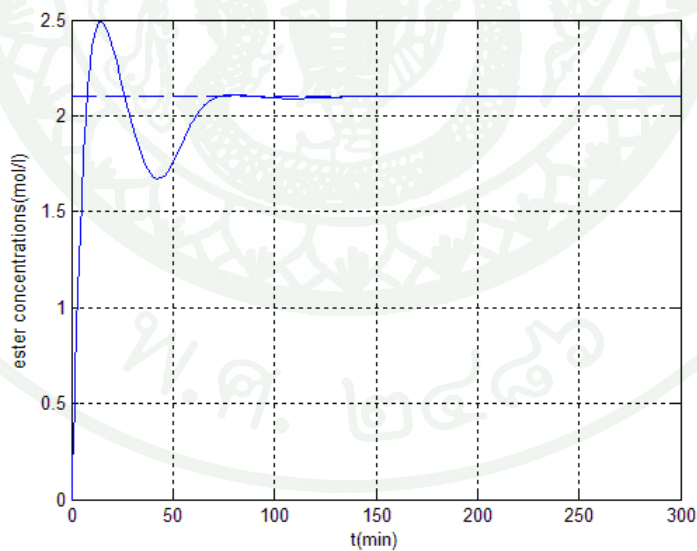
### 3.2. ตัวควบคุมพีไอโดยใช้วิธี Particle Swarm Optimization with Input Saturation

การทดลองที่ 3.2 ใช้ตัวควบคุมแบบพีไอที่ออกแบบโดยใช้วิธี Particle Swarm Optimization with Input Saturation หากค่า  $K_P$  และค่า  $K_I$  ที่ดีที่สุดเพื่อควบคุมความเข้มข้นของ ไบโอดีเซล ( $[E]$ ) ในถังปฏิกิริณ์แบบต่อเนื่องให้ได้ที่  $2.104 \text{ mol/l}$  และใช้เวลาในการผลิตน้อยที่สุด

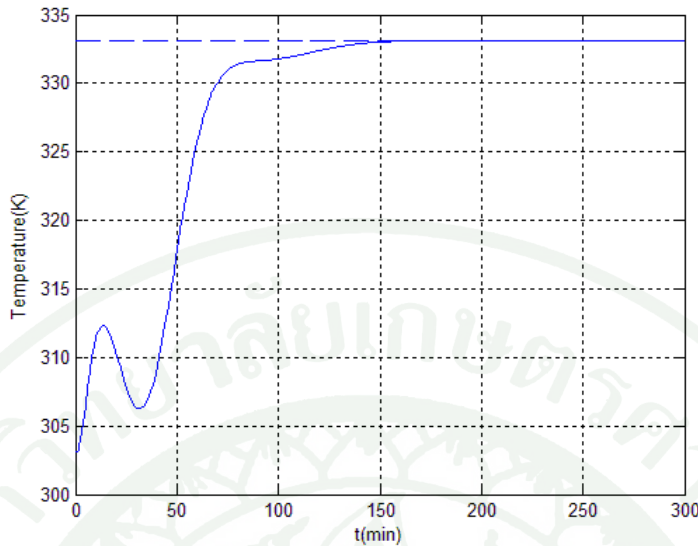
วิธี PSO จะเป็นวิธีที่สามารถหาค่า  $K_P$  และค่า  $K_I$  ดีที่สุด ณ local optimization โดยจะได้ ค่า  $K_P = 1453.0657$  และค่า  $K_I = 7304.5471$  ได้ผลการทดลองตามภาพ และตารางด้านล่าง



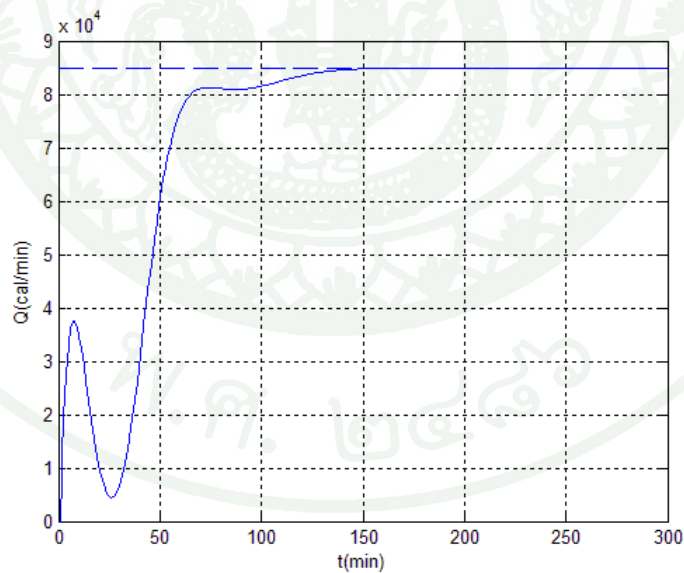
ภาพที่ 36 ความเข้มข้นของสารต่างๆ ในถังปฏิกรณ์ของการทดลองที่ 3.2 ตัวควบคุมพื้นที่  
โดยใช้วิธี Particle Swarm Optimization with Input Saturation (cost function =  $tf$  ที่ทำให้  $x(4) = 2.104$ )



ภาพที่ 37 ความเข้มข้นของไบโอดีเซล ( $[E]$ ) ในถังปฏิกรณ์ของการทดลองที่ 3.2  
ตัวควบคุมพื้นที่โดยใช้วิธี Particle Swarm Optimization with Input Saturation (cost  
function =  $tf$  ที่ทำให้  $x(4) = 2.104$ )



ภาพที่ 38 อุณหภูมิในถังปฏิกรณ์ของการทดลองที่ 3.2 ตัวควบคุมพีไอโดยใช้  
วิธี Particle Swarm Optimization with Input Saturation (cost function = tf  
ที่ทำให้  $x(4) = 2.104$ )



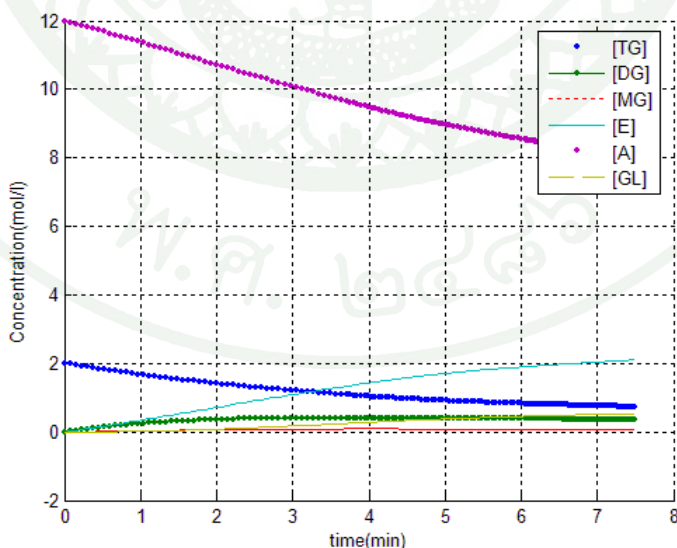
ภาพที่ 39 กำลังงานความร้อนที่ป้อนให้ถังปฏิกรณ์ ( $Q$ ) ของการทดลองที่ 3.2 ตัวควบคุมพีไอ  
โดยใช้วิธี Particle Swarm Optimization with Input Saturation (cost function = tf ที่ทำ  
ให้  $x(4) = 2.104$ )

ตารางที่ 8 ค่าที่อ่านได้จากการทดลองที่ 3.2 ตัวควบคุมพิไอโดยใช้วิธี Particle Swarm Optimization with Input Saturation (cost function =  $tf$  ที่ทำให้  $x(4) = 2.104$ )

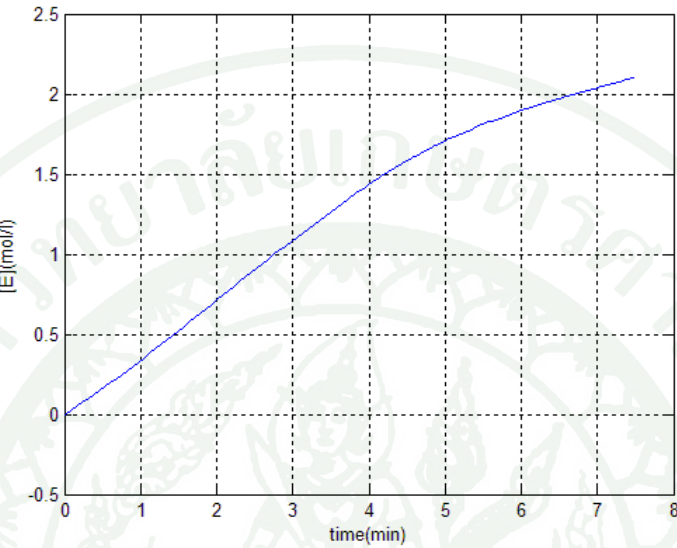
	Peak time (min)	ค่าที่ Peak time	Settling time (min)	ค่าที่ Settling time
$[E] (mol/l)$	15	2.492	49.64	1.747
$T (K)$	155.5	333.1	52.71	320.1
$Q (cal/min)$	166.3	$8.489 \times 10^4$	42.07	$3.643 \times 10^4$

การทดลองที่ 4 ตัวควบคุมเหมาะสมที่สุด with Input Saturation (cost function =  $tf$  ที่ทำให้  $x(4) = 2.104$ )

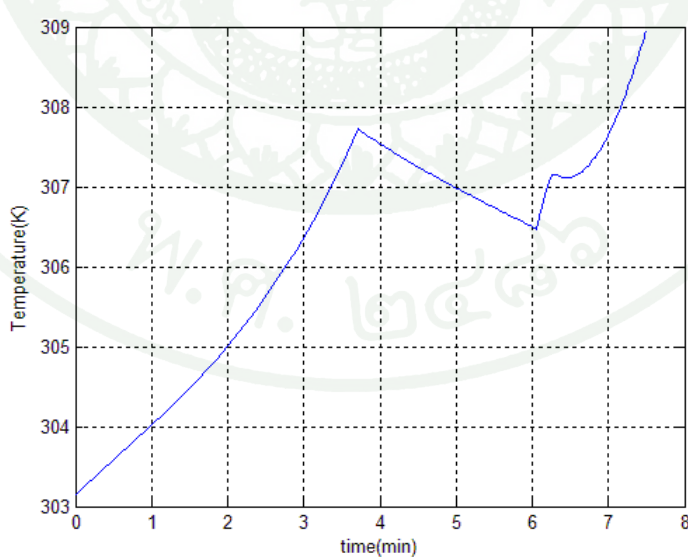
การทดลองที่ 4 ใช้ตัวควบคุมเหมาะสมที่สุดที่ออกแบบโดยที่มี Input Saturation เพื่อหาค่า Lagrange Multiplier ( $\lambda$ ) เพื่อลดเวลาการผลิตให้น้อยที่สุดในการผลิตไบโอดีเซล ( $[E]$ ) ในถังปฏิกิริย์แบบต่อเนื่องให้ได้ที่  $2.104 mol/l$  โดยที่จุดสุดท้ายได้ค่า  $\lambda = 0.012902$  ได้ผลการทดลองตามภาพ และตารางด้านล่าง



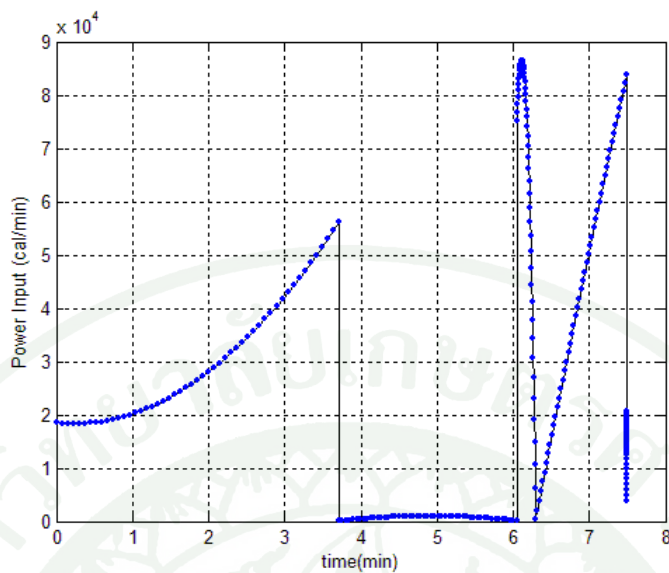
ภาพที่ 40 ความเข้มข้นของสารต่างๆ ในถังปฏิกิริย์ของการทดลองที่ 4 ตัวควบคุมเหมาะสมที่สุด with Input Saturation (cost function =  $tf$  ที่ทำให้  $x(4) = 2.104$ )



ภาพที่ 41 ความเข้มข้นของไบโอดีเซล ( $[E]$ ) ในถังปฏิกรณ์ของการทดลองที่ 4 ตัวควบคุมเหมาะสมที่สุด with Input Saturation (cost function = tf ที่ทำให้  $x(4) = 2.104$ )



ภาพที่ 42 อุณหภูมิในถังปฏิกรณ์ของการทดลองที่ 4 ตัวควบคุมเหมาะสมที่สุด with Input Saturation (cost function = tf ที่ทำให้  $x(4) = 2.104$ )



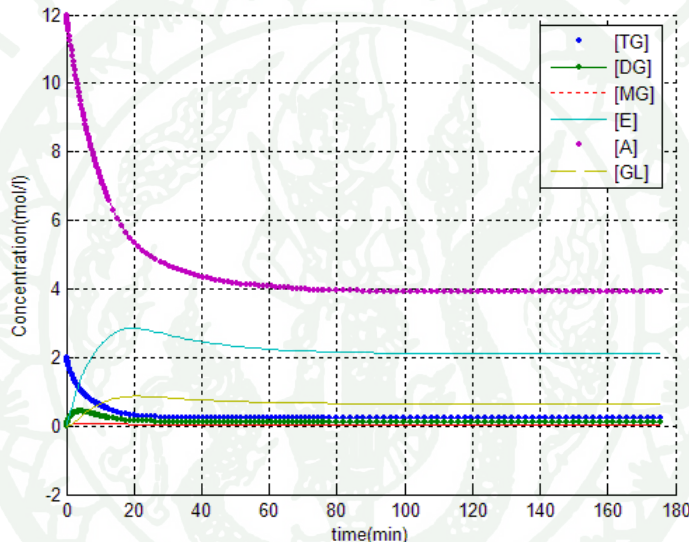
ภาพที่ 43 กำลังงานความร้อนที่ป้อนให้ถังปฏิกิริยา ( $Q$ ) ของการทดลองที่ 4 ตัวควบคุมเหมาะสมที่สุด  
with Input Saturation (cost function =  $tf$  ที่ทำให้  $x(4) = 2.104$ )

ตารางที่ 9 ค่าที่อ่านได้จากการทดลองที่ 4 ตัวควบคุมเหมาะสมที่สุด with Input Saturation (cost function =  $tf$  ที่ทำให้  $x(4) = 2.104$ )

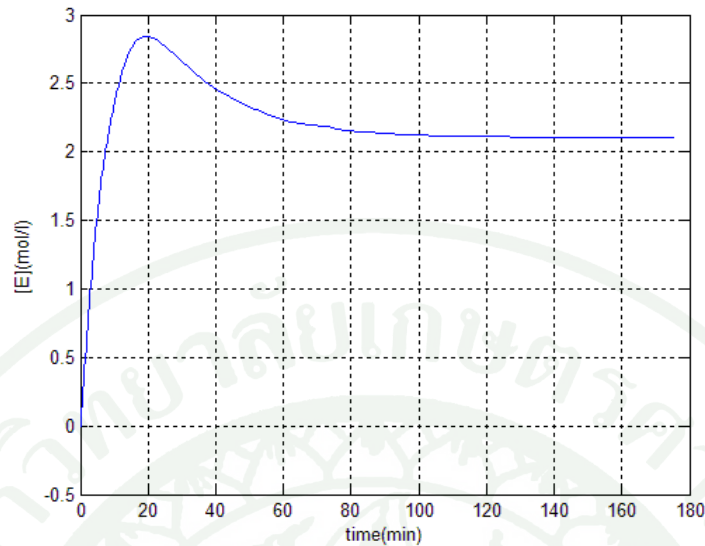
	Peak time (min)	ค่าที่ Peak time	Settling time (min)	ค่าที่ Settling time
$[E] \text{ (mol/l)}$	7.49	2.104	4.694	1.634
$T \text{ (K)}$	7.497	309	6.248	307.1
$Q \text{ (cal/min)}$	6.12	$8.489 \times 10^4$	6.944	$4.68 \times 10^4$

การทดลองที่ 5 ตัวควบคุม亥มานะที่สุด with Input Saturation (cost function =  $tf$  ที่ทำให้  $x(4) = 2.104$ ,  $x(7) = 333.15$ )

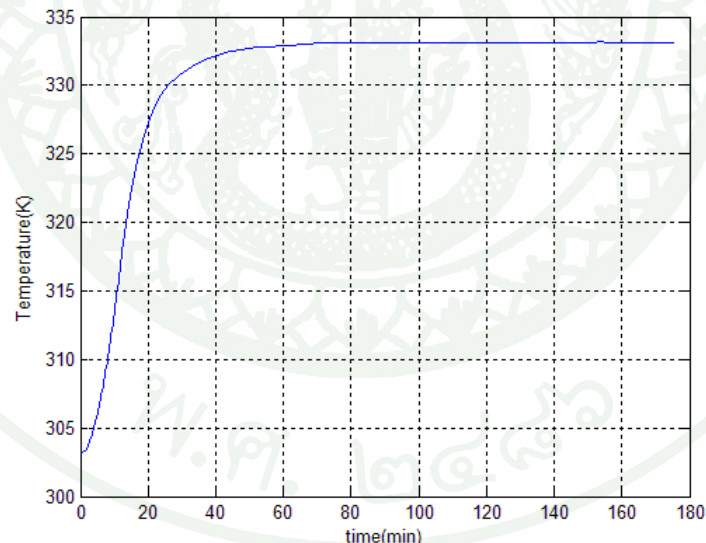
การทดลองที่ 5 ใช้ตัวควบคุม亥มานะที่สุดที่ออกแบบโดยที่มี Input Saturation เพื่อหาค่า Lagrange Multiplier ( $\lambda$ ) เพื่อลดเวลาการผลิตให้น้อยที่สุดในการผลิตไบโอดีเซล ( $[E]$ ) ในถังปฏิกิริณ์แบบต่อเนื่องให้ได้ที่  $2.104 \text{ mol/l}$  และอุณหภูมิเท่ากับ  $333.15 \text{ K}$  ( $60^\circ\text{C}$ ) โดยที่จุดสุดท้ายได้ค่า  $\lambda = -14.865$  ได้ผลการทดลองตามภาพ และตารางด้านล่าง



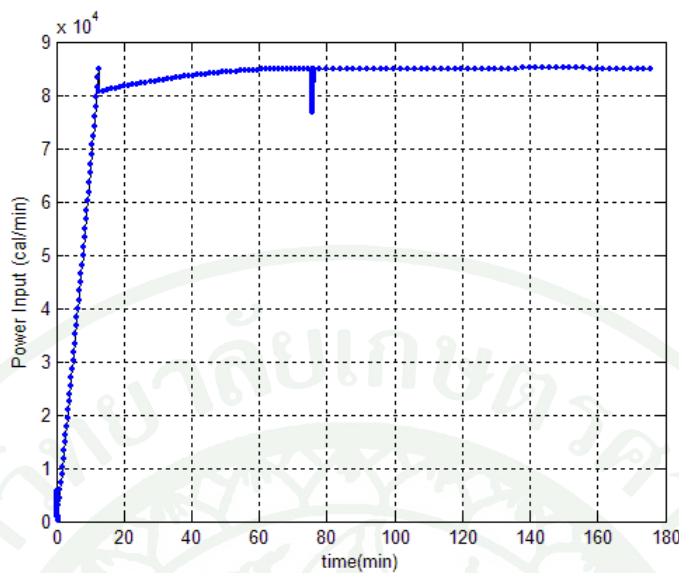
ภาพที่ 44 ความเข้มข้นของสารต่างๆ ในถังปฏิกิริณ์ของการทดลองที่ 5 ตัวควบคุม亥มานะที่สุด with Input Saturation (cost function =  $tf$  ที่ทำให้  $x(4) = 2.104$ ,  $x(7) = 333.15$ )



ภาพที่ 45 ความเข้มข้นของไบโอดีเซล ( $[E]$ ) ในถังปฏิกรณ์ของการทดลองที่ 5 ตัวควบคุมเหมาะสมที่สุด with Input Saturation (cost function = tf ที่ทำให้  $x(4) = 2.104, x(7) = 333.15$ )



ภาพที่ 46 อุณหภูมิในถังปฏิกรณ์ของการทดลองที่ 5 ตัวควบคุมเหมาะสมที่สุด with Input Saturation (cost function = tf ที่ทำให้  $x(4) = 2.104, x(7) = 333.15$ )



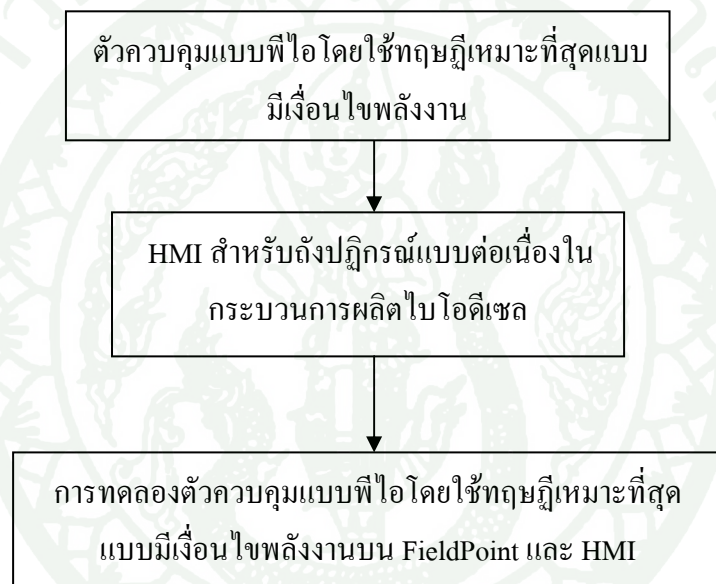
ภาพที่ 47 กำลังงานความร้อนที่ป้อนให้ถังปฏิกิริย (Q) ของการทดลองที่ 5 ตัวควบคุมเหมาะสมที่สุด  
with Input Saturation (cost function =  $tf$  ที่ทำให้  $x(4) = 2.104$ ,  $x(7) = 333.15$ )

ตารางที่ 10 ค่าที่อ่านได้จากการทดลองที่ 5 ตัวควบคุมเหมาะสมที่สุด with Input Saturation  
(cost function =  $tf$  ที่ทำให้  $x(4) = 2.104$ ,  $x(7) = 333.15$ )

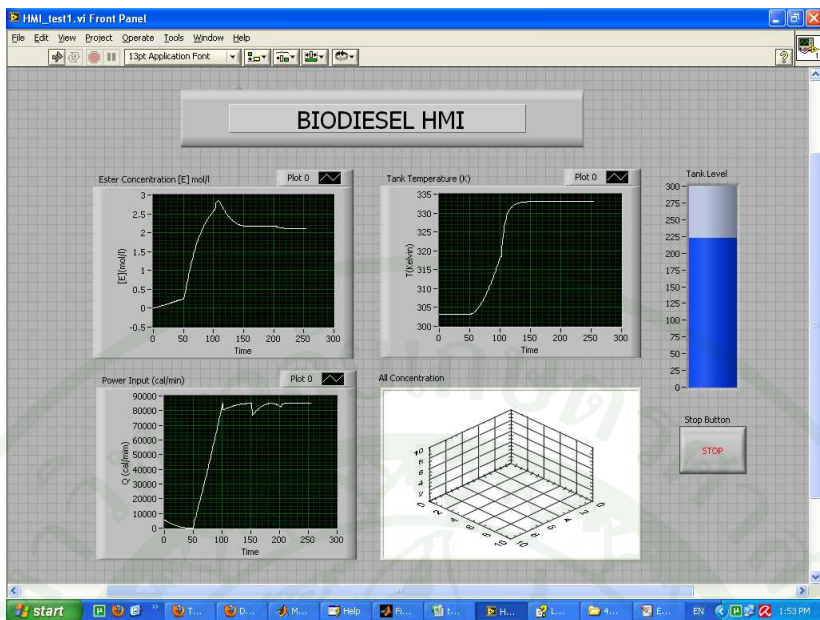
	Peak time (min)	ค่าที่ Peak time	Settling time (min)	ค่าที่ Settling time
[E] (mol/l)	20.21	2.845	46.78	2.368
T (K)	69.54	333.1	27.8	330.5
Q (cal/min)	12.62	$8.489 \times 10^4$	37.92	$8.343 \times 10^4$

## การทดลองที่ 6 FieldPoint และ HMI โดยใช้การทดลองที่ 5

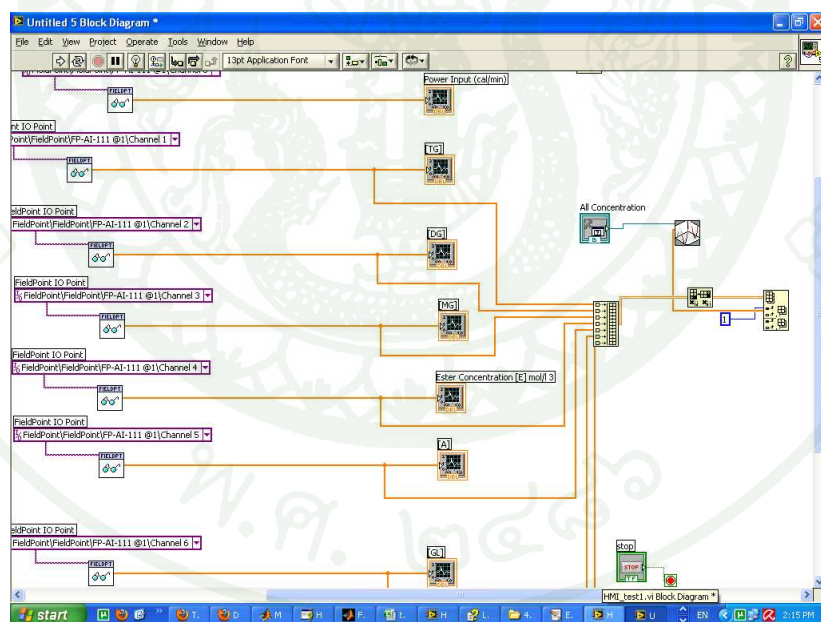
การทดลองที่ 6 ตัวควบคุมแบบพีไอโดยใช้ตัวควบคุม亥มาร์ที่สุด with Input Saturation (cost function =  $tf$  ที่ทำให้  $x(4) = 2.104$ ,  $x(7) = 333.15$ ) บน FieldPoint และ HMI ซึ่งใช้ตัวควบคุมแบบพีไอที่ออกแบบได้ควบคุมความเข้มข้นของไบโอดีเซล ( $[E]$ ) ในถังปฏิกรณ์แบบต่อเนื่องให้ได้ที่  $2.104 \text{ mol/l}$  และใช้เวลาเรือนที่สุดภายในได้เงื่อนไขพลังงานไม่ต่ำกว่า  $0 \text{ cal/min}$  และไม่เกิน  $1.28976 \times 10^5 \text{ cal/min}$  ได้ผลการทดลองตามภาพ และตารางด้านล่าง โดยนำไปประยุกต์กับ HMI



ภาพที่ 48 ขั้นตอนการทดลองที่ 4 ตัวควบคุมแบบพีไอโดยใช้ทฤษฎี亥มาร์ที่สุดแบบมีเงื่อนไขพลังงาน บน FieldPoint และ HMI



ภาพที่ 49 แผนภาพแสดงการทำงานของ HMI



ภาพที่ 50 แผนภาพแสดง Block Diagram

## วิจารณ์

จากการทดลองพบว่า

### 1. ตัวควบคุมพีไอโดยใช้วิธี Pole placement

#### 1.1. ตัวควบคุมพีไอโดยใช้วิธี Pole placement

การทดลองที่ 1.1 ใช้ตัวควบคุมแบบพีไอที่ออกแบบโดยใช้วิธี Pole placement สามารถควบคุมความเข้มข้นของไบโอดีเซล ( $[E]$ ) ในถังปฏิกรณ์แบบต่อเนื่องให้ได้ที่  $2.104 \text{ mol/l}$  ที่อุณหภูมิ  $333.15 \text{ K}$  โดยมีค่า setting time =  $46.51$  นาที แต่เกิดปัญหาการป้อนกำลังงานความร้อน ( $Q$ ) ซึ่งมีค่าติดลบให้กับถังปฏิกรณ์

#### 1.2. ตัวควบคุมพีไอโดยใช้วิธี Pole placement with Input Saturation

การทดลองที่ 1.2 ใช้ตัวควบคุมแบบพีไอที่ออกแบบโดยใช้วิธี Pole placement สามารถควบคุมความเข้มข้นของไบโอดีเซล ( $[E]$ ) ในถังปฏิกรณ์แบบต่อเนื่องให้ได้ที่  $2.104 \text{ mol/l}$  และที่อุณหภูมิ  $333.15 \text{ K}$  และแก้ปัญหาการป้อนกำลังงานความร้อน ( $Q$ ) ซึ่งมีค่าติดลบให้กับถังปฏิกรณ์ โดยการเพิ่ม Saturation Block ที่มีค่าตั้งแต่ 0 ถึง  $128976.7841 \text{ cal/min}$  (water heater 220V 9000W, บ.แสงชัยมิเตอร์) ซึ่งสามารถป้องกันการป้อนกำลังงานความร้อนติดลบได้ โดยมีค่า setting time =  $50.99$  นาที แต่เกิดปัญหาการใช้ค่า  $K_p$  และค่า  $K_I$  ค่อนข้างมาก ซึ่งไม่เป็นผลดีต่อ Heater ที่ให้ความร้อนแต่ถังปฏิกรณ์ เพราะต้องรับภาระในการเปลี่ยนแปลงพลังงานอย่างรวดเร็ว

### 2. ตัวควบคุมพีไอโดยใช้วิธี Particle Swarm Optimization (cost function = IAE)

#### 2.1. ตัวควบคุมพีไอโดยใช้วิธี Particle Swarm Optimization

การทดลองที่ 2.1 ใช้ตัวควบคุมแบบพีไอที่ออกแบบโดยใช้วิธี Particle Swarm Optimization หากค่า  $K_P$  และค่า  $K_I$  ที่ดีที่สุดเพื่อควบคุมความเข้มข้นของไบโอดีเซล ( $[E]$ ) ในถังปฏิกรณ์แบบต่อเนื่องให้ได้ที่  $2.104 \text{ mol/l}$  และอุณหภูมิที่อุณหภูมิ  $333.15 \text{ K}$

มีค่า setting time = 50.99 นาที สามารถควบคุมได้ตามที่ต้องการ โดยมีอัตราการเปลี่ยนแปลงของพลังงานที่ป้อนข้ากว่าใช้ตัวควบคุมแบบพีไอที่ออกแบบโดยใช้วิธี Pole Placement ซึ่งเป็นข้อดีสำหรับการผลิตเนื่องจาก Heater จะได้ไม่ต้องรับภาระหนักในการเปลี่ยนระดับพลังงาน แต่ก็ยังเกิดปัญหาการป้อนกำลังงานความร้อน ( $Q$ ) ซึ่งมีค่าติดลบให้กับถังปฏิกรณ์อยู่

## 2.2. ตัวควบคุมพีไอโดยใช้วิธี Particle Swarm Optimization with Input Saturation

การทดลองที่ 2.2 ใช้ตัวควบคุมแบบพีไอที่ออกแบบโดยใช้วิธี Particle Swarm Optimization หากค่า  $K_P$  และค่า  $K_I$  ที่ดีที่สุดเพื่อควบคุมความเข้มข้นของไบโอดีเซล ( $[E]$ ) ในถังปฏิกรณ์แบบต่อเนื่องให้ได้ที่  $2.104 \text{ mol/l}$  และอุณหภูมิที่อุณหภูมิ  $333.15 \text{ K}$  มีค่า setting time = 65.3 นาที และแก้ปัญหาการป้อนกำลังงานความร้อน ( $Q$ ) ซึ่งมีค่าติดลบให้กับถังปฏิกรณ์โดยการเพิ่ม Saturation Block ที่มีค่าตั้งแต่ 0 ถึง  $128976.7841 \text{ cal/min}$  (water heater 220V 9000W, บ.แสงชัยมิเตอร์) ซึ่งสามารถป้องกันการป้อนกำลังงานความร้อนติดลบได้ และสามารถควบคุมได้ตามที่ต้องการ โดยมีอัตราการเปลี่ยนแปลงของพลังงานที่ป้อนข้ากว่าใช้ตัวควบคุมแบบพีไอที่ออกแบบโดยใช้วิธี Pole Placement ซึ่งเป็นข้อดีสำหรับการผลิตเนื่องจาก Heater จะได้ไม่ต้องรับภาระหนักในการเปลี่ยนระดับพลังงาน

## 3. ตัวควบคุมพีไอโดยใช้วิธี Particle Swarm Optimization (cost function = $\dot{tf}$ ที่ทำให้ $x(4) = 2.104$ )

### 3.1. ตัวควบคุมพีไอโดยใช้วิธี Particle Swarm Optimization

การทดลองที่ 3.1 ใช้ตัวควบคุมแบบพีไอที่ออกแบบโดยใช้วิธี Particle Swarm Optimization หากค่า  $K_P$  และค่า  $K_I$  ที่ดีที่สุดเพื่อควบคุมความเข้มข้นของไบโอดีเซล ( $[E]$ ) ในถังปฏิกรณ์แบบต่อเนื่องให้ได้ที่  $2.104 \text{ mol/l}$  และใช้เวลาในการผลิตน้อยที่สุด โดยมีค่า setting time = 49.64 นาที แต่ก็ยังเกิดปัญหาการป้อนกำลังงานความร้อน ( $Q$ ) ซึ่งมีค่าติดลบให้กับถังปฏิกรณ์อยู่เล็กน้อย

### 3.2. ตัวควบคุมพีไอโดยใช้วิธี Particle Swarm Optimization with Input Saturation

การทดลองที่ 3.2 ใช้ตัวควบคุมแบบพีไอที่ออกแบบโดยใช้วิธี Particle Swarm Optimization หากค่า  $K_P$  และค่า  $K_I$  ที่ดีที่สุดเพื่อควบคุมความเข้มข้นของไบโอดีเซล ( $[E]$ ) ในถังปฏิกิริณ์แบบต่อเนื่องให้ได้ที่  $2.104 \text{ mol/l}$  และอุณหภูมิที่อุณหภูมิ  $333.15 \text{ K}$  และใช้เวลาในการผลิตน้อยที่สุด โดยมีค่า setting time =  $49.64 \text{ นาที}$  และแก้ปัญหาการป้อนกำลังงานความร้อน ( $Q$ ) ซึ่งมีค่าติดลบให้กับถังปฏิกิริณ์โดยการเพิ่ม Saturation Block ที่มีค่าตั้งแต่  $0$  ถึง  $128976.7841 \text{ cal/min}$  (water heater  $220\text{V} 9000\text{W}$ , บ.แสงชัยมิตร) ซึ่งสามารถป้องกันการป้อนกำลังงานความร้อนติดลบได้ และสามารถควบคุมได้ตามที่ต้องการ

#### 4. ตัวควบคุมเหมาะสมที่สุด with Input Saturation (cost function = $tf$ ที่ทำให้ $x(4) = 2.104$ )

การทดลองที่ 4 ใช้ตัวควบคุมเหมาะสมที่สุดที่ออกแบบโดยที่มี Input Saturation เพื่อหากค่า Lagrange Multiplier ( $\lambda$ ) เพื่อลดเวลาการผลิตให้น้อยที่สุดในการผลิตไบโอดีเซล ( $[E]$ ) ในถังปฏิกิริณ์แบบต่อเนื่องให้ได้ที่  $2.104 \text{ mol/l}$  โดยที่จุดสุดท้ายได้ค่า  $\lambda = 0.012902$  โดยมีค่า setting time  $4.694 \text{ นาที}$  เนื่องจากเราไม่ได้กำหนดอุณหภูมิที่จุดสุดท้ายว่าเป็น  $333.15 \text{ K}$  จึงทำให้ค่าความเข้มข้นของสารอื่นๆและอุณหภูมิที่จุดสุดท้ายไม่ได้ตามที่ต้องการ

#### 5. ตัวควบคุมเหมาะสมที่สุด with Input Saturation (cost function = $tf$ ที่ทำให้ $x(4) = 2.104$ , $x(7) = 333.15$ )

การทดลองที่ 5 ใช้ตัวควบคุมเหมาะสมที่สุดที่ออกแบบโดยที่มี Input Saturation เพื่อหากค่า Lagrange Multiplier ( $\lambda$ ) เพื่อลดเวลาการผลิตให้น้อยที่สุดในการผลิตไบโอดีเซล ( $[E]$ ) ในถังปฏิกิริณ์แบบต่อเนื่องให้ได้ที่  $2.104 \text{ mol/l}$  และอุณหภูมิเท่ากับ  $333.15 \text{ K}$  ( $60^\circ\text{C}$ ) โดยที่จุดสุดท้ายได้ค่า  $\lambda = -14.865$  ผลที่ได้สามารถควบคุมความเข้มข้นและอุณหภูมิได้ตามที่ต้องการ โดยมีค่า setting time  $46.78 \text{ นาที}$

## 6. การทดลองโดยการประยุกต์ใช้

FieldPoint และ HMI โดยใช้การทดลองที่ 5 สามารถความคุณความเข้มข้นและอุณหภูมิได้ตามที่ต้องการ โดยใช้ FieldPoint ในการรับส่งข้อมูลเพื่อแสดงผลและควบคุม



## สรุปและข้อเสนอแนะ

### สรุป

จากการทดลองทั้งหมดที่ผ่านมาสรุปได้ว่า ตัวควบคุมเหมาะที่สุดที่มี input saturation โดยเงื่อนไขทางด้านเวลาและเงื่อนไขที่จุดสุดท้ายคือความเข้มข้นของอสเตรอร์  $x(4) = 2.104$  อุณหภูมิในถังปฏิกิริย์  $x(7) = 333.15$  สามารถลดเวลาและพลังงานในการผลิตได้มากที่สุด โดยข้อดีก็อย่างคือ อัตราการเปลี่ยนแปลงพลังงานและความร้อนไม่ได้มีการเปลี่ยนแปลงอย่างรวดเร็วซึ่งมีผลทำให้อาชญาใช้งานของ Heater ยาวนานขึ้นเมื่อเปรียบเทียบกับวิธีตัวควบคุมพีไอโดย PSO และตัวควบคุมพีไอด้วยวิธี pole placement โดยที่ตัวควบคุมพีไอโดย PSO นั้นสามารถลดเวลาการผลิตและพลังงานได้แต่อัตราการเปลี่ยนแปลงพลังงานและความร้อนนั้นเปลี่ยนแปลงอย่างรวดเร็วซึ่งไม่เป็นผลดีต่อ Heater ส่วนตัวควบคุมพีไอด้วยวิธี pole placement นั้นสามารถควบคุมความเข้าขันและอุณหภูมิได้ตามที่ต้องการแต่มีปัญหาที่พลังงานที่ป้อนเข้าสู่ถังปฏิกิริย์นั้นติดลบ ซึ่ง Heater ไม่สามารถทำได้จึงต้องใส่ Saturation Block แต่ก็ต้องใช้พลังงานในการผลิตไปโดยเชลมากและบังใช้เวลาในการผลิตรวมทั้งอัตราการเปลี่ยนแปลงพลังงานและความร้อนนั้นเปลี่ยนแปลงอย่างรวดเร็วมากซึ่งอาจทำให้อาชญาใช้งานของ Heater สั้นลงได้

### ข้อเสนอแนะ

ควรนำตัวควบคุมที่ออกแบบได้ ทดลองควบคุมความเข้มข้นของไบโอดีเซลในถังปฏิกิริย์แบบต่อเนื่องของจริง

## เอกสารและสิ่งอ้างอิง

**กนกอร บูรณะพาณิชย์กิจ และ อัจนาราพร เมืองพิล. 2549. การออกแบบระบบควบคุมถังปฏิกรภ์แบบ CSTR ในกระบวนการผลิตไบโอดีเซล. วิทยานิพนธ์ปริญญาตรี, มหาวิทยาลัยสงขลานครินทร์.**

กัญานา บุณยเกียรติ, ปราโมช รังสรรค์วิจิตร, บุนยรัชต์ กิติyanันท์, พิศมัย เจนวนิชปัญจกุล, พนิดา ศิริบังกิดผล, ลดา อัตนໂໂ, ວິເຊຍຣ ຕັນຕີຫຮຽມງູນີຕ, ນິໂຮຈນ໌ ອົກປະລຸງວິທີ່, ປະສານ ປະກາວິວັດນ໌, ຍຸທ່ານາ ສຸວරະນ ໂຂະດ ແລະ ນໍ້າຜົ່ງ ພິມພາ. 2546 ໂຄງກາວວິຈິບແລະ ພັດນາກາຮັດໃບໂໂດີເໜ່ລ (Biodesiel) ຈາກນໍ້າມັນພື້ນເພື່ອໃຊ້ທົດແກນສາຮາຕີມແຕ່ງທີ່ເພີ່ມ ຄຸນສົມບັດ ໃນກາຮລ່ອລື່ນ (Lubricity Additive) ໃນນໍ້າມັນດີເໜ່ລກຳມະດັນຕໍ່າ. ນ.124-137. ໃນ ກາຮສົມນາພົຍແພວ່ພລງານວິຈິບດ້ານພລັງຈານທົດແກນ. ມາຮວິຖາລັຍເກຍຕຣຄາສຕຣ, ກຣຸງເທິພາ.

เจริญ ເພີ່ມມູນີ, 2545. ເຮັດວຽກ Lab VIEW. ພິມພົກສະໝັກ ສຳເນົາກົມພົກສະໝັກ ແລະ ຢູ່ເຄື່ອນໄຫວ (ມາຮນ).  
ກຣຸງເທິພາ.

ชุมพก ตັນຕະກູລ. 2549. ກາຮຈໍາລອງກາຮສັດນໍ້າມັນການຕະວັນແລະສູ່ດຳເຫຼືອພັດໃບໂໂດີເໜ່ລ.  
ວິທີ່ານີພົກສະໝັກ ຫຼາຍໂທ, ມາຮວິຖາລັຍເກຍຕຣຄາສຕຣ.

ຂໍ້ວັດນ໌ ທົວຈັນທີ, 2544. Advanced Visual Basic. ພິມພົກສະໝັກ ສຳເນົາກົມພົກສະໝັກ ແລະ ບູ້ກົມ. ກຣຸງເທິພາ.  
ພິສົມ ເຈນວິນີປັງກຸລ. 2548. ໄບໂໂດີເໜ່ລຈາກນໍ້າມັນພື້ນ. ວິສວກຮຽມສາຮ. ລັບນ໌ 2. ເດືອນມີນາຄມ-  
ເມນາຍນ 2548 : 46-54

ວິສິນ ດີນະນິທິກຸລ, ພຶະຍຸກ ແສນໂກ່ານ໌, ເພື່ນົງວິຈີຕຣ ຄວິນພຄຸນແລະສຸ້ນ ຜູ້ຈົງລູ່ນະໜ້າ. 2551. ກາຮ  
ອອກແບບຕັ້ງການຄຸມສຳຫັບລັງປົກກົມແບບຕ່ອນເນື່ອງໃນກາຮງານກາຮພັດໃບໂໂດີເໜ່ລ.  
ວິທີ່ານີພົກສະໝັກ ຫຼາຍໂທ, ມາຮວິຖາລັຍເກຍຕຣຄາສຕຣ.

Andrew P. Sage and C. Chelsea White III . 1977. **Optimum Systems Control**, 2<sup>nd</sup> edition  
,PRENTICE HALL.

Arthur E. and Jr. Bryson. 1999. **Dynamic Optimization**, ADDISON-WESLEY.

Bequette Wayne, B. 1991. **Process Control Modeling, Design and Simulation**. 1<sup>st</sup> edition.  
PRENTICE HALL.

Darnoko, D. and Munir Cheryan. 2000. Kinetics of Palm Oil Transterification in Batch Reactor. **JAOCS** 77(12): 1263-1267.

Darnoko, D. and Munir Cheryan. 2000. Continuous Production of Palm Methyl Ester. **JAOCS** 77(12): 1269-1272.

Franklin F., Gene and J. David Powell. 1998. **Digital Control of Dynamic Systems**. 3<sup>rd</sup> edition.  
Addison-Wesley Longman,Inc.

Iwasa, T., N. Morizumi and S. Omatsu. 1998. Temperature control in a batch process by neural networks. Neural Networks Proceedings. **The 1998 IEEE International Joint Conference** 1998(2): 992-995

Diehl M., H.G. Bock, H. Diedam and P.-B. Wieber. 2006. Fast Direct Multiple Shooting Algorithms for Optimal Robot Control, pp. 65-93. In **Fast Motions in Biomechanics and Robotics** 340

National Instruments. 2010. **Building a LabVIEW User Interface for a Simulink Model with LabVIEW Simulation Interface Toolkit**, Ni Developer Zone Tutorial

Timothy Lawrence Turner. 2005. **Modeling and Simulation of Reaction Kinetics for Biodiesel Production**. Graduated Thesis, Faculty of North Carolina State University.

## ประวัติการศึกษา และการทำงาน

ชื่อ – นามสกุล	นายสุรเทพ นิลนนท์
เกิดวันที่	24 ธันวาคม 2527
สถานที่เกิด	กรุงเทพฯ
ประวัติการศึกษา	วศ.บ. (ไฟฟ้าเครื่องกลการผลิต) มหาวิทยาลัยเกษตรศาสตร์ (พ.ศ. 2550)
ตำแหน่งปัจจุบัน	-
สถานที่ทำงานปัจจุบัน	-
ผลงานคีเด่นและรางวัลทางวิชาการ	-
ทุนการศึกษาที่ได้รับ	<ul style="list-style-type: none"> <li>1. ทุนวิจัย สถาบันวิจัยและพัฒนาแห่งมหาวิทยาลัยเกษตรศาสตร์ (Kasetsart University Research and Development Institute, KURDI)</li> <li>2. ทุนวิจัย คณะวิศวกรรมศาสตร์ มหาวิทยาลัยเกษตรศาสตร์</li> <li>3. ทุนผู้ช่วยสอนวิชา Linear Control Systems จากคณะวิศวกรรมศาสตร์ มหาวิทยาลัยเกษตรศาสตร์</li> <li>4. ทุนผู้ช่วยสอนวิชา Electromechanical Energy Conversion Lab I จากคณะวิศวกรรมศาสตร์ มหาวิทยาลัยเกษตรศาสตร์</li> </ul>